DEFINICIÓN DE UN ESQUEMA TÉCNICO ECONÓMICO SOSTENIBLE DE OPERACIÓN PARA EL SISTEMA DE VACÍO DE UNA PLANTA DE TRATAMIENTOS CON HIDRÓGENO

EDGAR ALFONSO CORREA QUINTANA

UNIVERSIDAD INDUSTRIAL DE SANTANDER
FACULTAD DE INGENIERÍAS FÍSICOQUÍMICAS
ESCUELA DE INGENIERÍA QUÍMICA
PROGRAMA DE MAESTRÍA EN INGENIERÍA AMBIENTAL
BUCARAMANGA

2014

DEFINICIÓN DE UN ESQUEMA TÉCNICO ECONÓMICO SOSTENIBLE DE OPERACIÓN PARA EL SISTEMA DE VACÍO DE UNA PLANTA DE TRATAMIENTOS CON HIDRÓGENO

EDGAR ALFONSO CORREA QUINTANA

Trabajo de aplicación presentado como requisito para optar al título de Magister en Ingeniería Ambiental

Director:

EDGAR F. CASTILLO Ph.D.

UNIVERSIDAD INDUSTRIAL DE SANTANDER
FACULTAD DE INGENIERÍAS FÍSICOQUÍMICAS
ESCUELA DE INGENIERÍA QUÍMICA
PROGRAMA DE MAESTRÍA EN INGENIERÍA AMBIENTAL
BUCARAMANGA

2014

TABLA DE CONTENIDO

	Pág.
INTRODUCCIÓN	20
1. DIAGNÓSTICO	22
2. ANTECEDENTES Y JUSTIFICACIÓN	24
2.1 ANTECEDENTES	24
2.2 JUSTIFICACIÓN	25
3. HIPÓTESIS	27
4. OBJETIVOS	28
4.1. OBJETIVO GENERAL	28
4.2. OBJETIVOS ESPECÍFICOS	28
5. MARCO TEÓRICO	30
5.1 GENERALIDADES DE LAS PLANTAS DE PARAFINAS-TRATAMIENTOS	
CON HIDRÓGENO DE REFINERÍA COLOMBIANA	
5.2 SULFURO DE HIDRÓGENO (H2S)	34
5.3 GENERACIÓN DE VACÍO EN PLANTAS DE PROCESO	35
5.3.1 Eyectores.	35
5.3.2 Factores de selección de eyectores	37
5.3.3 Materiales típicos empleados en eyectores y equipos asociados	37
5.3.4 Esquemas de generación de vacío multietapa	38
5.3.5 Condensadores de superficie	39
5.3.5.1 Eficiencia de los Condensadores de vacío	41
5.3.5.2 Conceptos de transferencia de calor para el diseño	44
5.3.6 Condensadores barométricos.	46

5.3.7 Aspectos operacionales y de diagnostico a considerar en los sistemas de	!
vacío.	48
5.3.7.1 Factores externos	48
5.3.7.2 Factores internos	49
5.3.8 Generalidad para especificación de tuberías, bombas y válvulas de	
control de proceso	50
5.4 EMISIONES DE GASES EFECTO INVERNADERO (GEI)-HUELLA DE	
CARBONO	53
5.4.1 Categoría de emisiones en organizaciones	53
5.4.2 Cálculo de la huella de carbono	57
5.5 ANÁLISIS DE CICLO DE VIDA	59
6. METODOLOGÍA	63
7. RESULTADOS DEL TRABAJO DE APLICACIÓN	65
7.1 CARACTERIZACIÓN (FLUJOS Y CALIDADES) DE LOS EFLUENTES DEL	_
SISTEMA DE VACÍO ACTUAL (LÍQUIDO-GAS)	65
7.1.1 Estimación de los gases de cima T-1101A de la U-1100 (Parafínicas)	65
7.1.1.1 Procedimiento empleado.	67
7.1.1.2 Datos de entrada a la simulación U-1100	69
7.1.2. Estimación Gases De Cima T-1111a De La U-1110 (B.NaftÉnicas)	75
7.1.3. Resultados de simulación gases de cima torres T-1101A/T-1111A	85
7.1.3.1. Resultados gases de cima T-1101:	85
7.1.3.2. Resultados gases de cima T-1111	88
7.1.4. Simulación sistema de vacío U-1100/U-1110	90
7.1.4.1. Datos de entrada simulación sistema U-1100/U-1110	90
7.1.5. Resultados Estimación Gases De Salida Sistema De Vacío U-1100/U-	
1110	94
7.2 TENDENCIAS PARA LA GENERACIÓN DE VACÍO	96

7.3 EVALUACIÓN FINANCIERA (FACTOR J) DE LAS ALTERNATIVAS	
PROPUESTAS	96
7.4 ESTIMACIÓN DE LA HUELLA DE CARBONO PARA EVALUAR EL	
APORTE DE GASES CONTAMINANTES Y EFECTO INVERNADERO CONTE	٦A
LOS GENERADOS EN EL SISTEMA DE VACÍO	99
7.5 ESTIMACIÓN DE LOS IMPACTOS AMBIENTALES GENERADOS POR	
LAS PROPUESTAS EVALUADAS MEDIANTE UN ANALISIS DE CICLO DE	
VIDA (ACV)	109
7.6. PLANTEAMIENTO DE UN DISEÑO CONCEPTUAL PARA LA	
ALTERNATIVA SELECCIONADA	116
7.6.1 Sistema propuesto.	116
7.6.2. Alcance general de los trabajos	118
7.6.3. Preparación de las bases de diseño y normas aplicables	119
7.6.3.1. Idioma.	119
7.6.3.2 Sistema de medidas	119
7.6.3.3. Condiciones ambientales de la refinería	120
7.6.3.4. Criterios de diseño.	120
7.6.3.5. Normas aplicables.	122
7.6.4. Alcances por especialidad	125
7.6.4.1. Especialidad proceso	125
7.6.4.1.1. Requerimiento de equipos, definición de capacidades y facilidades	
complementarias	125
7.6.4.1.2. Definición de cantidades y especificaciones del proceso	127
$7.6.4.1.3.\ Dimensionamiento\ preliminar\ del\ área\ para\ distribución\ de\ equipos\ .$	129
7.6.4.1.4. Plano general de la distribución de equipos	129
7.6.4.1.5. Plano de localización del proyecto, vía de acceso, área geográfica	129
7.6.4.1.6. Análisis de servicios industriales y de los elementos externos	130
7.6.4.1.7. Recomendaciones de seguridad industrial:	130
7.6.4.1.8. Esquema operacional	130
7.6.4.1.9. Requerimientos de medición	132

7.6.4.1.10. Programa de constructibilidad inicial	132
7.6.4.1.11. Distribución de áreas	134
7.6.4.1.12. Diagramas de bloques	134
7.6.4.1.13. Planos esquemáticos	134
7.6.4.1.14. Diagrama preliminar de instrumentación y proceso (P&ID) de la	
planta	134
7.6.4.1.15. Hoja preliminar de balance de materiales	134
7.6.4.1.16. Hoja de datos del proceso	135
7.6.4.1.17. Diagrama de banderas (flujos, presiones y temperaturas)	136
7.6.4.1.18. Diagramas de flujo simplificados	136
7.6.4.1.19. Grado de automatización requerido	137
7.6.4.1.20. Plan de transferencia tecnológica involucrada al proyecto	137
7.6.4.1.21. Justificación económica	137
7.6.4.1.22. Estudios preliminares del impacto ambiental	138
7.6.4.1.23. Bases para la definición de las filosofías de operación,	
mantenimiento y confiabilidad	139
7.6.4.1.24. Análisis de riesgos operativos HAZOP	141
7.6.4.1.25. Requerimientos de control de calidad	141
7.6.4.2. Especialidad mecánica rotativa	141
7.6.4.2.1. Alcance de la especialidad	141
7.6.4.2.2. Programa de constructibilidad inicial	142
7.6.4.2.3. Identificación de equipos principales (tamaño, precios, facilidad de	
obtención):	142
7.6.4.2.4. Bases para la definición de las filosofías de mantenimiento,	
operación y confiabilidad.	142
7.6.4.2.5. Análisis de Causa Raíz - RCA del Equipo Rotativo a cambiar	142
7.6.4.2.6. Requerimientos de control de calidad	142
7.6.4.3. Especialidad mecánica estática y tubería	143
7.6.4.3.1 Alcance de la especialidad	143

7.6.4.3.2. Bases para la definición de las filosofías de mantenimier	nto,
operación y confiabilidad	144
7.6.4.3.3. Plot Plan	144
7.6.4.3.4. Requerimientos de control de calidad	144
7.6.4.4. Especialidad civil	145
7.6.4.4.1. Plano de localización del proyecto, vía de acceso, área o	geográfica145
7.6.4.4.2.Programa de constructibilidad inicial	145
7.6.4.4.3. Distribución de áreas	145
7.6.4.4. Condiciones del lugar	146
7.6.4.4.5. Requerimientos de control de calidad	146
7.6.4.5. Especialidad eléctrica	146
7.6.4.5.1. Alcance de la especialidad	146
7.6.4.5.2. Capacidades y características de los sistemas operacion	nales146
7.6.4.5.3. Requerimientos de medición	149
7.6.4.5.4. Programa de constructibilidad inicial	149
7.6.4.5.5. Identificación de equipos principales (tamaño, precios, fa	acilidad de
obtención)	149
7.6.4.5.6. Diagramas Unifilares	149
7.6.4.5.7. Requerimientos de control de calidad	149
7.6.4.6. Especialidad instrumentos	150
7.6.4.6.1. Alcance de la especialidad y requerimientos de Instrume	entación,
Control y/o Medición	150
7.6.4.6.2. Filosofía de control	152
7.6.4.6.3. Filosofía de protección	153
7.6.4.6.4. Grado de automatización	153
7.6.4.6.5. Capacidades y características de los sistemas de contro	l operacional
(nuevos y existentes	153
7.6.4.6.6. Programa de constructibilidad inicial	154
7.6.4.6.7. Identificación de equipos e instrumentación principales (tecnología,
tamaño, precios, facilidad de obtención):	154

7.6.4.6.8. Listado de instrumentos con asignación de TAGs (formato estándar)	.154
7.6.4.6.9. Plan de transferencia tecnológica involucrada al proyecto	154
7.6.4.6.10. Descripción de interfaces o comunicaciones con otros sistemas y	
especialidades	155
7.6.4.6.11. Alcance y requerimientos Sistemas Telecomunicaciones	155
7.6.4.6.12. Evaluación de alternativas	155
7.6.4.6.13. Requerimientos de control de calidad	155
7.6.5. Anexos	155
7.7 DETERMINACIÓN DE INDICADORES DE SOSTENIBILIDAD PARA LA	
OPCIÓN SELECCIONADA	156
7.7.1 Enfoque técnico	157
7.7.2 Enfoque ambiental	160
CONCLUSIONES	168
BIBLIOGRAFÍA	169
ANEXOS	173

LISTA DE TABLAS

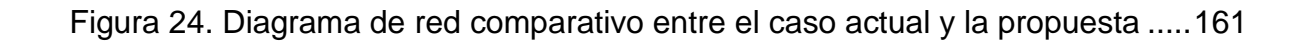
	Pág.
Tabla 1. Identificación de corrientes U- 1100	68
Tabla 2. Corrientes adicionales simulación U-1100	69
Tabla 3. Balance Másico U-1100- reportado en RIS	70
Tabla 4. Curva de destilación Base Parafínica B.Stock Nov 2008	71
Tabla 5. Características Base Parafínica B.Stock Nov 2008	71
Tabla 6. Porcentaje de azufre en carga(A) y en corriente (2)	72
Tabla 7. Cromatografía Gas de reciclo D- 1107, Muestra CDLAB 18/01/2012	72
Tabla 8. Condiciones de operación Tambor U-1100	73
Tabla 9. Identificación de corrientes U- 1100	76
Tabla 10. Corrientes adicionales simulación U-1100	77
Tabla 11. Balance Másico U-1110, reportado en RIS	78
Tabla 12. Curva de destilación Base Nafténica pesada Mayo 2008	79
Tabla 13. Características Base Nafténica pesada Mayo 2008	80
Tabla 14. Contenido de Azufre Destilado Nafténico (Z), CDLAB1	80
Tabla 15. Contenido de Azufre Base Nafténica pesada (11), CDLAB	81
Tabla 16. Condiciones de operación Tambores U-1110	83
Tabla 17. Frecuencia por tipo de carga U-1100	85
Tabla 18. Datos Balance U-1100 usados en la simulación/resultados	
Simulación.	86
Tabla 19. Corrientes y relación de corrientes para días de operación simulados	s
en HYSYS	87
Tabla 20. Frecuencia por tipo de carga U-1110	88
Tabla 21. Datos Balance U-1110 usados en la simulación/resultados	
simulación	89
Tabla 22. Corrientes y relación de corrientes para días de operación simulados	s
en HYSYS	89

Tabla 23. Identificación de corrientes en simulación del sistema de vacío	91
Tabla 24. Datos de diseño corriente E1	92
Tabla 25. Composición típica gases no condensables en sistemas de vacío	93
Tabla 26. Composición típica de HC en gases no condensables	93
Tabla 27. Flujo de gases no condensables salida del sistema de vacío U-1100/	U-
1110	94
Tabla 28. Composición gases no condensables salida del sistema de vacío U-	
1100/U-1110	95
Tabla 29.Estimación de factor J alternativas planteadas	98
Tabla 30. Consumos promedio energéticos mensuales (Kw-h/mes) Año 20121.	100
Tabla 31. Consumos promedio mensuales de gas (KPC/mes) en los equipos d	e
combustión-Año 2012	100
Tabla 32. Poderes caloríficos promedios de gas en equipos de	101
Tabla 33. Conteo general de equipos para emisiones fugitivas	102
Tabla 34. Estimación de accesorios para emisiones fugitivas	102
Tabla 35. Factores de emisión empleados en fuentes directas e indirectas	103
Tabla 36. Factores de emisión empleados en emisiones fugitivas en	104
Tabla 37. Cálculo de gases efecto invernadero de las plantas de tratamiento	
con hidrógeno	105
Tabla 38. Estimación de gases contaminantes de las plantas de tratamiento	
con hidrógeno	107
Tabla 39. Efecto de cada alternativa sobre las categorías de impacto	.115
Tabla 40. Unidades a emplear	.120
Tabla 41. Condiciones ambientales en Barrancabermeja	.120
Tabla 42. Especificaciones de diseño	.121
Tabla 43. Especificaciones de diseño U-1120	.121
Tabla 44. Equipos del nuevo sistema	126
Tabla 45. Manejo de cargas en el sistema de vacío	.128
Tabla 46. Manejo de cargas en el sistema de vacío U-11201	.128
Tabla 47. Corrientes líquidas efluente del sistema	.129

Tabla 48. Información de proceso del sistema	135
Tabla 49. Efectos preliminares ambientales sociales de la propuesta	138
Tabla 50. Parámetros mínimos de cableado eléctrico	148
Tabla 51. Parámetros mínimos de cableado del sistema de control	148
Tabla 52. Base de cálculo para caso base	157
Tabla 53. Costos y pérdidas anuales con el sistema actual instalado1	158
Tabla 54. Base de cálculo para la alternativa seleccionada	158
Tabla 55. Costos y pérdidas anuales con la alternativa	159
Tabla 56. Reducción de costos de la alternativa seleccionada	159
Tabla 57. Reducción de vertimientos y emisiones en las Plantas de tratamient	:О
con hidrógeno	160
Tabla 58. Reducción en las categorías de impacto	163
Tabla 59. Reducción en las categorías de daño	164
Tabla 60. Evaluación Financiera	165

LISTA DE FIGURAS

	Pág.
Figura 1. Esquema básico de área de Parafinas	31
Figura 2. Esquema del sistema actual de vacío de planta de tratamiento cor	า
hidrógeno	33
Figura 3. Esquema de un eyector	36
Figura 4. Arreglos industriales de eyectores, condensadores y	
poscondensador	39
Figura 5. Condensador de Superficie de un sistema de vacío	39
Figura 6. Esquema hibrido-eyectores- condensador y bomba	40
Figura 7. Condensador de superficie	42
Figura 8. Condensadores barométricos (Fuente: Aguirre 2010)	47
Figura 9. Clasificación de las emisiones GEI	56
Figura 10. Ecuación para el cálculo de carbono	59
Figura 11. Diagrama simplificado U-1100 (B. Parafínicas)	67
Figura 12. Simulación en HYSYS U-1100	69
Figura 13. Diagrama simplificado U-1110	75
Figura 14. Simulación en HYSYS U-1110	77
Figura 15. Diagrama de simulación sistemas de vacío U-1100/U-1110	90
Figura 16. Entradas y salidas de la tecnosfera para el caso actual	111
Figura 17. Entradas y salidas de la tecnosfera-Alternativa 1	111
Figura 18. Entradas y salidas de la tecnosfera-Alternativa 2	112
Figura 19. Entradas y salidas de la tecnosfera-Alternativa 3	112
Figura 20. Diagrama de red de impactos globales en las plantas vs caso	
actual	114
Figura 21. Diagrama de contribución del proceso para la producción de	
bases lubricantes	114
Figura 22. Indicadores de daño ambiental	115
Figura 23 Esquema propuesto	118



LISTA DE GRAFICAS

	Pág.
Gráfica 1. Categorías de impacto generado	162
Gráfica 2. Daño ambiental	163

LISTA DE ANEXOS

	Pág.
Anexo A. de proceso 1. Propuesta técnica de proveedor (GRAHAM)	173
Anexo B de proceso 2. Plano de distribución de equipos	189
Anexo D. de proceso 4. Desmantelamiento de líneas y equipos	192
Anexo E. de proceso 5. Diagrama de bloques	193
Anexo F de proceso 6. P&ID Sistema de vacío U-1100,U1110 y U-1120	194
Anexo G. de proceso 7. Diagrama de banderas	195
Anexo H. de proceso 8. Diagrama de flujo simplificado	196
Anexo I de proceso 9. Listado de instrumentos	197
Anexo J.de proceso 10. Análisis de riesgos HAZOP	198
Anexo K. de proceso 11. Listado de líneas y equipos	199
Anexo L. de proceso 12. Análisis financiero de las alternativas	200
Anexo M. de proceso 13. Esquemas y tablas del ACV-SIMA PRO 7.1	201
Anexo N. de proceso 14. Simulaciones en HYSYS 7.3	206

RESUMEN

TITULO: DEFINICIÓN DE UN ESQUEMA TÉCNICO ECONÓMICO SOSTENIBLE DE OPERACIÓN PARA EL SISTEMA DE VACÍO DE UNA PLANTA DE TRATAMIENTOS CON HIDRÓGENO

AUTOR: EDGAR ALFONSO CORREA QUINTANA **

PALABRAS CLAVES: simulación de procesos, diseño, ingeniería, análisis financiero, análisis de ciclo de vida

CONTENIDO:

El presente trabajo plantea la mejor alternativa desde el punto de vista técnico, económico y ambiental para mejorar el desempeño operacional del sistema de vacío de una planta hidrotratadora de bases lubricantes en una refinería colombiana, el trabajo incluye la valoración de la alternativa bajo un enfoque de reducción de impactos ambientales en 4 categorías definidas(toxicidad humana, acidificación acuática, eco toxicidad acuática y calentamiento global), empleándose para ello un modelo de análisis de ciclo de vida(ACV) calculado mediante el programa SIMAPRO V7.1.

El trabajo de aplicación hace un diagnóstico de los principales parámetros de composición y flujo de las corrientes asociadas al sistema de vacío (actualmente no es posible la medición) empleando el simulador de procesos HYSYS 7.3. A partir del diagnóstico, se especifica el mejor esquema de implementación en sitio, al igual que los criterios de ingeniería y evaluación financiera de proyectos que debe considerar la compañía para lograr la mayor rentabilidad.

El resultado del estudio sugiere cambiar la tecnología existente, que consiste en un sistema de condensadores barométricos con tambor acumulador no hermético, por un sistema de vacío con condensadores de superficie y disposición segura de sus corrientes.

La relación beneficio-costo de la propuesta fue calculada en 1.9 contra 1.5, la cual es la relación mínima requerida por la empresa en sus proyectos de inversión con un tiempo de retorno de la inversión de 15 años.

Los resultados obtenidos de la valoración de impactos ambientales de la alternativa propuesta permitieron identificar y calcular una reducción del 42% en las unidades de toxicidad humana, 7% en eco toxicidad acuática, 94% en acidificación acuática y 0.27% en calentamiento global.

-

^{*}Trabaio de Aplicación

Facultad de Ingenierías Fisicoquímicas. Escuela de Ingeniería Química. Maestría en Ingeniería Ambiental Director: Edgar Fernando Castillo

ABSTRACT

TITLE: DEFINITION OF A TECHNICAL ECONOMIC SUSTAINABLE OPERATION SCHEME OF A VACUUM SYSTEM FOR HYDROTREATING PLANT

AUTHOR: EDGAR ALFONSO CORREA QUINTANA

KEYWORDS: process simulation, design, engineering, financial analysis, life cycle analysis

CONTENTS:

This paper presents the best alternative from a technical , economic and environmental view to improve the operational performance of the vacuum system in a hydrotreating plant of lube oils in a Colombian refinery, the work includes the evaluation of the alternative under a environmental impacts reduction approach defined in 4 categories (human toxicity , aquatic acidification , eco aquatic toxicity and global warming), using for this purpose a life cycle analysis(LCA) model calculated by the SIMAPRO V7.1 software. .

Applied work makes an analysis of the main parameters of composition and flow of associated stream with the vacuum system (currently a full measure is not possible) by using the HYSYS 7.3 process simulator. From this diagnosis, the best option is specified to implementation in site, as well as engineering judgment and financial evaluation projects are considered for a greatest company profitability.

The study results suggests changing the existing current technology , consisting of a barometric condenser system with accumulator drum not airtight, by a vacuum system with surface condensers and safe disposal of its effluent streams .

The benefit-cost ratio of the proposal was estimated at 1.9 versus 1.5, which is the minimum required by the company in its investment projects relating a period of 15 years payback.

The results of the assessment of environmental impacts of the proposed alternative makes possible to identify and calculate a 42% reduction in human toxicity units, 7% in eco aquatic toxicity, aquatic acidification in 94 % and 0.27 % on global warming.

_

Applied work

Physical chemistry engineering faculty. Chemical engineering school. Master of Environmental Engineering Director: Edgar Fernando Castillo

INTRODUCCIÓN

La refinería colombiana de Barrancabermeja es la más grande del país con una capacidad instalada de procesamiento de 250.000 barriles, sus inicios de construcción y montaje se remontan a los años 20 época en la cual con capital privado americano se inicia su construcción y en general el proceso de refinación en Colombia. Este proceso ha tenido importantes avances y evolución a lo largo de 93 años de historia, sin embargo en contados y específicos casos, la refinería opera con tecnologías, plantas o secciones de proceso de los años 50,60 y 70s que no han sido modificadas o actualizadas a la fecha, dentro de estas plantas se destacan las unidades de hidrotratamiento de bases lubricantes, las cuales son el objeto del presente estudio, las mismas han permitido identificar oportunidades en cuanto a eficiencia operativa, impacto ambiental y ocupacional, las cuales el presente trabajo aborda en grado de detalle, con el objetivo de seleccionarse una alternativa que permita integrarse bajo un marco de sostenibilidad en las dimensiones técnica-económica y ambiental, sin ser por supuesto menos importante el análisis y los efectos sociales que las mejoras podrían ofrecer a la comunidad, el estudio social no está contemplado dentro del alcance del presente trabajo.

Los actuales sistemas de generación de vacío (condensadores barométricos) en las plantas de tratamientos de bases lubricantes, no son eficientes en el manejo y disposición del recurso agua como tampoco lo son en la afectación al recurso aire donde los equipos están emitiendo altas cantidades de gas toxico (Sulfuro de hidrogeno-H2S) con inminente y permanente riesgo ocupacional para el personal que labora en el área.

El presente trabajo de aplicación, propone las mejores alternativas y tecnologías que ofrece la industria para el mejoramiento integral del sistema de vacío, por intermedio de un análisis interdisciplinario en equipo que contó con la participación de expertos y el proveedor (GRAHAM) de amplia tradición y trayectoria en el diseño y montaje de sistemas de vacío a lo largo del mundo, con los resultados técnicos obtenidos se selecciona la mejor alternativa, empleándose para ello el desarrollo de un análisis financiero (beneficio-costo)en el marco que rige los proyectos internos de la refinería.

Posteriormente se complementa el resultado del análisis financiero con el desarrollo de la metodología de análisis de ciclo de vida (ACV) de acuerdo a ISO14040, la cual permite estimar los impactos ambientales que cada una de las alternativas planteadas y seleccionas genera para el proceso global de la planta y así mismo buscar correspondencia para los resultados económicos y técnicos estimados inicialmente. Los resultados de ACV obtenidos y calculados mediante el software SIMAPRO permiten evidenciar la coherencia y beneficios que representa para las plantas, el cambiar una tecnología obsoleta por una tecnología nueva (condensadores de superficie), los resultados obtenidos de los impactos muestran una reducción importante para las categorías de impacto ambiental toxicidad humana, acidificación acuática, eco toxicidad acuática y calentamiento global.

Por último, con los resultados obtenidos y calculados (algunos mediante simulación HYSYS) se elabora un documento de ingeniería conceptual el cual define el alcance y las normas técnicas de ingeniería que aplicaran a las etapas posteriores del proyecto de implementación como son las etapas de ingeniería básica y conceptual.

1. DIAGNÓSTICO

El sistema de vacío actual de una planta de tratamientos con hidrógeno de una refinería colombiana, corresponde a un diseño y montaje realizado en los años 50 denominado de "condensador barométrico por contacto directo", estos condensadores tienen el objetivo de generar las condiciones de vacío ideales para la operación de torres separadoras o despojadoras de productos terminados específicamente en la planta de parafinas. El sistema de vacío por condensador barométrico lo compone principalmente un sistema de eyectores en dos etapas los cuales succionan gases no condensables de los flujos de cima de las torres despojadoras, por intermedio de la fuerza motriz de un vapor de 150 psig aplicado a cada uno de los 4 eyectores existentes.

Cada una de las etapas de los eyectores (Figura 2) dispone igualmente de tambores receptores o condensadores del vapor, los cuales emplean como medio de enfriamiento para condensación, la inyección de agua cruda de la ciénaga Miramar (sin tratar) por contacto directo o mezcla, lo cual garantiza las condiciones operativas del sistema, adicionalmente los tambores receptores disponen de una tubería vertical (piernas barométricas) que hace sello líquido con un reservorio (pozo caliente) ubicado bajo nivel, evitando la entrada de aire al sistema o permitiendo las condiciones de vacío necesarias para el proceso.

El sistema actual presenta las siguientes limitaciones:

 El consumo de agua para condensar vapor por mezcla directa genera no sólo un alto volumen de agua como insumo (por baja área de contacto), sino sobre carga de los sistemas que reciben los efluentes finales (Planta PTAR de la Refinería).

- Por ser un sistema de contacto directo (vapor, gases no condensables con hidrocarburo y agua cruda Miramar) el mayor volumen de agua que se dispone en PTAR presenta contenidos de hidrocarburo y fenoles con efectos en los tratamientos biológicos.
- Los vapores generados tanto en los tambores receptores como en el pozo caliente, tienen la presencia de un gas altamente tóxico denominado H2S (Ácido Sulfhídrico) el cual se emite al ambiente y ha generado eventos de alto riesgo (Ver numeral 2.1) para las personas del área.
- El sistema en su diseño original no cuenta con adecuados sistemas de instrumentación y control, motivo por el cual los ajustes del vacío se realiza de manera manual por parte del operador del área, manipulando al tanteo (de temperatura) el vapor y flujo de agua Miramar para garantizar las condiciones requeridas.
- Inyectar agua cruda Miramar por presentar altos niveles de sólidos (sedimentos), genera altas deposiciones de material y lodos en el pozo caliente induciendo a taponamiento de filtros del sistema de bombeo de retiro del agua excedente.

En la industria existen tecnologías que permiten generar ventajas comparativas en cuanto ahorro de agua de enfriamiento (condensadores de superficie) y manejo o disposición de gases peligrosos (condensadores de superficie con bombas de anillo líquido); los sistemas de condensación barométrica (como el actual) pueden ser una buena opción en la medida que se asegure un adecuado plan o manejo de disposición de las corrientes líquidas y gaseosas excedentes del proceso.

2. ANTECEDENTES Y JUSTIFICACIÓN

2.1 ANTECEDENTES

La Refinería de combustibles de la ciudad de Barrancabermeja (Colombia), trabaja desde hace varios años en planes de reducción del consumo de agua fresca y vertimientos de aguas residuales a los cuerpos de agua.

En el 2009 se inició el plan de integración de aguas de la Refinería con filosofía cero descargas líquidas (ZLD), el cual incluye, opciones de reúso, reciclo y reducción de efluentes, con miras a lograr la optimización del uso del agua y la reincorporación de corrientes residuales a los procesos de refinería. Dentro de las oportunidades de reducción en el consumo de agua y generación de aguas residuales se identificó "El cambio de los sistemas de vacío en las plantas de tratamiento con hidrógeno".

Por otra parte, el alto contenido de H2S (ácido sulfhídrico) y gases explosivos generados por el sistema de vacío en el denominado pozo caliente de la instalación, ha generado incidentes operacionales y ambientales:

- En el 2002 la pérdida de sello en la torre despojadora T1101A generó la formación de una nube explosiva que al entrar en el área de las piernas barométricas hizo explosión.
- En el 2008 se presentaron altas concentraciones de H2S en el área (> 10 ppm), generando riesgos sobre las personas nivel H (Riesgo Alto) e impactando la imagen de la empresa. En base a este incidente se realizó un

RCA (Análisis de Causa Raíz) en el cual se plantean alternativas de cambios tecnológicos o mejora en el esquema operativo del sistema de vacío actual.

 En el 2008 el pozo caliente fue hermetizado y se le adecuó un tubo de desfogue para el H2S y gases tóxicos que descarga en la atmósfera, por lo cual, aunque se ha disminuido la concentración de H2S (a nivel del piso) en el área no se ha solucionado el problema base.

2.2 JUSTIFICACIÓN

Este proyecto hace parte del plan de integración de agua de la Refinería con la filosofía cero descargas líquidas, el cual permitirá alcanzar estándares internacionales, cumpliendo con las políticas y normatividad en relación a la preservación de los recursos naturales y el medio ambiente.

El cambio tecnológico de los sistemas de vacío actuales, puede reducir en un nivel de 5000 lb/h el consumo de vapor de la unidad, adicional a 305 gpm de agua cruda de la ciénaga Miramar empleados en los sistemas de despojo al vacío de la planta de tratamientos con hidrógeno, con un costo total cercano a los \$ 410 kUSD/año. El vapor y agua que consumen los sistemas de vacío generan 315 gpm de aguas aceitosas con alto contenido de amoniaco, fenoles, grasas y sulfuros, los cuales se descargan a la red de aguas aceitosas, generando impactos ambientales importantes por emanaciones en los trayectos que conducen al destino final de tratamiento. Este volumen de vertimiento de aguas corresponde al 8% de la carga total a la PTAR (planta de tratamiento de aguas residuales), con un costo de tratamiento de \$ 25 kUSD/año.

La producción de estas aguas residuales aceitosas genera emisiones de H2S (ácido sulfhídrico) en la planta de tratamientos con hidrógeno, en ocasiones estas

emisiones han sobrepasado los límites de exposición permisible decretados por la American Conference of Industrial Hygienists (ACGIH), TLV= 10 ppm (Como TWA*) y 15 ppm (Como STEL**). Esta condición genera una valoración de riesgos sobre las personas de Nivel H en el área operativa de la planta, lo cual exige alternativas de intervención y disminución del riesgo.

Existe un incentivo adicional que evalúa el proyecto y es el direccionamiento útil y práctico de la corriente de H2S, bien sea a una planta de ácido sulfúrico o una planta de ruptura catalítica para recuperación como azufre líquido (potencial previsto 0,4 toneladas/día).

La implementación de este proyecto de aplicación permitirá obtener beneficios económicos por ahorro en el consumo de vapor-agua, beneficios ambientales por diminución de emisiones de H2S, disminución de contaminantes y carga (agua agria) a la PTAR (planta de tratamiento de aguas residuales).

3. HIPÓTESIS

La revisión de literatura y la consulta técnica a fabricantes expertos en el diseño de sistemas de generación de vacío para plantas industriales, pueden permitir identificar alternativas técnico-económicas y ambientales que sean la base para generar una propuesta integral de ingeniería conceptual.

4. OBJETIVOS

4.1. OBJETIVO GENERAL

Definición de un esquema técnico económico sostenible de operación para el sistema de vacío de una planta de tratamientos con hidrógeno.

4.2. OBJETIVOS ESPECÍFICOS

- Conformar una línea base de estudio consistente en la caracterización (flujos y calidades) de los efluentes del sistema de vacío actual (Líquido-Gas).
- Identificar mediante revisión de literatura o consulta a experto las principales tendencias tecnológicas de generación de vacío en Refinerías.
- Formular un modelo simplificado que contenga las principales variables y características de cada tecnológica disponible, plantear escenarios de reconversión del sistema de vacío, con el fin de visualizar el impacto global sobre la Planta.
- Realizar el diseño conceptual de la mejor alternativa identificada mencionando el direccionamiento seguro de gases peligrosos (H2S) y vertimiento de agua proveniente del sistema de vacío propuesto.
- Determinar indicadores de sostenibilidad de la opción tecnológica seleccionada, mediante el análisis de ciclo de vida (ACV) para las categorías

de impacto ambiental, toxicidad humana, acidificación acuática, eco toxicidad acuática y calentamiento global.

5. MARCO TEÓRICO

5.1 GENERALIDADES DE LAS PLANTAS DE PARAFINAS-TRATAMIENTOS CON HIDRÓGENO DE REFINERÍA COLOMBIANA

Las plantas de Parafinas de la Refinería Colombiana de Barrancabermeja (Figura 1) se encargan de producir las diferentes bases lubricantes y parafínicas que requiere el mercado nacional colombiano.

El proceso integral lo conforman 4 secciones de proceso, las cuales se enuncian a continuación (Grupo de excelencia operacional, 2011):

- 1. DAP. Este proceso involucra la extracción líquido-líquido, utilizando propano como solvente, para separar el material parafínico del aromático y asfáltico presente en los fondos de vacío provenientes de la Unidad de Destilación Combinada (CDU). En este proceso se obtiene un aceite desasfaltado denominado (DAO) con bajo contenido de contaminantes rico en ceras y un residuo de fondos DAP en el cual se concentran los asfáltenos (precursores de carbón) contenidos en la carga.
- 2. Fenol. Este proceso es una extracción líquido-líquido donde se utiliza fenol como solvente para separar el material parafínico del aromático y/o nafténico, de esta forma se mejora el índice de viscosidad del producto de interés de esta planta (rafinato).
- **3. MEC.** Proceso realizado a baja temperatura que permite separar las ceras que se encuentran en las fracciones lubricantes de crudo mediante el uso de un solvente (50% MEC + 50% tolueno). La baja temperatura permite la

precipitación de la cera y el solvente facilita la separación de la cera y el aceite lubricante.

4. Tratamiento con Hidrógeno. Este tratamiento busca mejorar la calidad de los aceites y las ceras mediante el proceso de hidrogenación no severa. Los aceites mejoran su color, índice de viscosidad y estabilidad a la oxidación debido a la remoción de azufre, oxígeno, nitrógeno y la saturación de olefinas.

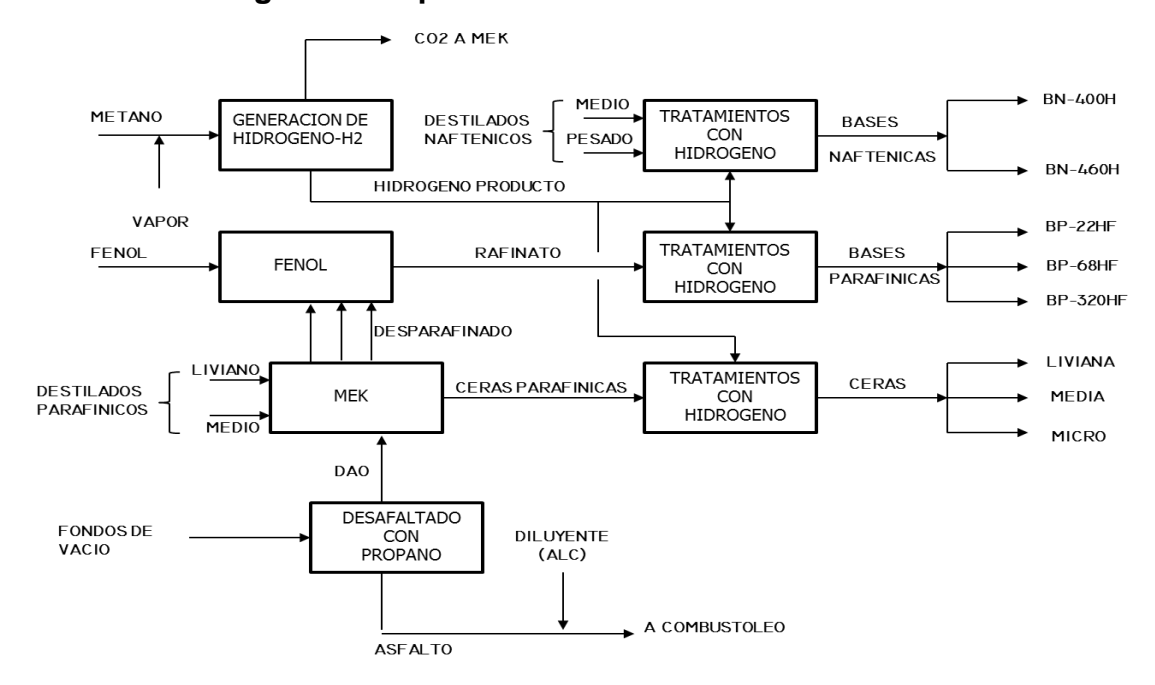


Figura 1. Esquema básico de área de Parafinas

Fuente: Refinería Colombiana

La sección de tratamiento con Hidrógeno es la delimitación del sistema de control para el presente trabajo, y en el cual se desarrollará, está conformada por 3 unidades (U-1110, U--1110 y U-1120) que tienen la misma función básica; hidrogenar cargas específicas para cada una.

Las cargas específicas son: aceites parafínicos (U-1100), destilados nafténicos (U-1110) y ceras (U-1120) que provienen de las siguientes unidades.

- Aceites parafínicos (rafinato) provenientes de la unidad de Fenol.
- Destilados nafténicos provenientes de la unidad de CDU (Unidad Destilación Combinada).
- ALC de CDU.
- ACPM de alto azufre del Pool o almacenamiento del mismo.
- Ecoil Proveniente de la Unidad de desparafinado MEK.
- Parafina dura o cera parafínica proveniente de la unidad de desparafinado
 MEK.

El proceso de hidrogenación se realiza mediante una reacción catalítica (con catalizadores de óxido de níquel) a alta temperatura y presión, generando productos valiosos de interés comercial para la refinería como son:

- Base parafínica
- Base nafténica
- ALC y ACPM hidrotratados
- Ecoil 15H
- Parafina hidrotratada (cera)

Base Parafínica. La corriente de base parafínica es obtenida del fondo de la torre secadora al vacío T-1101B y se envía a almacenamiento. Se pueden obtener tres tipos de bases parafínicas: liviana, media, bright stock.

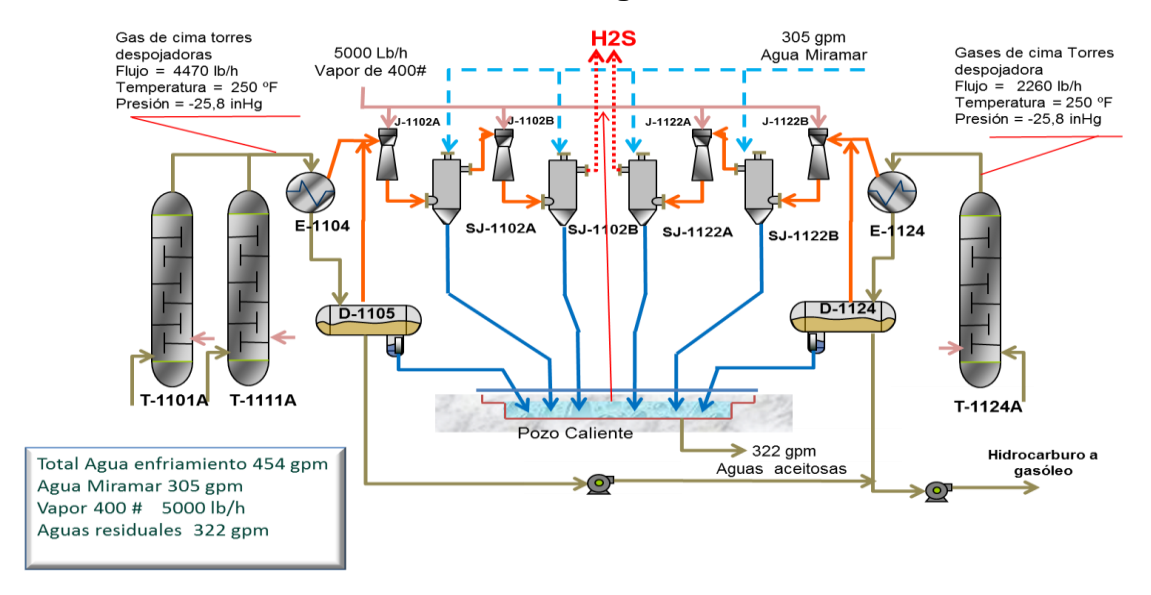
Base Nafténica. La corriente de base nafténica se obtiene del fondo de la torre secadora al vacío T-1111B y se envía a almacenamiento. En la unidad se obtienen dos tipos de bases nafténicas: base nafténica media y base nafténica pesada. ALC y ACPM Hidrotratados. La corriente de ALC y ACPM se obtiene del fondo de la torre secadora al vacío T-1111B y se envía al almacenamiento de ACPM de bajo azufre.

Ecoil 15H. La corriente de Ecoil 15H se obtiene del fondo de la Torre Secadora al Vacío T-1111B y se envía a almacenamiento.

Parafina Hidrotratada. La corriente de base parafínica se obtiene del fondo de la torre secadora al vacío T-1121B y se envía a almacenamiento. En la unidad se obtienen tres tipos de parafinas: liviana, media, microcristalina.

El refinamiento final de calidad de los productos anteriormente mencionados depende de los sistemas de vacío (Figura 2), de ahí la importancia del correcto desempeño de los mismos y sus partes constitutivas. Los sistemas de vacío de las tres unidades de tratamiento por su función y diseño original, generan emisiones con presencia de sulfuro de hidrógeno (H2S) a la atmósfera en el denominado pozo caliente (equipo receptor de condensado) con el correspondiente y directo riesgo para el personal del área, por otro lado el vertimiento producto de la mezcla de enfriamiento del vapor del sistema de eyectores con el flujo de agua de la ciénaga Miramar (en los tambores barométricos) genera un volumen importante de agua, con destino final la planta de tratamiento de aguas residuales (PTAR).

Figura 2. Esquema del sistema actual de vacío de planta de tratamiento con hidrógeno



5.2 SULFURO DE HIDRÓGENO (H2S)

En las plantas de refinación de petróleo, normalmente la presencia de gas H2S se genera a partir de los procesos de hidrotratamiento de combustibles livianos o residuos pesados, procesos en los cuales el azufre contaminante (precursor de lluvia ácida e irritación de mucosas en las personas) es retirado de las moléculas de hidrocarburo a partir de una reacción química catalítica con hidrógeno a alta temperatura y alta presión. El excedente de la anterior reacción es gas H2S que normalmente se trata para producir Azufre líquido o se quema en sistemas de incineración.

En los sistemas de separación o fraccionamiento de estas unidades se pueden presentar por consideraciones de diseño u problemas operacionales, leves fugas o venteos de este gas al ambiente con el correspondiente riesgo que este implica.

El gas H2S es un gas incoloro, inflamable y extremadamente peligroso con olor a "huevo podrido". Adicional a contenerlo el petróleo, el gas natural o ser un excedente del proceso de Refinación como se comentó anteriormente, puede ser producido por la descomposición de materia orgánica desechos V humanos/animales (por ejemplo, aguas negras). Es más pesado que el aire y puede acumularse en áreas bajas y cerradas, pobremente ventiladas, como sótanos, bocas de registros, bóvedas subterráneas para líneas de alcantarillado, teléfonos y eléctricas.

Los efectos sobre la salud varían dependiendo de cuánto tiempo y a qué nivel se esté expuesto. Las personas asmáticas pueden estar en mayor riesgo.

 Concentraciones bajas: irritación de ojos, nariz, garganta o sistema respiratorio; los efectos pueden tardar en aparecer.

- Concentraciones moderadas: efectos más severos en los ojos y la respiración,
 dolor de cabeza, mareos, náusea, tos, vómitos y dificultad al respirar.
- Concentraciones altas: estado de shock, convulsiones, incapacidad para respirar, coma, muerte; los efectos pueden ser extremadamente rápidos (en pocos respiros).

Se considera que concentraciones arriba de 100 ppm representan riesgo inmediato para la vida y salud (IDLH) (OSHA, 2013).

5.3 GENERACIÓN DE VACÍO EN PLANTAS DE PROCESO

Los sistemas de generación de vacío en plantas de proceso y refinerías de petróleo normalmente lo componen arreglos de eyectores con vapor, sistemas de condensadores (intercambiadores de coraza y tubo) o enfriamiento de contacto directo (mezcla de una corriente fría con vapor motriz proveniente de los eyectores), tambores acumuladores con sistemas de venteo para retirar los no condensables, en ocasiones de sello y sistemas de bombeo para recuperación del condensado.

5.3.1 Eyectores. El eyector es una bomba de vacío, generalmente movida por vapor, que no tiene partes móviles y que es capaz de alcanzar presiones absolutas de entre 1 micrón y 30 pulgadas de Hg (Exxon Mobil, 1996).

El principio de funcionamiento es el siguiente: el fluido motriz, generalmente vapor, es acelerado en una tobera convergente-divergente, convirtiendo la presión en velocidad. Debido al efecto Venturi, la presión en la descarga es muy baja, produciendo una succión del fluido aspirado en la cámara de mezcla.

La mezcla del fluido motriz y aspirado es introducida en el difusor, donde se transforma la velocidad en presión, obteniendo en la descarga una presión intermedia entre la del fluido motriz y el impulsado.

La salida del difusor se direcciona hacia un intercambiador o condensador de superficie, donde a baja temperatura y presión se condensa parte del vapor favoreciendo la aceleración y formación del vacío al pasar de estado vapor a líquido (reducción de volumen).

Componentes: el eyector está formado básicamente por tres elementos (Figura 3):

- Cámara de aspiración
- Tobera
- Difusor de mezcla

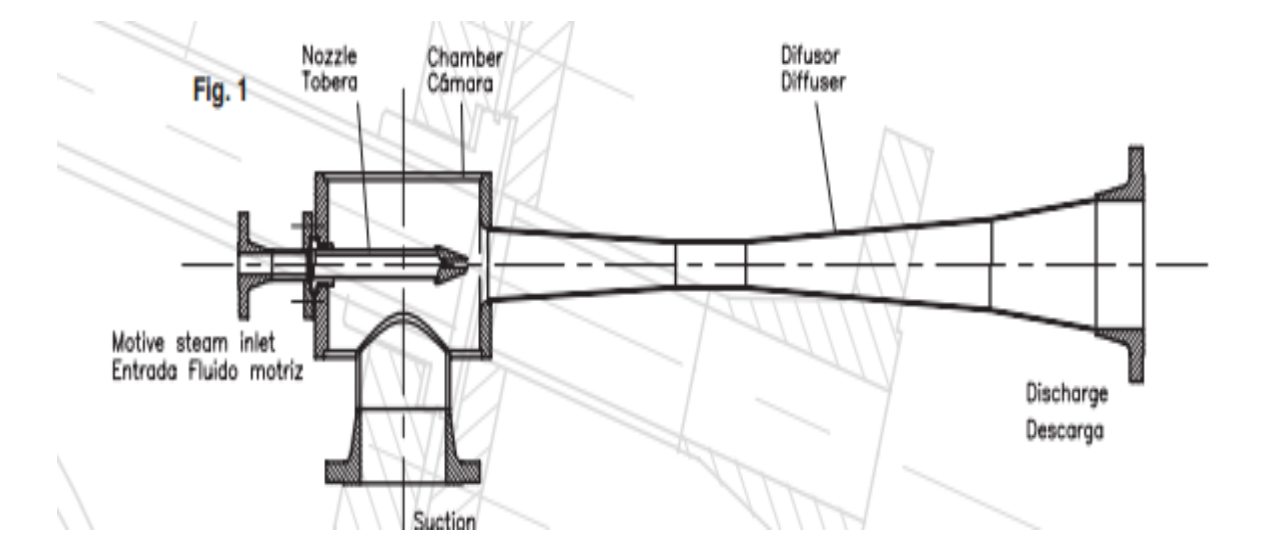


Figura 3. Esquema de un eyector

Normalmente los eyectores tienen una curva de capacidad fija, en la cual la capacidad del eyector es función de la presión absoluta en la entrada al eyector y la capacidad incrementa hasta cierto punto con la presión, pero si se supera la

presión de diseño la capacidad no se incrementa y por el contrario la capacidad se disminuye por un efecto de choque del vapor en la garganta del difusor (Berkeley, 1958).

Algunos aspectos que influyen en el desempeño de los eyectores y el sistema de vacío en general tienen que ver con erosión o desgaste de las boquillas del eyector, taponamiento de las mismas, presión o disponibilidad insuficiente del vapor motriz al eyector, alta temperatura o insuficiencia en el flujo de enfriamiento de agua o una sobrecarga con vapores de extracción del sistema, de igual forma limitaciones hidráulicas en los sistemas de interenfriadores (entre eyectores) genera efectos no deseados en las condiciones de vacío.

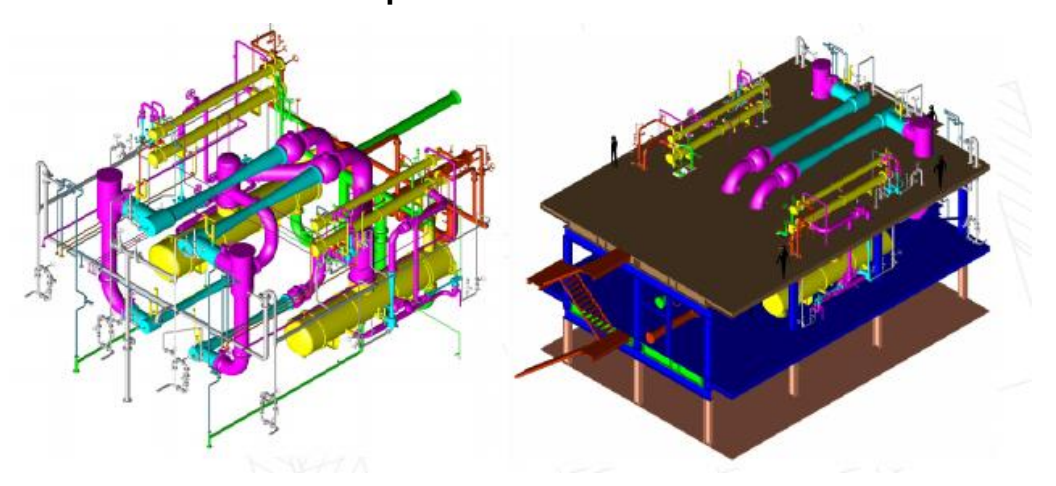
- **5.3.2 Factores de selección de eyectores.** Los siguientes factores deben ser considerados para seleccionar correctamente un sistema de eyectores para generación de vacío:
- 1. Presión/Temperatura de succión en la brida de aspiración del eyector.
- 2. Presión de descarga requerida.
- 3. Naturaleza de la carga (composición, vapores corrosivos, etc.).
- 4. Capacidad requerida.
- 5. Mínima presión de vapor disponible para el sistema eyector.
- 6. Máxima temperatura del agua de entrada a condensadores.
- 7. Tipo de condensador requerido: barométrico o de superficie.
- **5.3.3 Materiales típicos empleados en eyectores y equipos asociados**. Los materiales empleados dependen de varios factores, a saber: Propiedades mecánicas, resistencia química, consumo y pureza del producto.

Los materiales típicos de empleo son:

- Aceros al carbono
- Aceros inoxidables (304L, 16, 321)
- Inoxidable 90 o 3P
- Cobre
- Níquel
- Monel
- Titanio
- P.V.C.
- Resina
- Nylon
- Polipropileno
- Vidrio
- Cerámico
- P.T.F.E.
- Polietileno
- Grafito

5.3.4 Esquemas de generación de vacío multietapa. La cantidad de vapor requerida para operar un eyector se incrementa proporcionalmente con la relación de compresión requerida, hecho que limita los eyectores de simple etapa. El método más eficiente de operación es utilizar eyectores en varias etapas con condensadores intermedios para condensar (es decir, para sacar) el vapor de la etapa anterior, de esta forma los no condensables pasan a una siguiente etapa y la cantidad de vapor requerida se reduce considerablemente.

Figura 4. Arreglos industriales de eyectores, condensadores y poscondensador



5.3.5 Condensadores de superficie. Los condensadores de superficie son la etapa siguiente de los eyectores (Figura 5) y son una alternativa tecnológica en algunos sistemas de vacío, en estos el fluido refrigerante y el refrigerado están separados físicamente, generalmente el refrigerante (suele ser agua) va por tubos rectos o tipo aleteados y el fluido a refrigerar circula por la carcasa, produciéndose el intercambio de calor por convección. Este esquema se utilizan en procesos en los que no se pueden mezclar los fluidos (la mezcla de fluidos se hace en los sistemas de contacto directo), o para evitar contaminación del fluido refrigerante. Los códigos de construcción que aplican para estos equipos son: ASME, TEMA.

Figura 5. Condensador de Superficie de un sistema de vacío



En el condensador de superficie, el condensado puede ir a un tambor acumulador o a un sistema de "piernas barométricas" donde una columna líquida sumergida en un foso o tambor a bajo nivel, garantiza la hermeticidad del sistema. Otra alternativa tecnológica de mejora en sistemas de vacío son los arreglos denominados "híbridos" (Nash, 2010), el condensado del condensador de superficie, lo succiona directamente una bomba de anillos hacia un sistema de interés o de integración térmica.

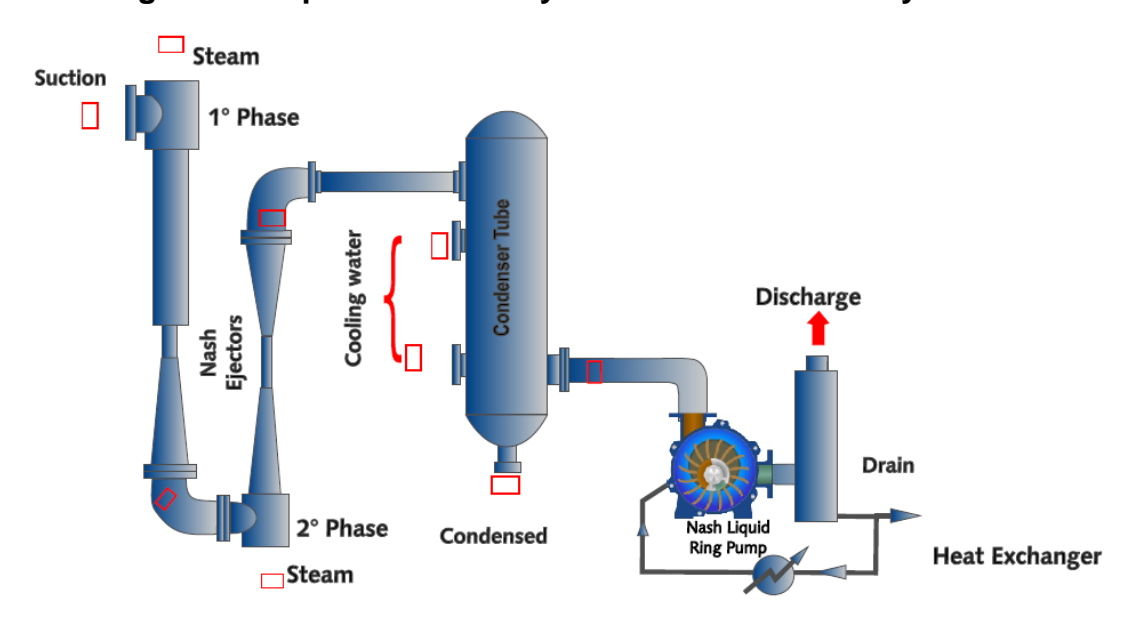


Figura 6. Esquema hibrido-eyectores- condensador y bomba

El esquema de operación con bombas de anillo líquido representa beneficios energéticos importantes en razón a que estas bombas tienen la capacidad de succionar una fracción de vapor/gas mayor que otros tipo de bombas comunes, lo cual lo hace un sistema conveniente energéticamente hablando en comparación a utilizar compresores para el manejo de fracciones vapor o gases incondensables del proceso.

El principio de operación de los sistemas de anillo líquido considera los siguientes aspectos (Aliasso, 2010) para el manejo de gases húmedos, el impulsor de las

bombas en su giro hace que mediante la fuerza centrífuga el líquido sea distribuido en la periferia contra la carcasa del equipo generando un anillo líquido concéntrico, el arreglo físico y orientación del impulsor con relación a la carcasa hace que se presente una mayor tolerancia en la línea de succión de la bomba entre los alabes del impulsor con relación a la tolerancia de la línea de salida, en la medida que rota el impulsor el anillo líquido comprime el gas de tal forma que es forzado a salir por la línea de salida.

Los sistemas de bombeo por anillo líquido presentan alta susceptibilidad a la cavitación, el cual es un fenómeno de ebullición o formación de burbujas en el líquido en la zona de baja presión, cuando las burbujas pasan al área de alta presión se generan implosiones que generan efectos de vibración y erosión en los internos de la bomba (carcasa y alabes de impulsor).

Algunas formas para eliminar la cavitación de estas bombas consiste en:

- Usar un fluido de sello más frio (menor presión de vapor).
- Instalar un sistema "booster" aguas debajo de la descarga de la bomba de anillo líquido, este sistema comprime e incrementa la presión absoluta en la succión de la bomba. Un sistema "booster" típico consiste en el empleo de un eyector los cuales no tienen partes móviles y son similares en los empleados en los sistemas de vacío anteriormente mencionados.
- Incrementar la presión de entrada a la bomba en la medida que el proceso lo permita.

5.3.5.1 Eficiencia de los Condensadores de vacío: Los condensadores de vacío son ampliamente utilizados en plantas de generación eléctrica a partir de vapor, si bien existen otros medios de generación eléctrica partiendo del gas natural, biogás, células solares etc. Sin duda que la disponibilidad del agua como medio de generación de trabajo es y será ampliamente utilizado en los próximos años.

La eficiencia del condensador se basa en el óptimo aprovechamiento del área superficial con el objetivo de bajar la presión dentro del condensador y permitir desarrollar una mayor potencia a la turbina de generación (el condensador es el punto de llegada del vapor exhosto de la turbina). En las plantas refinadoras de petróleo los sistemas de condensadores de vacío permiten garantizar las condiciones adecuadas para mejorar la separación de los productos y mejorar la calidad.

Figura 7. Condensador de superficie

- 1- Entrada de vapor o gases a ser condensados
- 2- Salida de agua de enfriamiento
- 3- Entrada de agua de enfriamiento
- 4- Salida de no condensables
- 5- Salida del condensado
- 6- Contenedor o receptor de agua

En la Figura 7 se pueden observar las partes que constituyen un condensador pero es importante anotar la importancia del buen manejo de la salida de los gases o vapores no condensables, basados en que el desarrollo del vacío en estos sistemas radica en dos aspectos:

- 1. El efecto que genera el cambio de volumen por efecto de la condensación.
- 2. El vacío que genera en las boquillas de los eyectores, que son el medio para retirar los gases o vapores no condensables del condensador.

El efecto del retiro de los no condensables tiene un efecto significativo en el desempeño del sistema.

- a. El exceso de gases incrementa la presión de operación del condensador generando perdida de eficiencia en la turbina o de recuperación de productos.
- Estos gases generan un efecto aislante en la superficie de los tubos, lo cual reduce la transferencia de calor induciendo una mayor circulación de agua de enfriamiento.
- c. Los gases no condensables pueden tienen componentes corrosivos como oxigeno o ácidos (CO2-H2S) que inducen a mecanismos de corrosión en el sistema.

Los dos principales componentes para retirar los no condensables de un sistema de vacío son los eyectores de vapor y las bombas de anillo líquido mencionadas en el numeral anterior (Kapooria, 2008).

Existen principalmente tres tipos de condensadores denominados de alta eficiencia que pueden aplicar como mejora importante al sistema en planta:

- a. Condensadores de vacío con flujo transversal y tubos lisos
- b. Condensador de vacío con flujo transversal y tubos planos
- c. Condensador de vacío con flujo transversal y tubos corrugados

Siendo en principio los de tipo corrugado de más alta eficiencia en razón a la mayor área superficial

5.3.5.2 Conceptos de transferencia de calor para el diseño: El diseño de intercambiadores de calor en contraflujo se ha demostrado son los de mayor eficiencia, lo anterior basados en que la diferencia de temperatura promedio de los dos fluidos sobre una longitud de área es la máxima. La diferencia media logarítmica para un condensador de superficie es la siguiente:

$$\Delta TIm = (\Delta T2 - \Delta T1) / \ln (\Delta T2 / \Delta T1)$$
 (1)

Dónde: T1 = temperatura del fluido caliente y T2 la temperatura de fluido frío. La transferencia de calor se asume que ocurre por conducción y convección. La tasa de transferencia de calor Q se calcula empleando la siguiente ecuación:

$$Q = Uo Ao \Delta T1m$$
 (2)

$$Q = Uo Ao F \Delta T1m$$
 (3)

Dónde:

Q = Transferencia de calor, W

Uo= Coeficiente de transferencia global, W/m2 K

Ao = Área de transferencia sección transversal, m2

 Δ TIm = Diferencia logarítmica media de temperatura, Δ

F = Factor de corrección para contraflujo y flujo transversal se toma como 1 para ambos casos

La simulación del proceso de intercambio de calor se puede modelar en algún software comercial como HEXTRAN, PRO II o HYSYS, los modelos que aplican

establecen la relación entre los parámetros de condensación. La predicción de las temperaturas de salida y entrada para diferentes flujos emplea las siguientes ecuaciones (Kern, 1999).

$$Q = Ch (Th, i - Th, o)$$
 (4)

$$Q = Cc (Tc, o - Tc, i)$$
 (5)

$$Q = U A (Th, i - Tc, o) - (Th, o - Tc, i) /$$

$$In [(Th, i - Tc, o) / (Th, o - Tc, i)]$$
(6)

Estas tres ecuaciones contienen 3 variables desconocidas, Q, Th, o y Tc, o. El número de variables pueden reducirse a 2 eliminando Q para dar:

$$Ch (Th, i - Th, o) = Cc (Tc, o - Tc, i)$$
(7)

Resolviendo para Tc, o y sustituyendo se obtiene:

In { Th,
$$i - [Tc, i + (Ch / Cc) (Th, i - Th, o)] / (Th, o - Tc, i)} = U A (1 / Ch - 1 / Cc)$$

Permitiendo que UA(1/Ch-1/Cc) = x

Entonces:

[Th, i – Tc, i – (Ch / Cc) (Th, i – Th, o)] /
$$[(Th, o - Tc, i)] = e^{x}$$

Resolviendo para Th, o se tiene,

Th, o = Th, i (Ch / Cc – 1) + Tc, i (1-
$$e^x$$
) / (Ch / Cc – e^x)

Lo que es igual a:

Th, o = [Th, i - (Th, i - Tc, i)] [(1-ex) / (Ch /
$$Cc - e^x$$
)] (9)

La ecuación 9 suministra la temperatura de salida del fluido calientes cuando Th, i y Tc, i son conocidos, la temperatura de salida del fluido frío puede ser calculada empleando la ecuación 7.

5.3.6 Condensadores barométricos. El condensador barométrico (Figura 8) es otra alternativa tecnológica de aplicación en sistemas de vacío, siendo un equipo de alta confiabilidad para condensar el vapor proveniente de los evaporadores de múltiple efecto (industria azucarera) o salida de sistema de eyectores en Refinerías. Es un condensador de contacto directo en el que el agua es rociada como spray y el vapor puede fluir en paralelo o en contracorriente.

Una de las principales ventajas del condensador barométrico es que el agua de inyección se puede descargar a través de una pierna por gravedad, sin requerir una bomba de vacío. Además que en el condensador barométrico no hay piezas móviles, por lo que el costo de mantenimiento es bajo; requiere poco espacio y es fácil de instalar.

En un condensador barométrico a contracorriente, el vapor de escape entra al condensador por la parte inferior se pone en contacto directo con los chorros de agua y se condensa; los chorros de agua alcanzan una velocidad suficiente para

arrastrar el vapor condensado, no siendo así para el aire y otros gases los cuales salen por la parte superior. No se requiere bomba alguna para evacuar el agua, ya que esta fluye por gravedad.

Estos condensadores son apropiados en lugares en los que hay abundante agua fría de buena calidad (arroyos de montaña) o adecuadamente tratada. La condensación puede mejorarse automatizando el agua fría (Aguirre, 2010).

Una desventaja comparativa con los condensadores de superficie radica en que requieren un mayor volumen de agua de enfriamiento y esto puede tener consideraciones importantes no sólo por consumo adicional sino de disposición o tratamiento final del agua utilizada.

Algunos tipos de condensadores se presentan a continuación:

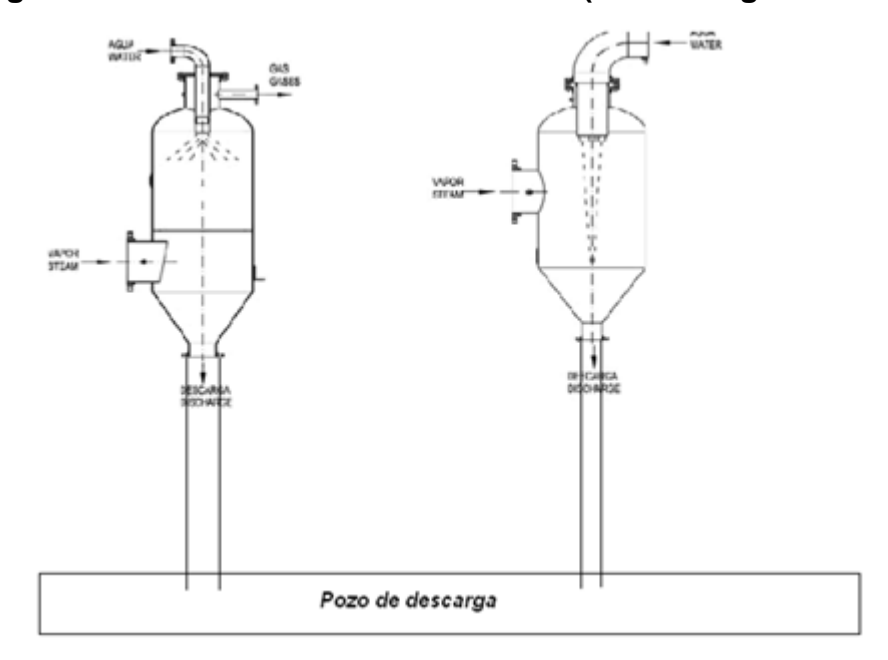


Figura 8. Condensadores barométricos (Fuente: Aguirre 2010)

Los rangos típicos de operación de los condensadores barométricos oscilan de 1 a 30 pulgadas de mercurio (Hg) de vacío, y como ejemplo se puede considerar el

caso de un condensador que opere a 15 pulgadas de mercurio, en éste, el final de la pierna barométrica se encuentra con un líquido de sello en el pozo de descarga o denominado caliente el cual está sometido a la presión atmosférica del lugar (30" HgA), luego, ésta presión empuja el líquido garantizando una altura que equilibre la presión interna (15" HgA~ 17 pies de líquido) de ahí que como criterio de diseño, la altura de la pierna dependerá de las condiciones de vacío requeridas en el proceso (Clark,2012).

5.3.7 Aspectos operacionales y de diagnóstico a considerar en los sistemas de vacío. Se consideran dos aspectos claves que afectan el desempeño de los equipos y para los cuales se tienen reglas o trucos previamente establecidos de diagnóstico o solución.

Estos aspectos claves son:

<u>Factores externos</u> a los equipos y <u>factores internos</u> propios de los eyectores y condensadores de los mismos, los respectivos ensayos y pruebas las debe hacer personal experto en este tipo de sistemas.

5.3.7.1 Factores externos

- Presión y temperatura del vapor a eyectores, condensado o sistema de enfriamiento en el sistema deben revisarse.
- Se debe revisar si los problemas se presentan de manera gradual o son inmediatos.
- Verificación de la historia de mantenimiento reciente o modificaciones realizadas.

Registro de los antecedentes de fallas o problemas similares

Si estas etapas han sido revisadas y si la presión en la etapa final del eyector no es excesiva, el siguiente paso es evaluar aspectos internos que se pueden estar presentando en los eyectores.

5.3.7.2 Factores internos: La evaluación debe hacerse etapa por etapa en cada componente iniciando con el eyector, primero este (de primera etapa) debe ser aislado (bloqueado o cegado) en la succión, con los demás equipos operando (eyectores) esta prueba implicará que el eyector evacuará la cámara de succión a la mínima presión que el eyector puede producir.

Las siguientes son las presiones de cierre (shut-off) aproximadas que deberían esperarse en los demás equipos.

Eyector de etapa simple 50 mm Hg absoluta (A)

Eyector de dos etapas
 4-10 mm Hg (A)

• Eyector de 3 etapas 0,8-1,55 mm Hg (A)

• Eyector de 4 etapas 0,1-0,2 mm Hg (A)

Si la prueba indica que el eyector está operando en su presión aproximada de cierre, entonces se asume que el eyector opera de manera satisfactoria. Adicionalmente si persisten los problemas se debe evaluar el sistema aguas arriba del eyector.

Cuando la presión de cierre no es estable, posiblemente la falla se confine en el eyector por lo cual es recomendable aplicar pruebas hidrostáticas para la determinación de fugas; dependiendo del diseño puede emplearse agua o aire (5 psig), de igual forma se deben hacer pruebas con solución de jabón para evaluar hermeticidad de juntas, válvulas o empaques.

En ocasiones, en los sistemas interiores del eyector como la cámara y el difusor entre otros, se presentan depósitos de suciedad, hidrocarburo o corrosión que le restan eficiencia al equipo; un punto importante es la garganta o reducción del difusor, si por efectos de la erosión u otro aspecto mecánico el diámetro es mayor al 7% del valor original se considera que es momento de remplazar todo el conjunto difusor y boquilla.

5.3.8 Generalidad para especificación de tuberías, bombas y válvulas de control de proceso: En el proceso de diseño y especificación de equipos en planta, necesariamente están involucradas las líneas de conducción de fluidos, el concepto base para la especificación parte de la ley de Bernoulli de balance de energía.

$$Z_1 + \frac{144P_1}{\rho_1} + \frac{V_1^2}{2g} = Z_2 + \frac{144P_2}{\rho_2} + \frac{V_2^2}{2g} + h_1$$
 (10)

Dónde:

 $Z_2 = altura2$

 $Z_1 = altural$

 $P_1 = presión$

 $P_2 = presi\'on2$

 h_l = pérdidas por tubería y accesorios

Los subíndices 1 y 2 corresponden a puntos de referencia en el tramo de tubería.

Las pérdidas por tubería y accesorios son función del caudal, diámetro de la tubería y los coeficientes de resistencia (K) que dependen del tipo de accesorio en los tramos (Codos, válvulas, orificios, reducciones etc.).

$$h_l = 0.00259 \, \frac{KQ^2}{d^4} \tag{11}$$

Donde K es el coeficiente de fricción y algunas expresiones típicas como ejemplo son (CRANE, 1978):

$$K_{codo} = 30 f_t \tag{12}$$

$$K_{orificio} = \frac{1 - \beta^2}{C^2 \beta^4} \tag{13}$$

$$K_{tuberia} = f \frac{L}{D} \tag{14}$$

$$K_{valvula\ gate} = 8f_t \tag{15}$$

$$K_{cheque} = 50 f_t \tag{16}$$

$$K_{total} = K_{codo} + K_{orificio} + K_{tuberia} + K_{valvula} + K_{cheque} + K_{"T"}$$
(17)

Para la estimación del sistema de suministro de energía (bomba), se parte del mismo principio energético (Bernoulli) empleándose la siguiente expresión que representa la potencia requerida de la maquina a instalar:

$$bhp = \frac{QH\rho}{247000 \, e_p} \tag{18}$$

Dónde:

$$Q = caudal(gpm)$$

$$H = Cabeza(ft)$$

$$\rho = Densidad(Lb/Cuft)$$

$$e_p = Eficiencia$$

En la especificación de válvulas de control la ecuación base es la siguiente:

$$C_{v} = q \sqrt{\frac{G_{f}}{\Lambda P}} \tag{19}$$

 $C_v = coeficiente de flujo de la válvula (Flujo Subcrítico)$

 $q = fujo \, liquidoen \, gpmU.S$

 $G_{f} = gravedad específica del agua$

 $\Delta P = caidade \ presi\'on P_1 - P_2, \ psi$

 $P_1 = presi\'onagua sarriba, psig$

 $P_2 = presi\'onaguasabajo, psig$

La anterior ecuación aplica para una condición de flujo subcrítico, es decir una condición en la cual no se alcanza velocidades del sonido en los internos de la válvula y no hay vaporización. Lo anterior se verifica con la siguiente expresión:

$$\Delta P < C_f^2 \Delta P_s \tag{20}$$

$$\Delta P_s = P_1 - (0.96 - 0.28 \sqrt{\frac{P_v}{P_c}}) P_v \tag{21}$$

Por simplicidad si
$$P_{\nu} < 0.5P_1$$
, $\Delta P_s = P_1 - P_{\nu}$ (22)

Una aproximación de las anteriores relaciones se utiliza para la especificación de la línea de direccionamiento seguro de los gases no condensables provenientes del sistema de vacío.

5.4 EMISIONES DE GASES EFECTO INVERNADERO (GEI)-HUELLA DE CARBONO

El concepto de huella de carbono de una organización se utiliza en varios contextos. El concepto de organización engloba organizaciones privadas, entidades de la administración pública y organizaciones sin ánimo de lucro, entre otras. En general, huella de carbono de una organización es un término que quiere describir el impacto total que una organización tiene sobre el clima a raíz de la emisión de GEI a la atmósfera. Con el objetivo de cuantificar dicha huella, debe aplicarse un determinado protocolo de estimación y contabilidad de emisiones de GEI (ICONTEC, 2010).

Una de las metodologías para la cuantificación de emisiones de GEI es la norma ISO 14064, parte 1. Esta norma fue desarrollada de acuerdo con el protocolo Greenhouse Gas Protocol (GHG Protocol). El GHG Protocol, del World Resources Institute y el World Business Council for Sustainable Development, es uno de los protocolos más utilizados a escala internacional para entender, cuantificar y gestionar las emisiones de GEI. Ambos documentos constituyen las referencias más importantes en esta materia.

La huella de carbono también se aplica para estimar el impacto en emisiones de gases de efecto invernadero para actividades determinadas, como puede ser una acción de tipo humano. Así mismo, el término huella de carbono también aplica a la manufactura de productos, en este caso las metodología puede ser complementada con un análisis de ciclo de vida.

5.4.1 Categoría de emisiones en organizaciones. Las emisiones de GEI asociadas a una actividad se pueden clasificarse en emisiones directas o emisiones indirectas.

- Las emisiones directas son emisiones de fuentes que posee o controla el sujeto que genera la actividad.
- Las emisiones indirectas son emisiones que son consecuencia de las actividades que realiza el sujeto, pero que tienen lugar en fuentes que posee o controla otro sujeto.

En concreto, se pueden definir tres alcances según las emisiones a las que nos referimos:

1. Alcance 1: Emisiones directas

Incluye las emisiones directas que proceden de fuentes que posee o controla el sujeto que genera la actividad. Por ejemplo, este grupo incluye las emisiones de la combustión de calderas y de vehículos, etc. que el propio sujeto posee o controla.

1. Alcance 2: Emisiones indirectas de la generación de electricidad y de calor

Comprende las emisiones derivadas del consumo de electricidad y de calor, vapor o frío. Las emisiones de la electricidad y el calor, vapor o frío adquiridos se producen físicamente en la instalación donde la electricidad o el calor son generados. Estas instalaciones productoras son diferentes de la organización de la cual se estiman las emisiones.

2. Alcance 3: Otras emisiones indirectas

Incluye el resto de emisiones indirectas. Las emisiones de alcance 3 son consecuencia de las actividades del sujeto, pero provienen de fuentes que no son poseídas o controladas por el sujeto. Algunos ejemplos de actividades de alcance

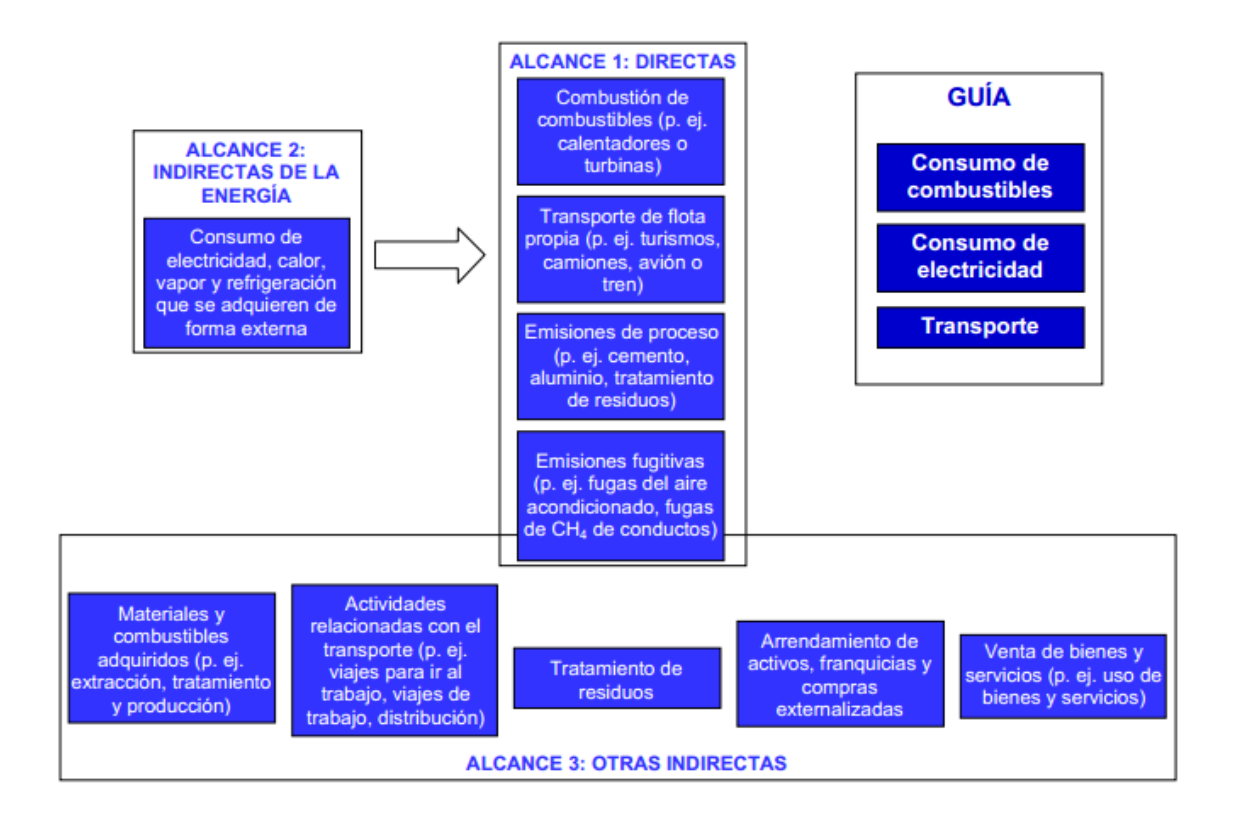
3 son la extracción y producción de materiales adquiridos, los viajes de trabajo, el transporte de materias primas, de combustibles y de productos (por ejemplo, actividades logísticas) o la utilización de productos o servicios ofrecidos por otros.

La Figura 9 representa de forma esquemática qué emisiones incluyen los tres alcances de tipos de emisiones de GEI, y cuáles son las emisiones que pueden calcularse típicamente.

Las emisiones de alcance 1 incluyen las emisiones derivadas de la combustión de combustibles, el transporte de flota propia y otras emisiones como las emisiones de proceso (por ejemplo, las emisiones de CO2 producidas en el proceso de descarbonatación del carbonato de calcio para la producción de Clinker en una cementera) y las emisiones fugitivas (por ejemplo, las emisiones de gases con flúor procedentes de posibles escapes de los equipos de refrigeración).

Respecto al transporte con flota propia, se incluyen las emisiones de la flota que es propiedad de la organización que realiza el cálculo, y se recomienda incluir las emisiones de la flota no propia pero de las que la organización tiene el control de la gestión, y, por lo tanto, puede incidir en la reducción de sus emisiones.

Figura 9. Clasificación de las emisiones GEI



Las emisiones del alcance 2, incluyen las emisiones derivadas del consumo eléctrico y las del consumo de calor, vapor y refrigeración que se adquieren externamente.

Las emisiones del alcance 3, incluyen el resto de emisiones indirectas, como pueden ser las emisiones derivadas de la adquisición de materiales y combustibles, el tratamiento de residuos, las compras externalizadas, la venta de bienes y servicios y las actividades relacionadas con el transporte. Respecto al transporte, incluye las emisiones de los viajes externos referentes a los viajes comerciales, las operaciones de distribución y los desplazamientos programados. Se entiende que son viajes externos porque se realizan en una flota que no es propia. Adicionalmente, se recomienda excluir las emisiones del transporte de la

flota no propia de la que se tiene el control de la gestión, que serían consideradas emisiones del alcance 1.

5.4.2 Cálculo de la huella de carbono. En este cálculo se tienen que **tener en cuenta las emisiones totales de gases de efecto invernadero del producto o servicio durante su ciclo de vida**, es decir, tanto las emisiones que se produzcan a la atmósfera como las absorciones que se produzcan de la misma (OSE, 2011).

Para asegurarnos de que se va a realizar el cálculo correctamente, debemos asegurarnos de que se han cuantificado todos los materiales que entran y salen del proceso. Para ello, uno de los métodos más frecuentes es el conocido como "balance de masas", el cual consiste en verificar que la masa total que sale de un proceso debe ser igual a la masa total que ha entrado en el mismo. Así mismo, si existen discordancias, se pone de manifiesto que existen flujos ocultos que no han sido considerados.

Una vez verificado que tenemos bien definido el sistema a estudio y que se han considerado todas las entradas y salidas al mismo, se procedería al cálculo de la huella de carbono. La secuencia lógica para su cálculo sería la siguiente:

- 1) Convertir los datos primarios y secundarios a emisiones de GEI. Para ello existen 2 alternativas:
- a) Multiplicar los datos de actividad por el factor de emisión asociado a esa actividad (se usa normalmente cuando existe un proceso de transformación química y/o emisiones indirectas cuando se consume energía eléctrica), siendo:

- Dato de actividad: medida cuantitativa de la actividad que produce una emisión (por ejemplo: km, Kw/h, etc.).
- Factor de emisión: GEI emitidos en relación a una unidad de actividad, expresado como CO2 equivalente (por ejemplo, Kg de CO2 equivalente por unidad de entrada). Los factores de emisión han ido cambiando a lo largo de los años. Por ello hay que asegurarse de utilizar los más actualizados que provengan de fuentes y bases de datos de calidad contrastada, como por ejemplo el IPCC (Intergovernmental Panel of Climate Change).
- b) Si se dispone de las emisiones pero en unidades distintas a toneladas de CO2 equivalente, se multiplica el dato de actividad (el valor de las emisiones) por su factor de potencial de calentamiento global.
- Dato de actividad: medida cuantitativa de la emisión producida (por ejemplo t de CH4 o de gas refrigerante R22).
- Potencial de calentamiento global: factor que describe el impacto de un GEI dado durante un período de tiempo dado, expresado como CO2 equivalente.
 Por ejemplo, el PCG del CO2 a 100 años (según la IPPC) es 1, mientras que el del CH4 es 25 y el del N2O es 298).
- 2) **Sumar las emisiones** de CO2 equivalente que se generan en el ciclo de vida del producto o servicio (teniendo en cuenta el impacto del almacenamiento/captación de carbono si lo hubiere), para determinar las emisiones netas (HdC total) de CO2 equivalente por **unidad funcional**.

La unidad funcional se define como el desempeño cuantificado de un sistema del producto para su uso como unidad de referencia.

Así se puede resumir el cálculo de la huella de carbono en la ecuación descrita en la Figura 10.

Figura 10. Ecuación para el cálculo de carbono

Huella de Carbono

=
Datos de Actividad (En Uds. de masa/volumen/energía/distanda recorrida) x Factor de Emisión (CO2 equivalente x Ud.)

Huella de Carbono

=
Datos de Actividad (Emisiones en Uds. Distintas a CO2 equivalente) x Potencial de Calentamiento Global (CO2 equivalente x Ud.)

Huella de Carbono

Total Huella de Carbono

+ Huella de Carbono

+ Huella de Carbono

Total Huella de Carbono

+ Huella de Carbono

En consecuencia, se puede decir que la principal dificultad del cálculo de la huella de carbono reside en establecer el mapa de procesos, la identificación de sus entradas y salidas y en la obtención de los datos, más que en los cálculos propiamente dichos.

5.5 ANÁLISIS DE CICLO DE VIDA

El Análisis de Ciclo de Vida (ACV) es una metodología que permite medir el **impacto ambiental** de un producto, proceso o sistema a lo largo de todo su ciclo de vida. A través de la aplicación de esta metodología se recopilan y evalúan las entradas y salidas del sistema para determinar sus impactos ambientales, con el objetivo de establecer estrategias para la prevenirlos y/o minimizarlos. En este sentido se consideran:

$\hfill\Box$ Entradas: los recursos, materias primas, consumos de energía, etc. que se
necesitan en cada proceso/fase del sistema.
$\hfill \square$ Salidas: las emisiones al medio ambiente (al aire, al agua y al suelo), los
residuos y los subproductos que se generan en cada proceso/fase del sistema.
La fase del ACV que implica la recopilación y cuantificación de entradas/salidas de
un sistema durante su ciclo de vida se denomina Inventario de ciclo de vida
(ICV). La metodología de ACV tiene un enfoque holístico, es decir, trata de incluir
todas las entradas/salidas que intervienen a lo largo de su ciclo de vida. Sin
embargo, existen distintos enfoques en función de las etapas consideradas del
ciclo de vida:
□ "de la cuna a la tumba": se considera en el estudio desde que se obtienen las
materias primas hasta su fin de vida (incluyendo el transporte, almacenaje,
distribución y demás actividades que tienen la relevancia).
□ "de la cuna a la puerta": el estudio del sistema se limita a las etapas
comprendidas entre la obtención de las materias primas hasta que el producto se
pone en el marcado (a la salida de la planta de fabricación).
□ "de la puerta a la puerta": solo se tienen en cuenta las entradas/salidas del
sistema productivo (procesos de fabricación).
□ "de la cuna a la cuna": se considera en el estudio que las corrientes de salida al
final de la vida del sistema pueden ser consideradas como materias primas y/o
entradas al mismo sistema o a otro.
chiladas al miorio distoria o a stro.
El análisis y evaluación del total de entradas y salidas que permite establecer los
efectos medioambientales relacionados con el sistema objeto de estudio se
denomina Evaluación del Impacto de Ciclo de Vida (EICV). Cuando se va a

realizar la EICV se tienen en cuenta una serie de categorías de impacto ambiental que representan los impactos ambientales de interés a los cuales se quieren asignar y referir los resultados. Existen distintas categorías de impacto ambiental, pudiendo destacar:

□ Calentamiento global
□ Consumo de recursos energéticos
□ Reducción de la capa de ozono
□ Eutrofización
□ Acidificación
□ Consumo de materias primas
□ Formación de oxidantes fotoquímicos
Actualmente existen dos normas ISO aplicables al análisis de ciclo de vida:
□ ISO 14040: Gestión ambiental. Análisis del ciclo de vida: Principios y marco de
referencia.
□ ISO 14044: Gestión ambiental. Análisis del ciclo de vida: Requisitos y

La huella de carbono puede considerarse como una versión simplificada del ACV en el que, en lugar de considerar varias categorías de impacto ambiental al mismo tiempo, se considera únicamente la relativa a **Calentamiento Global**.

directrices.

Por tanto, podemos decir que la huella de carbono se refiere a las emisiones de **gases de efecto invernadero** (GEI) generadas por un producto/sistema a lo largo de su ciclo de vida. Entre los gases de efecto invernadero se incluyen el dióxido de carbono (CO2), metano (CH4) y óxido nitroso (N2O), así como otras familias de gases que incluyen los hidroflurocarbonos (HFCs) y los perfluorocarbonos (PFCs).

En la actualidad existen dos estándares destacados para el cálculo de la huella de carbono.

PAS 2050: 2011 Specification for the assessment of the life cycle greenhouse gas emissions of goods and services, desarrollada por el British Standards Institution, y el GHG Protocol Product Accounting and Reporting Standard, desarrollado por el World Resources Institute y el World Business Council for Sustainable Development. Ambos estándares están basados en las metodologías existentes de análisis de ciclo de vida establecidas en la norma ISO 14040 e ISO 14044 e incluyen principios específicos para la evaluación de las emisiones de gases de efecto invernadero en el ciclo de vida de bienes y servicios.

Así mismo es necesario mencionar que actualmente se encuentra en desarrollo la futura norma ISO 14067: Carbon footprint of products - Requirements and guidelines for quantification and communication, publicación estimada para el 2014.

6. METODOLOGÍA

En el desarrollo del presente trabajo se requiere la determinación de las corrientes asociadas o generadas por el sistema de vacío instalado, no sólo como una base para la especificación conceptual de la nueva propuesta, sino desde el punto de vista de la determinación de las características y eventuales impactos que las corrientes o el sistema podrían inducir sobre el entorno. El principal inconveniente observado en visitas de campo radica en que no es posible cuantificar o caracterizar el sistema por tres aspectos fundamentales:

- 1- La no disponibilidad de instrumentación en el sistema (medición de flujo) para emisiones al aire y vertimiento de agua (por ser un sistema de vacío que no tiene la disponibilidad hidráulica o diferencial de presión para este tipo de accesorios).
- 2- No disponibilidad de toma muestras y accesibilidad (caso venteo de nocondensables, línea de 2" a más de 15 metros de altura) para tomar muestras.
- 3- La presencia de vapores agrios (H2S-NH3) para el caso del vertimiento líquido genera una actividad de alto riesgo que no es fácil de asumir, sin protección y entrenamiento especializado.

Los anteriores aspectos son condicionantes para precisar o cuantificar con certeza los niveles de emisión o vertimiento líquido. Otra opción que se plantea en el momento es la utilización de valores estimados por diseño original para el balance de masa a la unidad, si bien es cierto, estos valores podrían ser tomados como una base de trabajo comparativa, se considera que la planta (confiabilidad) y las características de cargas y productos han cambiado notablemente en los últimos

40 años no solo para la unidad en particular sino para la refinería en general, contaminantes como azufre, metales y nitrógeno impactan el proceso, motivo por el cual es fundamental estimar las corrientes en base a una condición promedia reciente o una esperada para los próximos años.

La herramienta que se emplea para estimar las corrientes en mención es el simulador de procesos HYSYS versión 7.3, herramienta licenciada por ASPEN TECHNOLOGY la cual permitirá dar un mayor grado de exactitud al trabajo, anotando el hecho de que éstas son herramientas de uso común para licenciadores y firmas especializadas de diseño actualmente.

A continuación, se presenta el desarrollo del cálculo de gas y líquido vertido por el sistema de vacío, partiendo de un balance de masa global sobre el proceso con el soporte del simulador HYSYS.

7. RESULTADOS DEL TRABAJO DE APLICACIÓN

7.1 CARACTERIZACIÓN (FLUJOS Y CALIDADES) DE LOS EFLUENTES DEL SISTEMA DE VACÍO ACTUAL (LÍQUIDO-GAS).

7.1.1 Estimación de los gases de cima T-1101A de la U-1100 (Parafínicas). Dentro del marco conceptual de la propuesta técnica a seleccionar, es de vital importancia considerar el impacto que la operación del mismo puede tener en el medio ambiente y las personas, esto contribuye a definir alternativas que permitan operar y minimizar los posibles impactos que se generen.

En principio, la alternativa de mejora en los sistemas de vacío de las unidades de tratamiento con hidrógeno plantearán el cambio de condensadores barométricos por condensadores de superficie en diferentes arreglos, los gases no condensables mostrados en la Figura 2 son actualmente venteados a la atmósfera (estos gases contienen H2S) aunque originalmente se destinaban al H-1001 (calentador de ALC interno), dentro de la propuesta conceptual para el cambio de los sistemas de vacío, resulta necesario conocer la cantidad de H2S para evaluar la disposición que requiere esta corriente.

En un principio se planteó la opción de tomar una muestra de estos gases de desfogue, pero esta descarga se realiza a por lo menos 15 metros de altura y no se cuenta con facilidades de muestreo de ningún tipo; al no poder tener una medida puntual de esta corriente, la mejor opción disponible es la estimación de esta corriente mediante simulación. Esta simulación se llevó a cabo en el software Aspen HYSYS versión 7.3, este programa es ampliamente reconocido y aplicado en la simulación de procesos de refinación (Anexo de proceso 14).

El proceso de simulación cuenta con soporte y desarrollo de la empresa CTP (Cooperativa de Trabajadores Profesionales Ltda).

Las líneas punteadas de color rojo en la Figura 1, enmarcan el sistema de vacío que comparten los gases de cima de las torres despojadoras (T-1101 A y T-1111 A) de las unidades identificadas como U-1100 y U-1110; una de las consideraciones más importantes es que son las unidades de destilados Parafínicos y Nafténicos las que aportan el azufre como H2S que finalmente sale en los gases no condensable, dejando al sistema de vacío de la unidad de tratamiento de ceras con hidrógeno U-1120, fuera de la estimación debido a que el aporte de azufre se puede considerar despreciable.

A continuación se presentan las consideraciones para llevar a cabo la estimación del contenido de H2S en los gases del sistema de vacío:

- Los datos de flujo y temperatura para los gases de proceso son dados por la información de diseño del sistema actual, que serán la base del nuevo sistema de vacío propuesto.
- 2. Para la simulación de los condensadores de superficie, se utilizó la información de los datasheet, dados en la propuesta técnica de la Ingeniería conceptual.
- 3. Al no tener datos de composición de los gases de cima fue necesario revisar todo el proceso de las unidades para obtener una estimación de la cantidad de H2S en esta corriente, por lo cual, con los datos de balance másico de la unidad, contenido de azufre de la carga y productos se simuló las etapas de separación de las unidades U-1100 y U-1110.
- 4. Como información soporte se contó con los siguientes documentos: balances másicos de las Unidades para los meses de enero a octubre de 2012

(descargados de RIS), caracterización de cargas y productos (incluye curvas de destilación, porcentaje de azufre, densidad, viscosidad, entre otras) realizada por el laboratorio del centro de investigación de la compañía, muestras en CDLAB para cargas y productos con el contenido de azufre de las mismas.

7.1.1.1 Procedimiento empleado. En esta sección se expondrá paso a paso como se realizó la estimación, los datos de entrada y la fuente de los mismos y las consideraciones realizadas; esto se realizará para la unidad U-1100 y se mostrará en forma simplificada para el caso de la U-1110, haciendo énfasis en las diferencias con respecto a la primera unidad expuesta.

ESTIMACIÓN GASES DE CIMA T-1101A DE LA U-1100 (Parafínicas)

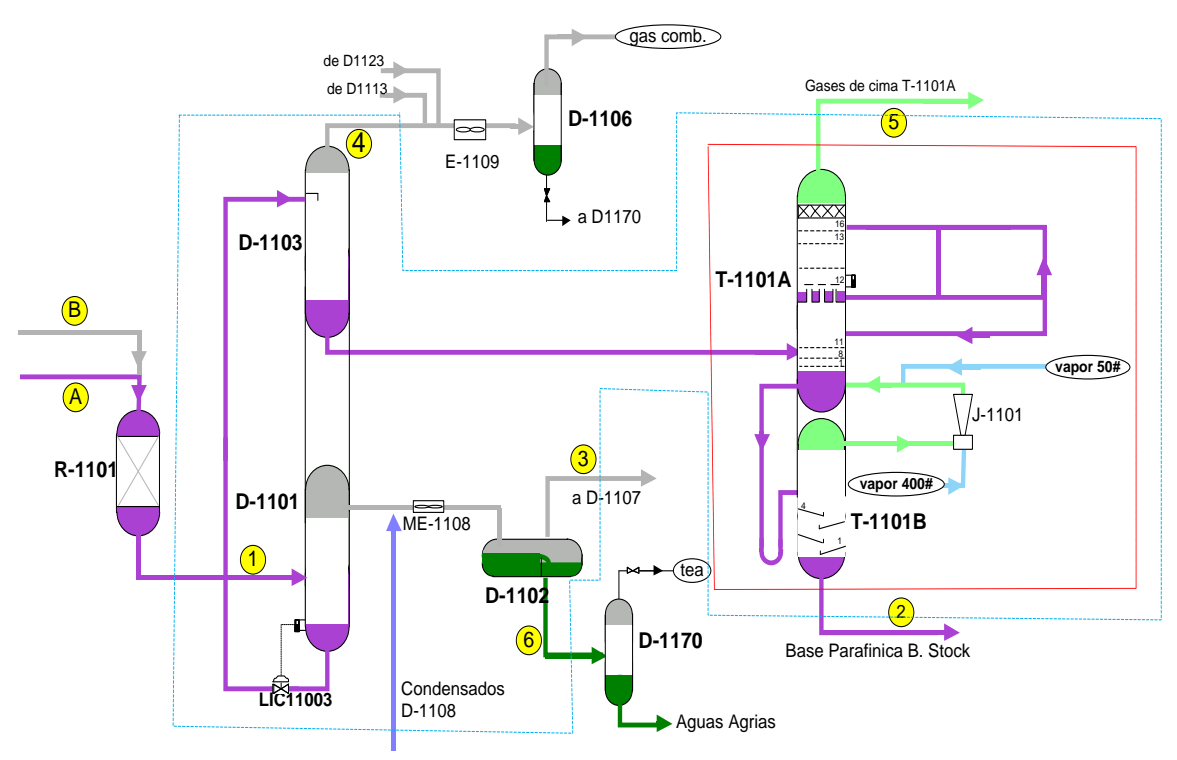


Figura 11. Diagrama simplificado U-1100 (B. Parafínicas)

En la Figura 11, se muestra un diagrama simplificado de la Unidad de tratamiento de aceite parafínico con hidrógeno U-1100, las líneas punteadas de color azul enmarcan el sistema de estudio que se seleccionó para determinar el H2S presente en los gases de cima de la T-1101A, como se puede observar se toma el sistema después del reactor R-1101, esto teniendo en cuenta la información disponible de balances y caracterizaciones de cargas y producto de las unidades de tratamiento con hidrógeno. En la tabla 1 se presenta una descripción de las corrientes señaladas en la Figura 11.

Tabla 1. Identificación de corrientes U- 1100

CORRIENTES	DESCRIPCIÓN
Α	Aceite desparafinado fenolizado a R-
В	Gas de reciclo al R-1101
1	Entrada a D-1101
2	Base Parafínica Bright Stock
3	Gas de reciclo al D-1107
4	Gases de cima D-1103
5	Gases de cima T-1101A
6	Condensados del D-1102 a tambor de
6	aguas agrias.

En la Figura 12, se presenta el diagrama de la simulación en HYSYS de una parte del proceso de la U-1100, donde al igual que en la Figura 11 se identifican con letras y números las corrientes más importantes consideradas en el desarrollo de la estimación.

D-1103

D-1106

Cond. a
D-1170

D-1101

D-1108

D-1101

D-1102

Figura 12. Simulación en HYSYS U-1100

Tabla 2. Corrientes adicionales simulación U-1100

CORRIENTES	DESCRIPCIÓN
С	Mezcla de las corrientes D, E y F (aproximación del
	resultado de la reacción de A)
D	Corriente de HC livianos (C1-C7) a la salida del R-1101.
E	H₂S formado en el R-1101.
F	Base Parafínica a la salida del R-1101.

7.1.1.2 Datos de entrada a la simulación U-1100

Balances Másicos

En la Tabla 3, se presenta la información para obtener el balance másico de la U-1100 reportados en RIS, el cual es un sistema de información de cargas y producciones de la Refinería, y la correspondencia con la identificación de corrientes establecida en el diagrama de procesos de la Figura 11. Los datos que se utilizaron en la simulación corresponden a los dados para las corrientes B, A y 2.

Tabla 3. Balance Másico U-1100- reportado en RIS

TIPO	DESCRIPCIÓN	IDENTIFICACIÓN CORRIENTES EN U-1100
CARGAS	U-1100:(FR-11005) GAS DE RECICLO A R-1101	В
CARGAS	U-1100:(FRC-11001) ACEITES DESPARAF. FENOLIZADO A H- 1101	A
PRODUCTO	U-1100:(FR-11001) ACEITE/BASE PARAFINICO HIDROG. DE T- 1101B	2
GASES	U-1100:(FCAL-1100-03) GAS DE CIMA DE D-1103	3
INTERMEDIOS	U-1100:(FCAL-1100-02) GAS DE RECICLO DE D-1102	4

Caracterización de cargas y productos

Como información de carga y producto a la unidad se contó con las curvas de destilación tanto de la carga como del producto; sin embargo, en la simulación del proceso solo se utilizaron los datos dados para el producto (el sistema de estudio es después del reactor); los resultados de laboratorio para carga y productos son muestras representativas del periodo de estudio.

En la Tabla 4, se presentan los datos de destilación simulada (ASTM D-7169) para base parafínica Bright Stock, y en la Tabla 5 se presenta información adicional de características del producto que también se utilizó en la simulación. Estos datos corresponden a análisis realizados por el laboratorio del Instituto Colombiano del Petróleo (ICP).

Tabla 4. Curva de destilación Base Parafínica B.Stock Nov 2008

%PESO	Temperatura
/0FE3U	(°F)
IBP	379,6
5 %	437,4
10%	458,4
20 %	492,8
30 %	521,9
40 %	546,7
50 %	567,6
60 %	586
70 %	605,2
80 %	628,4
90%	664,9
95%	701
% REC(Off)	96,6

Tabla 5. Características Base Parafínica B.Stock Nov 2008

DENSIDAD A 15°C ASTM D 4052	g/ml	0,8942
VISCOSIDAD CINEMÁTICA 100°C D 445	mm2/s	26,76
VISCOSIDAD CINEMÁTICA 40°C D 445	mm2/s	458
AZUFRE D 4294	% Peso	0,117

Fuente Tabla 4 y 5: Archivos Excel Caracterización Rafinatos/Seguimiento de bases Lubricantes, Muestras Laboratorio ICP

Porcentaje de Azufre carga (A) y producto (2)

En la caracterización realizada por el laboratorio del ICP, se reporta para la carga y producto (base Parafínica B. Stock), el porcentaje de azufre.

Tabla 6. Porcentaje de azufre en carga(A) y en corriente (2)

AZUFRE EN CORRIENTE A (SEP 2008)	% Peso	0,293
AZUFRE EN CORRIENTE 2(NOV 2008)	% Peso	0,117

Fuente Tabla 6: Archivos Excel Caracterización Rafinatos/Seguimiento de bases Lubricantes, Muestras Laboratorio ICP

Cromatografía Gas de Reciclo a la U-1100

Como composición para el gas de reciclo de entrada a la U-1100 (corriente B), se utilizó la cromatografía de la muestra del D-1107, tambor de gas de reciclo. Para las Unidades U-1100 y U-1110, como se explicó en la Tabla 1, donde se exponen los sistemas comunes, la restitución de hidrógeno que correspondería a la corriente proveniente de la U-1120 debe mantener una composición a la entrada de las unidades en 92%, al no tener una muestra del hidrógeno que entra en las unidades se asumió esta igual a la dada en la Tabla 7.

Tabla 7. Cromatografía Gas de reciclo D- 1107, Muestra CDLAB 18/01/2012

COMPONENTE	%MOL	
HIDRÓGENO	92,920845	
NITRÓGENO	0,571425	
METANO	5,161475	
ETANO	0,023765	
ETILENO	0,005202	
PROPANO	0,017114	
PROPILENO	0,0027	
ISO-BUTANO	0,003286	
N-BUTANO	0,009697	
ISO-PENTANO	O 0,031373	
H2S	1,253118	

CDLAB es el sistema de información de resultados analíticos de la Refinería

Condiciones de operación de los Tambores U-1100

Las condiciones de presión y temperatura de los tambores de separación de la U-1100 se presentan en la Tabla 8, estos datos fueron tomados del manual de operaciones y datos de diseño de las unidades de tratamiento con hidrógeno.

Tabla 8. Condiciones de operación Tambor U-1100

	CONDICIONES DE	
TAMBORES U-1100	OPERACIÓN	
	Temperatura Presión	Presión
	(°F)	(psig)
Separador de Alta presión D-1101	450-480	1500
Separador de baja temperatura D-1102	135-180	1400
Separador de Baja presión D-1103	430-450	50-70

Paquete termodinámico

En la simulación tanto del proceso de la U-1100 y la U-1110, se utilizó como paquete termodinámico, la ecuación de estado de Peng Robinson, que se encuentra en la base de datos del programa; este paquete se utiliza ampliamente para el trabajo en simulaciones en la industria del petróleo, gas y aplicaciones petroquímicas.

Desarrollo de la simulación

En la simulación en HYSYS del proceso de la U-1100 mostrado en la Figura 11, se toma el sistema de estudio desde la entrada al tambor de alta presión D-1101 (corriente 1), procedente de la salida del reactor.

En base a la información que se tiene, se determinaron corrientes adicionales (especificadas en la tabla 3) y se realizaron algunas consideraciones para formar la corriente de entrada al D-1101. La composición de esta corriente, se presentan más adelante.

Por balance de masa la corriente 1, está dada por la ecuación:

Flujo Corriente 1 = Flujo Corriente A + Flujo Corriente B

Donde A y B son los flujos másicos de las cargas al reactor, (B) H₂ de reciclo y (A) aceite desparafinado Bright Stock.

Aunque la masa de entrada al reactor (corrientes A y B) es igual a la masa de la salida (corriente 1), la distribución de componentes en esta corriente cambia y para formarla se tienen las siguientes corrientes:

La corriente de B, corresponde al flujo del hidrógeno de reciclo que ingresa al reactor, y la corriente A; equivalente en masa a una nueva corriente C, con una nueva distribución de productos (resultado de la reacción química en el reactor).

La corriente C, en flujo másico se expresa con la siguiente ecuación:

Flujo Corriente C = Flujo Corriente D + Flujo Corriente E + Flujo Corriente F

Donde E es el flujo de entrada de H₂S al D-1101, que corresponde al H₂S formado en el R-1101. Al tener el contenido de azufre de la carga y el producto, se puede determinar la cantidad de azufre que se convirtió en H₂S, considerando que el azufre del producto (corriente 2) corresponde a la cantidad de azufre que no reacciona y queda dentro de las moléculas de los componentes de la base parafínica; de esta forma, se tiene la siguiente expresión para determinar el flujo másico de E:

Flujo Corriente
$$E = \frac{\%S \ corriente \ A}{100} * F. Corriente \ A - \frac{\%S \ Corriente \ 2}{100} * F. Corriente \ 2} * \frac{PM_{H2S}}{PM_S}$$

El caso más crítico corresponde a los porcentajes de azufre de 0,293 y 0,117 para la carga y producto respectivamente presentados en la Tabla 7, que representan la mayor diferencia entre la carga y el producto (lo que se traduce en la mayor generación de H_2S).

Por otra parte, la corriente denominada F, corresponde a la base parafínica formada en el reactor, por lo cual, para esta corriente se utiliza la curva de destilación del producto (corriente 2), esta corriente en la simulación se ajusta para obtener en la corriente de producto el correspondiente flujo másico dado en los balances de la unidad reportados en RIS.

La corriente D, que corresponde a los livianos que se pudieron formar en el reactor, el flujo másico se calcula como:

Flujo Corriente D = Flujo Corriente A - Flujo Corriente E - Flujo Corriente F

7.1.2. Estimación Gases De Cima T-1111a De La U-1110 (B.NaftÉnicas)

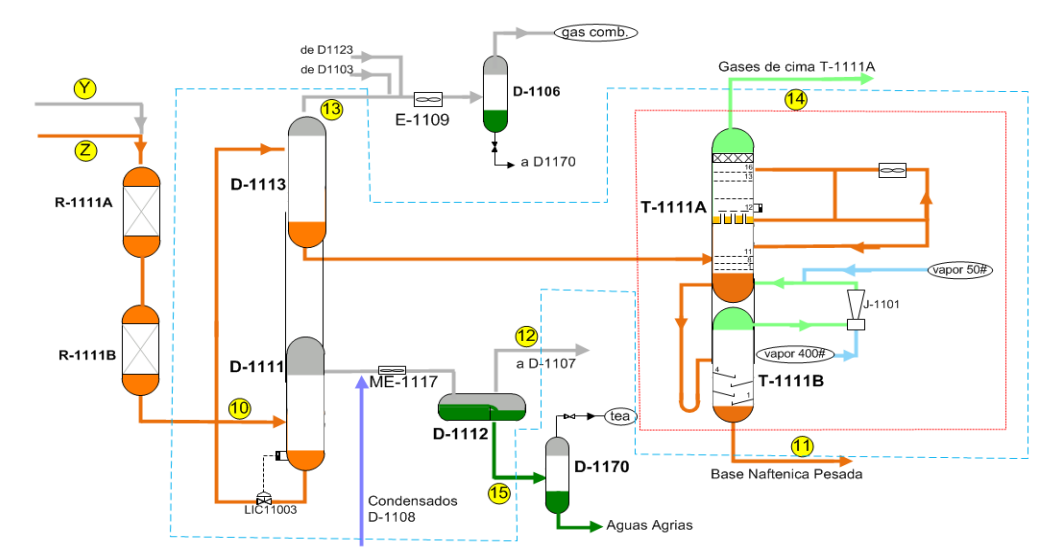


Figura 13. Diagrama simplificado U-1110

Fuente: Realizado en base al Diagrama general de control DGC U-1110 de la Refinería

En la Figura 13, se muestra un diagrama simplificado de la Unidad de tratamiento de aceite Nafténico con hidrógeno U-1110, las líneas punteadas de color azul enmarcan el sistema de estudio que se seleccionó para determinar el H₂S presente en los gases de cima de la T-1111A; como se puede observar se toma el sistema después de los reactores R-1111A/B, esto teniendo en cuenta la información disponible de balances y caracterizaciones de cargas y producto de las unidades de tratamiento con hidrógeno. En la Figura 14, se presenta el diagrama de la simulación en HYSYS de parte del proceso de la U-1110, donde al igual que en la figura 6, se identifican con letras y números las corrientes más importantes consideradas en el desarrollo de la estimación.

En la Tabla 9 se presenta una descripción de las corrientes señaladas en la Figura 13.

Tabla 9. Identificación de corrientes U- 1100

CORRIENTES	DESCRIPCIÓN
Y	Gas de reciclo al R-1111
Z	Destilados Nafténicos a R-1111
10	Entrada a D-1111
11	Base Nafténica Pesada
12	Gas de reciclo al D-1107
13	Gases de cima D-1113
14	Gases de cima T-1111A
15	Condensados del D-1112 a tambor de aguas agrias

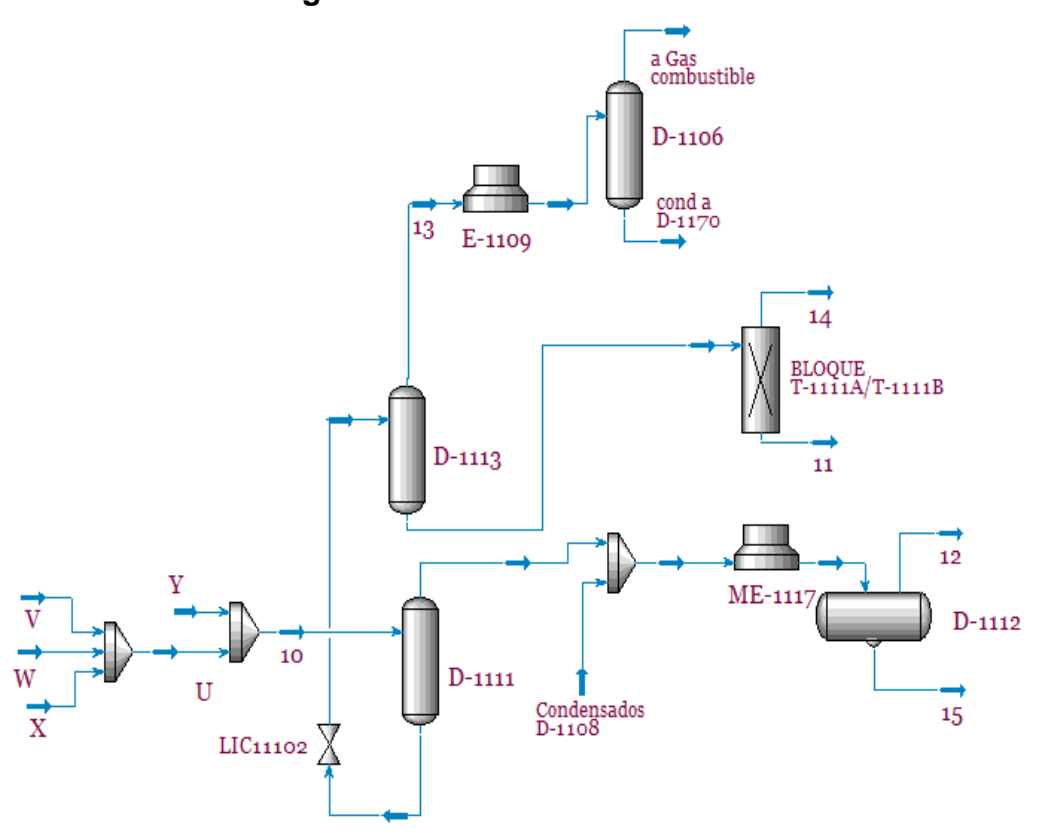


Figura 14. Simulación en HYSYS U-1110

Adicionalmente en la simulación se definieron otras corrientes que permiten construir la corriente de entrada al D-1111, identificada con el número 10, esto se muestra en la Tabla 10.

Tabla 10. Corrientes adicionales simulación U-1100

CORRIENTES	DESCRIPCIÓN
U	Mezcla de las corrientes V,W y X
V	corriente de HC C1-C7 a la salida del R-
W	H2S formado en los reactores R-1111A/B
X	base Nafténica a la salida del R-1111B

Datos de entrada a la simulación U-1110

Balances Másicos

En la Tabla 11, se presenta los datos de balance másico para la U-1110 reportados en RIS, y la correspondencia con la identificación de corrientes establecida en el diagrama de procesos de la Figura 13. Los datos que se utilizaron en la simulación corresponden a los dados para las corrientes Y, Z y 11.

Tabla 11. Balance Másico U-1110, reportado en RIS

TIPO	DESCRIPCIÓN	IDENTIFICACIÓN CORRIENTES EN U-1100
	U-1110: (FR-11004) GAS DE RECICLO A R-1111	Υ
CARGAS	U-1110: (FRC-11101) DESTILADOS NAFTÉNICOS A H-1111	Z
PRODUCTO	U-1110: (FR-11102) ACEITE/BASE NAFT. HIDROG. DE T-1111B	11
GASES	U-1110: (FCAL-1110-03) GAS DE CIMA DE D-1113	13
INTERMEDIOS	U-1110: (FCAL-1110-02) GAS DE RECICLO DE D- 1112	15

Caracterización de cargas y productos

Como información de carga y producto a la unidad se contó con las curvas de destilación de la carga y producto, en la simulación del proceso solo se utilizaron los datos dados para el producto. Los datos de muestra entre cargas y productos no corresponden al mismo día; en la Tabla 12 se presenta los datos de destilación simulada (ASTM D-6352) para base Nafténica pesada, y en la Tabla 13 se presenta información adicional de características del producto que también se utiliza en la simulación. Estos datos corresponden a análisis realizados por el laboratorio del Instituto Colombiano del Petróleo (ICP).

Tabla 12. Curva de destilación Base Nafténica pesada Mayo 2008

%w/w	Temperatura
70W/W	(°F)
IBP	352
5 %	416,5
10%	440,2
20 %	466,7
30 %	481,1
40 %	492
50 %	501,1
60 %	510,2
70 %	520,6
80 %	533
90 %	549,6
95 %	563,3
FBP	596,9

Tabla 13. Características Base Nafténica pesada Mayo 2008

DENSIDAD A 15°C ASTM D 4052	g/ml	0,9159
VISCOSIDAD CINEMÁTICA 100°C D 445	mm2/s	19,1853
VISCOSIDAD CINEMÁTICA 40°C D 445	mm2/s	342,9923

Fuente Tabla 13 y 14: Archivos Excel Caracterización Rafinatos/ Seguimiento de bases Lubricantes Muestras laboratorio ICP

Porcentaje de Azufre carga (Z) y producto (11)

A diferencia de la U-1100, para la U-1110 sólo se cuenta con curva de destilación y porcentaje de azufre para la corriente de base Nafténica pesada (11), por esta razón se recurrió al contenido de azufre para carga y producto de la unidad, medido en las muestras de laboratorio de la Refinería (reportados en CDLAB).

Tabla 14. Contenido de Azufre Destilado Nafténico (Z), CDLAB1

MUESTRA	FECHA	AZUFRE (g/100g)	AZUFRE EN PPM (mg/kg)	
K0664 DEST.	12/07/2012	0,8	8200	
NAFT. PESADO	27/06/2012	1,1	10601	
	08/01/2013	1,1	10830	
K0666 DEST.	23/12/2012	1	9916	
NAFT. PESADO	08/11/2012	1,1	10713	
	24/10/2012	0,6	5718	
	16/08/2012	1,5	15067	

MUESTRA	FECHA	AZUFRE (g/100g)	AZUFRE EN PPM (mg/kg)
	17/07/2012	1,9	19152
	15/07/2012	1,9	18809
	14/07/2012	1,9	19297
	13/07/2012	1	10310
	18/06/2012	1,9	18599
	29/04/2012	1,2	12179
	12/01/2012	1,1	10788
	PROMEDIO	1,3	12870
	MÁXIMO	1,9	19297
	MÍNIMO	0,6	5718

En las Tablas 14 y 15, se presentan los contenidos de azufre reportados en CDLAB para muestras de Destilado Nafténico pesado (Z) y Base Nafténica pesada (11) respectivamente. Para la simulación se trabajó para la carga el valor de contenido máximo de azufre reportado en las muestras y para el caso del producto (11) el valor mínimo, siendo está la mayor diferencia en el contenido de azufre entre la carga y el producto, que representa el azufre convertido a H₂S.

Tabla 15. Contenido de Azufre Base Nafténica pesada (11), CDLAB

MUESTRA	FECHA	AZUFRE	AZUFRE EN PPM
MOESTRA	PECHA	(g/100g)	(mg/kg)
K0649 BASE	21/01/2013	0,3	2537
NAFT. PESADA	20/01/2013	0,2	2494
BN 460-H	19/01/2013	0,3	2517
	18/01/2013	0,3	2568

MUESTRA	FECHA	AZUFRE	AZUFRE EN PPM
WIDESTRA	FECHA	(g/100g)	(mg/kg)
	17/01/2013	0,3	2569
	16/01/2013	0,2	2497
	15/01/2013	0,3	2543
	12/01/2013	0,2	2485
	07/01/2013	0,3	2591
K0685 BASE			
NAFT. PESADA	26/01/2012	0,2	2273
BN 460-H			
	15/01/2013	0,3	2693
K0686 BASE	06/08/2012	0,4	3699
NAFT. PESADA	14/01/2013	0,3	2587
BN 460-H	13/08/2012	0,3	3181
BN 400-11	10/01/2013	0,2	2472
	30/07/2012	0,2	2450
K0751 BASE	15/01/2013	0,3	2566
NAFT. PESADA	14/01/2013	0,3	2559
BN 460-H	29/08/2012	0,4	3871
	PROMEDIO	0,3	2692,2
	MÁXIMO	0,4	3871
	MÍNIMO	0,2	2273

Condiciones de operación de los Tambores U-1110

Las condiciones de presión y temperatura de los tambores de separación de la U-1110 se presentan en la Tabla 16, estos datos fueron tomados del manual de operaciones de las unidades de tratamiento con hidrógeno.

Tabla 16. Condiciones de operación Tambores U-1110

	CONDICIONES DE			
TAMBORES U-1100	OPERACIÓN			
172011.20	Temperatura	Presión		
	(°F)	(psig)		
Separador de Alta presión D-1111	450-480	1250-1500		
Separador de baja temperatura D-1112	135-180	1400		
Separador de Baja presión D-1113	430-450	50-70		

Desarrollo de la simulación

En la simulación en HYSYS del proceso de la U-1110 mostrado en la Figura 6, se toma el sistema de estudio desde la entrada al tambor de alta presión D-1111 (corriente 10), procedente de la salida del reactor R-1101B.

En base a la información que se tiene se determinaron corrientes adicionales (especificadas en la tabla 11) y se realizaron algunas consideraciones para formar la corriente de entrada al D-1111, en cuanto a la composición de esta corriente, las cuales se presentan más adelante.

Por balance de masa, la corriente 10 está dada por:

Flujo Corriente 10 = Flujo Corriente Y + Flujo Corriente Z

Donde Y y Z son los flujos másicos de las cargas al reactor, (Y) H₂ de reciclo y (Z) destilado nafténico pesado.

Aunque la masa de entrada al reactor (corrientes Y y Z) es igual al de la salida (corriente 10), la distribución de componentes en la corriente cambia, y para formar esta corriente (10) se tienen las siguientes corrientes:

La corriente de Y, corresponde al flujo del hidrógeno de reciclo que ingresa al reactor y la corriente Z, equivalente en flujo másico a una nueva corriente U, con una nueva distribución de productos (resultado de la reacción química en el reactor).

La corriente U, en flujo másico se expresa como:

$$Flujo\ Corriente\ U = Flujo\ Corriente\ V + Flujo\ Corriente\ W + Flujo\ Corriente\ X$$

Donde W es el flujo de entrada de H₂S al D-1111, que corresponde al H₂S formado en los reactores R-1111A/B. Al tener el contenido de azufre de la carga y el producto, se puede determinar la cantidad de azufre que se convirtió a H₂S, considerando que el azufre del producto (corriente 11) corresponde a la cantidad de azufre que no reacciona y queda dentro de las moléculas de los componentes de la base nafténica. Se tiene la siguiente expresión para el flujo másico de W:

Flujo Corriente
$$W = \frac{\%azufre\ en\ Z}{100}*F.Corriente Z - \frac{\%azufre\ en\ 11}{100}*F.Corriente 11 * \frac{PM_{H2S}}{PM_S}$$

El caso más crítico corresponde a los porcentajes de azufre de 1,9 y 0,227 para la carga y producto respectivamente presentados en las tablas 15 y 16, que representan la mayor diferencia entre la carga y el producto (lo que se traduce en la mayor generación de H₂S).

Por otra parte, la corriente denominada X corresponde a la base Nafténica formada en el reactor, por lo cual, para esta corriente se utiliza la curva de destilación del producto (corriente 11), esta corriente en la simulación se ajusta

para obtener en la corriente de producto el correspondiente flujo másico dado en los balances de la unidad reportados en RIS.

La corriente V, corresponde a los livianos que se pudieron formar en el reactor. El flujo másico se calcula como:

Flujo Corriente V = Flujo Corriente Z - Flujo Corriente W - Flujo Corriente X

7.1.3. Resultados de simulación gases de cima torres T-1101A/T-1111A

7.1.3.1. Resultados gases de cima T-1101: La carga simulada para esta unidad es aceite desparafinado fenolizado Bright Stock, que tiene la mayor cantidad de azufre y por ende genera la mayor cantidad de H₂S, siendo este el caso más crítico de emisión cuando la planta trabaje en su máxima capacidad.

En la Tabla 17, se indica para los meses de junio, julio, agosto y septiembre del año 2012, la distribución de carga en la unidad, como se puede apreciar la carga de aceite fenolizado B- Stock es la menos frecuente, presentándose la mayor frecuencia de carga en el mes de agosto con tan solo tres días.

Tabla 17. Frecuencia por tipo de carga U-1100

CARGAS	JUNIO	JULIO	AGOSTO	SEPTIEMBRE
Aceite Desparafinado Liviano	9	8	10	11
Aceite Desparafinado Medio	8	10	11	13
Aceite Desparafafinado B. Stock	2	0	3	2
Sin carga	11	13	7	4

En la Tabla 18, se presentan los datos de balance de la Unidad U-1100 para aceite desparafinado B. Stock como carga; las columnas VOL y MAS, representan bls/día y ton/día respectivamente; y las columnas SIM corresponden a los datos obtenidos de la simulación (ton/día), las corrientes A y B no presentan valor en la columna SIM debido a que son datos de entrada y toman el valor dado por el reporte másico en la columna MAS.

Tabla 18. Datos Balance U-1100 usados en la simulación/resultados Simulación.

CORRIENTES	8/02/12	22/04/12			19/09/12				
BALANCE U-1100	VOL	MAS	SIM	VOL	MAS	SIM	VOL	MAS	SIM
В	132,99	10,59		138,83	11,06		127,1	10,13	
Α	1445,04	199,20		1944	268,91		1800	248,99	
2	1377,12	192,56	192,5	1848	259,16	259,1	1704	238,97	238,7
3	52,86	7,98	3,37	55,19	8,33	5,09	50,53	7,62	5,06
4	112,37	8,95	10,4	117,31	9,35	11,69	107,4	8,56	11,38

En la tabla 19 se presentan datos de corriente y relaciones entre las mismas (calculadas), en base a la simulación en HYSYS de los días de operación presentados anteriormente. El objetivo es establecer relaciones que permitan simular el proceso para una carga igual a la capacidad instalada de la unidad.

Tabla 19. Corrientes y relación de corrientes para días de operación simulados en HYSYS.

CORRIENTES/REL. CORRIENTES	28/02/12	22/04/12	19/09/12
E (ton/día)	0,381	0,515	0,477
F (ton/día)	198,6	266,5	245,6
Relación F/A	0,99	0,99	0,99
Flujo H₂S en Corriente 5 (ton/día)	0,0515	0,0687	0,0619
RI. (Flujo H₂S en Corriente 5/Corriente E)	0,13	0,13	0,13

La capacidad instalada (Diseño) de la U-1100 es 2160 bls/día, en los datos de balance másico de la unidad se registró un valor máximo de carga a la unidad de 1944 bls/día para la carga de Aceite desparafinado fenolizado B. Stock (sombreado en la Tabla 18).

Para calcular el contenido de H₂S en los gases de cima de la T-1101A con el valor de la capacidad instalada de la unidad en la carga, se realizó la simulación para diferentes días de operación, estableciendo relaciones entre las corrientes y el contenido de azufre de carga con el de la corriente de gases de cima, estas relaciones se presentan en la Tabla 19. Esto permite calcular la entrada de hidrógeno y la salida de producto principal en la simulación y obtener los gases de cima; adicionalmente es posible comparar el resultado obtenido por simulación con el de la relación entre el contenido de H₂S en 5 con el flujo de la corriente E.

Finalmente se muestra la cantidad máxima de H₂S en la corriente de gases de cima (5); este valor fue calculado por simulación y por la relación establecida entre el flujo de H₂S en la corriente 5 con el contenido de H₂S en la carga (E) y fue el mismo.

Cantidad max H_2 S en gases de cima $T - 1101A = 0.074 \frac{ton}{dia} = 6.84 lb/h$

7.1.3.2. Resultados gases de cima T-1111: La carga simulada para esta unidad es destilado Nafténico pesado, que tiene la mayor cantidad de azufre y por consiguiente genera la mayor cantidad de H₂S, siendo éste el caso más crítico de emisión no condensable cuando la planta trabaja a máxima capacidad.

En la Tabla 20, se indica para los meses de junio, julio, agosto y septiembre del año 2012 la distribución de carga en la unidad, como se puede observar, la carga de destilado Nafténico pesado representa una frecuencia constate de dos días al mes.

Tabla 20. Frecuencia por tipo de carga U-1110

CARGAS	JUNIO	JULIO	AGOSTO	SEPTIEMBRE
Destilado Nafténico Medio	12	17	24	24
Destilado Nafténico pesado	2	2	2	2
Sin carga	16	12	5	4

En la tabla 22, se presentan los datos de balance de la Unidad U-1110 para aceite destilado Nafténico pesado como carga, las columnas VOL y MAS, representan bls/día y ton/día respectivamente; las columnas SIM corresponden a los datos obtenidos de la simulación, los espacios en blanco indican que esta corriente ha sido información de entrada a la simulación.

Tabla 21. Datos Balance U-1110 usados en la simulación/resultados simulación

CORRIENTES	1	0/01/12			03/05/12		0	3/09/12	
BALANCE	VOL	MAS	SIM	VOL	MAS	SIM	VOL	MAS	SIM
U-1110									
Y	157,69	12,56		161,86	12,84		139,17	11,09	
Z	1576,08	234,06		1584	235,23		1431,12	212,53	
11	1527,6	221,27	219,8	1536	222,49	221,7	1388,8	201,18	200
13	90,0	13,72	5,126	93,3	14,02	4,92	80,22	12,11	4,47
12	133,2	10,62	15,57	136,77	10,85	15,5	117,6	9,37	14,47

En la Tabla 22 se presentan datos de corriente y relaciones entre las mismas (calculadas), en base a la simulación en HYSYS de los días de operación presentados anteriormente. El objetivo es establecer relaciones que permitan simular el proceso para una carga igual a la capacidad instalada de la unidad.

Tabla 22. Corrientes y relación de corrientes para días de operación simulados en HYSYS.

CORRIENTES/REL. CORRIENTES	10/01/12	03/05/12	03/09/12
W (ton/día)	4,069	4,089	3,694
X (ton/día)	229	230,5	208
Relación X/Z	0,98	0,98	0,98
Flujo H₂S en 14 (ton/día)	0,1962	0,1987	0,1761
Rel. (Flujo H₂S en 14/W)	0,048	0,048	0,048

La capacidad instalada de la U-1100 es 2112 bls/día, en los datos de balance másico de la unidad se registró un valor máximo de carga a la unidad de 1584 bls/día para la carga de Destilado nafténico pesado. Para calcular el contenido de

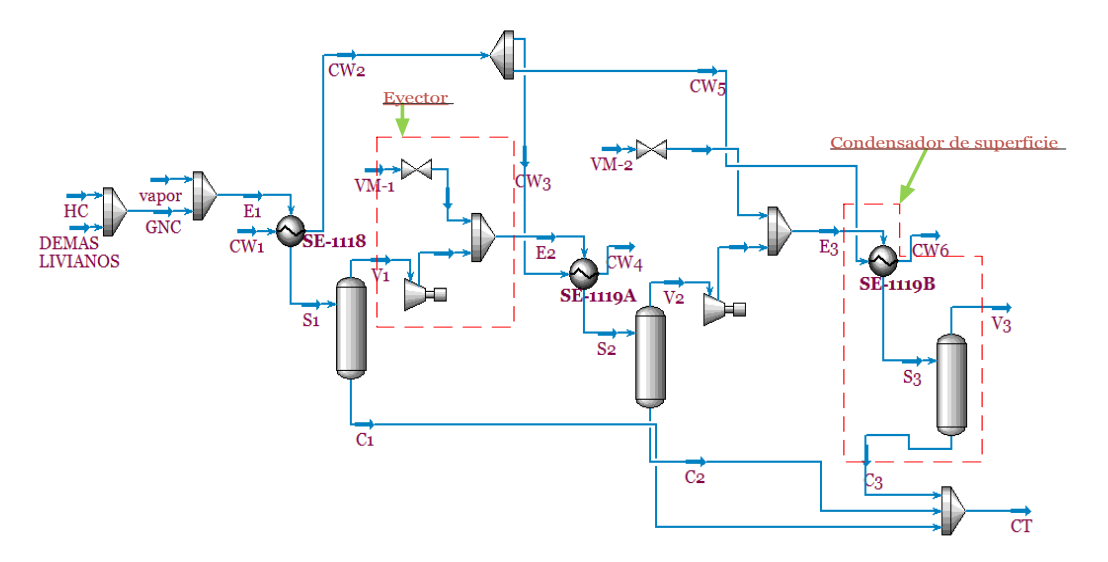
H₂S en los gases de cima de la T-1111A con el valor de la capacidad instalada de la unidad en la carga, se realizó la simulación para diferentes días de operación, estableciendo relaciones entre las corrientes y el contenido de azufre de corrientes.

Finalmente se muestra la cantidad máxima de H₂S en la corriente de gases de cima (14); este valor fue calculado por simulación y por la relación establecida entre el flujo de H₂S en la corriente 5 con el contenido de H₂S en la carga (W) y fue el mismo.

7.1.4. Simulación sistema de vacío U-1100/U-1110. Una vez obtenida la cantidad máxima de H₂S que va a los sistemas de vacío, se simulan condiciones dadas para un esquema previsto en el cual se remplacen los condensadores barométricos actuales. El diagrama de proceso es mostrado en la Figura 1.

7.1.4.1. Datos de entrada simulación sistema U-1100/U-1110

Figura 15. Diagrama de simulación sistemas de vacío U-1100/U-1110



En la Figura 15, se ilustra el diagrama del sistema de vacío en HYSYS, el cual está constituido por un precondensador y dos etapas de eyección formadas cada una por eyector y condensador. En general el sistema cuenta con tres condensadores de superficie y dos eyectores.

HYSYS no tiene como tal estos equipos, por lo cual, el condensador de superficie está en la simulación como el conjunto de intercambiador y un flash para separar las fases de vapor y líquido; en cuanto al eyector para asegurar que se cumplan las condiciones de entrada de presión y temperatura de la corriente, se incluye en la simulación como el conjunto de una válvula de estrangulamiento, compresor y mezclador. A continuación en la Tabla 23 se especifican las corrientes en la Figura 15.

Tabla 23. Identificación de corrientes en simulación del sistema de vacío

CORRIENTE	DESCRPICIÓN	
Vapor	Vapor en la corriente de entrada de los gases de cima T-1101A/T-1111A.	
GNC	Gases no condensables	
E1/E2/E3	Entrada gases a intercambiadores de calor	
S1/S2/S3	Salida gases de intercambiadores de calor	
V1/V2	Gases a primera y segunda etapa de eyección.	
V3	Gases de salida del sistema de vacío	
C1, C2, C3	Condensados	
СТ	Condensados totales del sistema de vacío	
VM-1/VM-2	Vapor motriz entrada a eyectores	
CW1/CW2/CW3/CW4/CW5/CW6	Agua de enfriamiento	

Corrientes GNC y Vapor

La corriente de entrada al sistema de vacío de estudio corresponde a los gases de cima de las T-1101A y T-1111A, esta corriente está formada por vapor utilizado en la etapa de despojo y los gases no condensables del sistema. Por diseño del sistema de vacío actual, conocemos la información mostrada en la Tabla 24.

Tabla 24. Datos de diseño corriente E1

DATOS DISEÑO	UN	VALOR
PRESION	mm Hg	100
TEMPERATURA	°F	238
FLUJO TOTAL E1	Lb/h	4470
FLUJO DE	Lb/h	4170
VAPOR EN E1		
FLUJO GNC	Lb/h	300
PESO		
MOLECULAR	Lb/lbmol	30
GNC		

De la corriente de GNC además del flujo másico, conocemos la cantidad de H2S en la corriente determinada por el resultado de la fase anterior de la estimación de gases de cima de las T-1100A y T-1111A.

En la Tabla 25 se presenta la composición típica para un sistema de vacío, básicamente esta corriente está formada por el H₂S, corriente de HC livianos y

aire; el resultado obtenido para la cantidad de H₂S para el sistema de vacío de las U-1100 y U-1110, es 10,4% cercano al enunciado en la Tabla 25, como no se conoce la composición de los otros componentes de la corriente de gases no condensables se decidió utilizar la composición típica dada por la EPA (Environmental Protection Agency) y presentada en las Tablas 25 y 26.

La estimación de producción de bases lubricantes promedia anual de las plantas de tratamientos con hidrógeno con las bases de carga utilizadas en la simulación es de 26356 lb/h.

Tabla 25. Composición típica gases no condensables en sistemas de vacío

COMPONENTE	% P/P
HIDROCARBURO	75
H₂S	9
СО	5
AIRE	8

En donde la corriente de hidrocarburos se especifica en la tabla 27.

Tabla 26. Composición típica de HC en gases no condensables

COMPONENTE	% P/P
METANO	7,8
ETANO	6,7
ETILENO	0,5
PROPANO	11,7
BUTANO	32,3
BUTENO	3,8
PENTANO	25,3
PENTENO	6,6

COMPONENTE	% P/P
HEXANO	3,5
HEXENO	1,4
BENZENO	0,3
HEPTENO	0,1

Fuente: Control of Refinery vacuum producing systems, wastewater separators and process unit turnarounds

Los datos suministrados al simulador de los condensadores de superficie corresponden a la temperatura de entrada y salida tanto del agua de enfriamiento como de los gases de proceso, datos de diseño del equipo (caída de presión, diámetro, longitud, numero de tubos entre otros), parte de esta información es tomada a partir de una propuesta técnica recibida de un proveedor reconocido en sistemas de vacío.

7.1.5. Resultados Estimación Gases De Salida Sistema De Vacío U-1100/U-1110. La corriente de gases no condensables a la salida del sistema de vacío se especifica en la Tabla 27.

Tabla 27. Flujo de gases no condensables salida del sistema de vacío U-1100/U-1110

Flujo total Gases no condensables	323,9 lb/h
salida del sistema de vacío (V3)	
Flujo de H₂S salida	31,0 lb/h

El presente desarrollo permitió incorporar los conceptos básicos del balance de masa como estrategia para estimar los valores de emisión del gas ácido sulfhídrico (H2S) en los gases totales del sistema de vacío de las plantas.

La simulación de procesos, por intermedio de los simuladores convencionales HYSYS son una herramienta poderosa y útil en la determinación de corrientes de proceso para ajuste de los balances másicos. Lo anterior principalmente cuando no hay disponibilidad física de instrumentación o parámetros analíticos que permitan brindar una mayor certeza en planta.

Tabla 28. Composición gases no condensables salida del sistema de vacío U-1100/U-1110

COMPONENTE	FRACCIÒN-
	PESO
METANO	0,0542
ETANO	0,0465
ETILENO	0,0035
PROPANO	0,0813
BUTANO	0,2244
BUTENO	0,0264
PENTANO	0,1758
PENTENO	0,0459
HEXANO	0,0243
HEXENO	0,0097
BENZENO	0,0021
HEPTENO	0,0007
СО	0,0463
HIDRÓGENO	0,0278
NITRÓGENO	0,0483
OXIGENO	0,0128
AGUA	0,0743
H₂S	0,0957

Los gases no condensables estimados en el proceso anterior serán la base para especificar la tubería (sección 7.6) de direccionamiento de la corriente a un sitio seguro, cuya propuesta es la planta de ácido sulfúrico que tiene la Refinería.

7.2. TENDENCIAS PARA LA GENERACIÓN DE VACÍO

La base de los sistemas de generación de vacío industrial no ha cambiado en los últimos 80 años, y se fundamental en la pérdida de volumen de un gas o vapor dentro de un recipiente (Berkeley, 1993). Para ello los sistemas involucran fundamentalmente eyectores los cuales son equipos con un arreglo tipo garganta (Venturi), en el cual un gas o vapor por intermedio de una aceleración del fluido induce una pérdida de presión, la cual succiona volumen del sistema, posterior al eyector un sistema alterno o complementario de condensación permite una mayor generación de vacío. Los sistemas de condensación son generalmente de 2 tipos: Intercambiador coraza-tubo y condensadores de contacto directo (barométricos) (Bolt, Butzbach et al, 1993).

A continuación se presentan 3 alternativas para generación de vacío en la unidad, las cuales son opciones para el remplazo de los equipos actualmente instalados.

7.3 EVALUACIÓN FINANCIERA (FACTOR J) DE LAS ALTERNATIVAS PROPUESTAS

Las alternativas que se plantean en el presente trabajo (Tabla 29) son evaluadas desde el punto de vista financiero mediante la estimación del valor presente neto (VPN) y la utilización de la tasa de retorno de inversión para la Refinería, el detalle de la estimación al igual que toda la información requerida para los retornos de flujo de caja con y sin propuesta se detallan en el Anexo 12, En la evaluación

financiera se parte de algunos principios (Sapang, 2008):

1- Cada alternativa se evalúa de forma independiente comparada con el caso

base.

1- Se incluyen todos los flujos de caja que tienen lugar dentro del proyecto, desde

la inversión inicial hasta los costos de operación y mantenimiento asociados a

los nuevos sistemas.

2- La tasa de rentabilidad requerida para el proyecto (para la Refinería está

definida en 11%).

3- Tiempo de evaluación del proyecto 15 años.

La ecuación fundamental para llevar los flujos de caja en cada año a su valor

presente es la siguiente:

$$VP = \frac{VF}{(1+i)^n} \tag{23}$$

VP: Valor presente de la cantidad

VF: Valor futuro de la cantidad

i : Tasa de interés

n: Periodo

La siguiente expresión se utiliza para comparar cada una de las alternativas:

$$Factor J = \frac{Valor\ presente\ neto\ de\ los\ beneficios\ \$}{Costo\ inicial\ de\ la\ inversión} \tag{24}$$

Tabla 29. Estimación de factor J alternativas planteadas

Alternativas	Descripción	Evaluación
	Este sistema continúa	Presupuesto ± 30%
	operando con los eyectores a	2.107 \$KUSD
Alternativa 1:	vapor actuales, pero la	
Cambio de	condensación intermedia	Factor $J = 3.4$
condensadores	cambia de realizarse con	
de contacto	condensadores de contacto	Se descarta esta alternativa
barométrico por	directo a condensadores de	ya que técnicamente no es
condensadores	superficie. Para realizar este	posible implementar los
de superficie.	cambio se requiere además la	nuevos condensadores sin
	actualización de pre-	realizar el cambio de los
	condensadores y un tambor de	eyectores y pre
	sello nuevo.	condensadores.
		Presupuesto ± 50%
		3.081 \$KUSD
Alternativa 2: Cambio de eyectores y condensadores de contacto barométrico por condensadores	Este sistema requiere el cambio de los eyectores ajustándolos al nuevo tipo de condensación que se realizara con condensadores de superficie. Para realizar este cambio se requiere además la actualización de pre-	Factor J = 1.9 Se selecciona esta alternativa ya que cumple con los objetivos del proyecto en cuanto a eliminación del consumo de
de superficie.	condensadores y un tambor de sello nuevo.	agua, la tecnología es conocida e implementada en otras plantas y la evaluación financiera aprueba los requerimientos para su

Alternativas	Descripción	Evaluación
		aprobación.
Alternativa 3: Cambio de eyectores de vacío y condensadores barométricos por bombas de vacío secas (autolubricadas)	El sistema opera con bombas de vacío secas (autolubricadas), bombas booster para incrementar la capacidad del sistema y condensación intermedia con condensadores de superficie. Para realizar este cambio se requiere la actualización del pre-condensador de gases de cima. Los condensados son enviados a los tambores de sello existentes.	Presupuesto ± 50% 3.442 \$KUSD Factor J = 1.8 Se descarta esta alternativa ya que no es una alternativa probada en otras refinerías (Graham), requiere equipo de condensación adicional y la operación de equipo rotativo disminuye la confiabilidad de la operación. Sistema más costoso y de menor factor J

7.4 ESTIMACIÓN DE LA HUELLA DE CARBONO PARA EVALUAR EL APORTE DE GASES CONTAMINANTES Y EFECTO INVERNADERO CONTRA LOS GENERADOS EN EL SISTEMA DE VACÍO

En la estimación de la huella de carbono para las plantas de tratamiento con hidrógeno se plantea el cálculo con la información disponible de consumo de recursos como energía y gas por parte de las unidades de estudio, adicional a estimación de fuentes fugitivas y factores de emisión reportadas para la industria del petróleo las cuales son referenciadas por la *Canadian Association of Petroleum Producers* (CAPP,2003) el resultado de la información es reportada en las siguientes tablas, el año de recolección de información es el año 2012, en base

al bajo factor de servicio de las plantas en el 2013 como consecuencia de la no disponibilidad de carga.

Tabla 30. Consumos promedio energéticos mensuales (Kw-h/mes) Año 20121

Mes	Energía A	Energía	Energía Total
	Autogenerada	Importada	Consumida
Enero	1.743.766,00	131.284,00	1.875.050,00
Febrero	1.549.278,00	265.057,00	1.814.335,00
Marzo	1.095.051,00	151.024,00	1.246.075,00
Abril	1.479.156,00	286.939,00	1.766.095,00
Mayo	1.476.193,00	188.392,00	1.664.585,00
Junio	1.300.948,49	244.386,51	1.545.335,00
Julio	1.279.879,45	292.875,55	1.572.755,00
Agosto	1.364.486,94	385.078,04	1.749.564,98
Septiembre	1.280.429,71	405.560,29	1.685.990,00
Octubre	1.326.750,43	366.084,57	1.692.835,00
Noviembre	1.016.993,02	66.711,98	1.083.705,00
Diciembre	1.290.345,39	219.394,60	1.509.739,99

Fuente de información de la Refinería de estudio

Tabla 31. Consumos promedio mensuales de gas (KPC/mes) en los equipos de combustión-Año 2012

Mes	H-1101	H-1111	H-1121
	KPC/mes	KPC/mes	KPC/mes
Enero	4.687,81	4.194,76	4.007,11
Febrero	4.057,78	3.919,36	3.626,80
Marzo	2.422,50	2.364,32	1.523,05

Mes	H-1101	H-1111	H-1121
	KPC/mes	KPC/mes	KPC/mes
Abril	3.848,20	3.063,30	2.936,93
Mayo	4.365,33	4.487,09	3.573,70
Junio	3.769,06	2.813,81	1.640,82
Julio	2.841,34	4.324,39	3.568,85
Agosto	4.025,76	4.256,39	3.407,97
Septiembre	4.383,56	3.703,81	3.651,54
Octubre	4.220,67	4.014,43	3.887,29
Noviembre	2.369,02	1.712,80	1.914,94
Diciembre	4.274,09	3.737,71	3.366,66

Fuente de información de la Refinería de estudio (Kilo pies cúbicos)

Tabla 32. Poderes caloríficos promedios de gas en equipos de Combustión-Año 2012

Período 2012	H-1101	H-1111	H-1121
	Btu/ft3	Btu/ft3	Btu/ft3
- Primer Trimestre	992,94	992,94	992,94
- Segundo Trimestre	999,32	999,32	999,32
Timesue			
- Tercer Trimestre	927,59	927,59	927,59
- Cuarto Trimestre	937,78	937,78	937,78

Fuente de información de la Refinería de estudio

Tabla 33. Conteo general de equipos para emisiones fugitivas

Accesorios para Facilidades de crudo (oil facilities)					
Tipo de Equipos	Cantidad de Equipos	Cantida d de Bridas	Cantida d de Válvulas	Cantida d de PRV	Cantidad de Sellos de Compresore s
Hornos/calentadores y/o calderas	3	730	140	ND	No aplica
Separadores	No aplica	No aplica	No aplica	No aplica	No aplica
Torres despojadoras (absorción, lavado o scrubbers)	No aplica	No aplica	No aplica	No aplica	No aplica
Compresores de gas	3	489	102	ND	3
Torres de fraccionamiento	No aplica	No aplica	No aplica	No aplica	No aplica
Secadores o deshidratadores	No aplica	No aplica	No aplica	No aplica	No aplica

Fuente de información de la Refinería de estudio

Tabla 34. Estimación de accesorios para emisiones fugitivas

ACCESORIOS	TTOS CON H2
Válvulas (light liquid	242
services)	272
Válvulas (heavy liquid	ND
services)	145
Válvulas (gas/vapor)	ND
Bridas y/o conectores(oil	1.219
services)	

ACCESORIOS	TTOS CON H2
Bridas y/o conectores	ND
(gas/vapor)	ND
Sellos de bombas	3
PRV's (gas/vapor)	ND
Sellos de compresores	3
(gas/vapor)	3

Tabla 35. Factores de emisión empleados en fuentes directas e indirectas

CONTAMINATES	COMBUSTIÓN A GAS (Equipos Baja Capacidad) Factor de	ENERGÍA ELÉCTRICA IMPORTADA Factor de	COMBUSTIÓN A GAS (Equipos Alta Capacidad) Factor de	
	Emisión	Emisión	Emisión (lb/scf)	
	(lb/scf)	(kg/KWh)	2	
NOX	1,00E-04	3,48E-04	2,80E-04	
СО	8,40E-05	8,30E-04	8,40E-05	
SOX	6,00E-07	6,30E-05	6,00E-07	
MP	7,60E-06	1,02E-04	7,60E-06	
VOC	5,50E-06	5,00E-06	5,50E-06	
CO2	1,20E-01	1,57E-01	1,20E-01	
N2O	2,20E-06	1,85E-06	2,20E-06	
CH4	2,30E-06	2,80E-06	2,30E-06	

Fuente: CAPP 2003

Tabla 36. Factores de emisión empleados en emisiones fugitivas en Accesorios para facilidades de gas y crudo

	Τ			
Decembraión de empire y	FACTOR DE EMISIÓN	FACTOR DE EMISIÓN		
Descripción de equipo y mecanismo de control	VOC	CH4		
	kg / h. accesorio	kg / h. accesorio		
Accesorios para facilidade	es de gas			
Equipos y/o Procesos				
Válvulas (vapores dulces)	6,21E-04	4,35E-02		
Válvulas (vapores amargos)	0,00E+00	5,18E-03		
Bridas y/o conectores(vapores dulces)	2,54E-04	2,53E-03		
Bridas y/o conectores (vapores amargos)	2,54E-04	3,10E-04		
Sellos de compresores	0,00E+00	8,05E-01		
PRV's	5,88E-02	1,21E-01		
Compresores	1,33E-01	0,00E+00		
Accesorios para facilidade	es de crudo			
Equipos y/o Procesos				
Válvulas (light liquid services)	2,95E-03	1,20E-03		
Válvulas (heavy liquid services)	2,28E-04	0,00E+00		
Válvulas (gas/vapor)	0,00E+00	1,42E-02		
Bridas y/o conectores(oil services)	2,54E-04	1,90E-04		
Bridas y/o conectores (gas/vapor)	2,54E-04	7,90E-04		
Sellos de bombas	0,00E+00	8,05E-01		
PRV's (gas/vapor)	5,88E-02	1,21E-01		
Sellos de compresores (gas/vapor)	0,00E+00	3,70E-03		

Fuente: CAPP 2003

Tabla 37. Cálculo de gases efecto invernadero de las plantas de tratamiento con hidrógeno

		Emisión (t/año)				
Tipo de Fuente	Fuente	GASES DE	EFECT	O INVE	RNADERO	
		CO ₂	CH₄	N ₂ O	CO ₂ e	
	Hornos / Calentadores	27.555,15	0,53	0,51	27.556,18	
	Calderas					
Emisiones por	Motores de CI					
Fuentes de	Generadores a gas					
Combustión	Turbinas a gas					
	Motores CI de					
	Pozos					
	Total por combustión	27.555,15	0,53	0,51	27.556,18	
Emisiones por	Carrotanques					
Fuentes de	Vehículo privados					
Transporte	Total por	NA	NA	NA	NA	
Propiedad ECP	transporte				1 2 2 1	
	Prod. de hidrógeno					
Emisiones por	FCC					
Fuentes de	Proceso Claus					
Venteo/Proceso	Otros venteos					
	Total por venteos		NA	NA		
Emisiones por Fuentes Fugitivas	Válvulas		0,89		22,14	
	Bridas		0,71		17,66	
	Sellos de Compresores		0,03		0,85	

Tipo de Fuente	Fuente	GASES DE EFECTO INVERNADERO				
		CO ₂	CH₄	N ₂ O	CO₂e	
	PRV's		0		0	
	Sellos de Bombas		7,36		184,09	
	Tto. Aguas					
	Residuales					
	Fug. Cabeza de					
	Pozo					
	Total por Fugitiva	NA	8,99	NA	224,73	
	Teas					
Emisiones teas	Teas en pozos					
	Total en Teas	NA	NA	NA	NA	
TOTAL	(toneladas)	27.555,15	9,52	0,51	27.565,17	
DIRECTAS	(tonoidado)	271000,10	0,02	0,51	27.303,17	
	Electricidad	353,58	6,31E-	4,17E-	353,59	
Emisiones por	importada	333,33	03	03	333,33	
Fuentes	Vapor importado					
Indirectas	Electricidad					
	importada en pozos					
	Total Indirecta	353,58	0,01	0	353,59	
TOTAL	(toneladas)	353,58	0,01	0	353,59	
INDIRECTAS	(torioidado)	000,00	0,01	•	000,00	

Tabla 38. Estimación de gases contaminantes de las plantas de tratamientocon hidrógeno

Tipo de Fuente	Fuente	Emisión (t/año) GASES CONTAMINANTES CRITERIO Y OTROS					
		Emisiones por Fuentes de Combustió n	Hornos / Calentadores	52,763	19,289	0,138	1,745
Calderas							
Motores de CI							
Generadores a gas							
Turbinas a gas							
Motores CI de Pozos							
Total por combustión	52,76		19,29	0,14	1,75	1,26	
Emisiones por Fuentes de Transporte Propiedad Empresa	Carrotanques						
	Vehículo privados						
	Total por transporte	NA	NA	NA	NA	NA	
Emisiones por Fuentes de Venteo/Pro ceso	Prod. de hidrógeno						
	FCC						
	Proceso Claus						
	Almacenamient o de HC en tanques						
	Otros venteos						
	Total por venteos	NA	NA	NA	NA	NA	
Emisiones por Fuentes Fugitivas	Válvulas					2,18	
	Bridas					0,94	
	Sellos de Compresores					0	
	PRV's					0	

	Fuente	Emisión (t/año)					
Tipo de Fuente		GASES CONTAMINANTES CRITERIO Y OTROS					
		NOX	CO	SOX	MP	voc	
	Sellos de Bombas					0	
	Tto. Aguas Residuales						
	Fug. Cabeza de Pozo						
	Total por Fugitiva	NA	NA	NA	NA	3,12	
Fmisianas	Teas						
Emisiones teas	Teas en pozos						
	Total en Teas	NA	NA	NA	NA	NA	
TOTAL DIRECTAS	(toneladas)	52,76	19,29	0,14	1,75	4,38	
	Electricidad importada	2,61E-01	6,23E-01	4,73E- 02	7,66E- 02	3,75E- 03	
Emisiones por	Vapor importado						
Fuentes Indirectas	Electricidad importada en pozos						
	Total Indirecta	0,26	0,62	0,05	0,08	0	
TOTAL INDIRECT AS	(toneladas)	0,26	0,62	0,05	0,08	0	

Con la metodología anterior del cálculo de huella de carbono se pudo estimar las fuentes de emisión de gases efecto invernadero y gases peligrosos del proceso de las plantas de tratamiento con hidrógeno. Los valores obtenidos en las Tablas 30, 31 y 37 corresponden a los insumos de energía, gas y fuentes fugitivas. El balance de materia realizado en la sección 7.1.5 y ajustado mediante simulación (HYSYS) permite identificar las emisiones de los gases no condensables del sistema de vacío, los cuales, sumados a los obtenidos mediante la huella de carbono (el cálculo no incluye el sistema de vacío) permiten precisar la estimación de emisiones del proceso, información que luego permite desarrollar un modelo de

análisis de ciclo de vida que permitirá evidenciar el impacto que genera a nivel global en el proceso una reducción en vertimientos por efecto de una nueva tecnología.

La estimación de la huella de carbón para el conjunto de las plantas de tratamiento con hidrógeno es una herramienta valiosa como aproximación a los niveles de emisión atmosférica del área en cuestión. La técnica permitió identificar a los hornos de combustión como los equipos que más aportan en cuanto a contaminación atmosférica y efecto sobre el calentamiento global.

7.5 ESTIMACIÓN DE LOS IMPACTOS AMBIENTALES GENERADOS POR LAS PROPUESTAS EVALUADAS MEDIANTE UN ANALISIS DE CICLO DE VIDA (ACV)

Mediante el análisis de ciclo de vida se busca determinar el impacto ambiental que inducen las plantas de tratamiento con hidrógeno considerando por supuesto, el esquema actual de operación y el impacto que tendrían las tecnologías propuestas.

El enfoque de estudio El ACV se conceptualiza como el análisis de los flujos energéticos y ambientales asociados con el proceso de producción de base lubricante en una refinería considerando el concepto **puerta a puerta** que hace énfasis en el proceso de producción o manufactura tomando como **unidad funcional** 1 libra de producción de base lubricante, la información básica que se provee para este caso es:

La materia prima utilizada para el proceso es nafta.

- Recursos energéticos consumidos, correspondientes a energía eléctrica para los equipos rotativos de la planta y gas natural combustible para los procesos de combustión y generación de vapor.
- Emisiones generadas al aire por los Hornos de combustión, emisiones fugitivas y gases (con presencia de H2S) del sistema de vacío actual y propuesto.

La unidad de referencia es tomada del software SIMAPRO 7.1 y corresponde al proceso de producción de **Diésel** de bajo azufre, esquema análogo al sistema real de hidrotratamiento de destilados y bases parafínicas o nafténicas cuya producción de ceras o bases son productos de bajo contenido de azufre y contaminantes con saturación de olefinas que garantizan la estabilidad del producto.

Las entradas y salidas de la tecnosfera de las plantas de tratamiento se observa en las siguientes figuras, lo anterior permite identificar las entradas conocidas a la Tecnosfera y las emisiones al aire y vertimiento líquido para las 3 alternativas. Las estimaciones fueron obtenidas mediante el simulador HYSYS.

La metodología de evaluación de impactos seleccionada en el software es IMPACT 2002+, creada por el instituto de tecnología federal suiza de Lausanne (EPFL).

La tipología de la evaluación es de enfoque <u>comparativo</u>, por considerarse que en ésta etapa de iniciación es favorable, dado que más que el valor neto de los impactos lo importante es observar la diferencia en las categorías de impactos de cada propuesta si es que la hay.

CASO ACTUAL

COMPONENTE Lb/hora CO2 0,2664 CH4 7,57E-04 NOx 5,93E-04 **EMISIONES AIRE** SOx 2,64E-06 VOC 4,20E-05 **ENTRADAS TECNOSFRA** CO 7,70E-04 H2S 1,22E-03 COMPONENTE CANTIDAD **TRATAMIENTOS** MP 1,89E-05 NAFTA 1 Lb/h CON TOTAL 2,69E-01 ENERGIA ELEC 0,0632 Kwh **HIDROGENO FUEL GAS** 0,555 MJ AGUA DESMIN 0,1897 Lb/h COMPONENTE Lb/hora HIDROGENO 0,0612 Lb/h H20 5 H2S 1,50E-02 **EMISIONES AGUA** NH3 1,83E-02 **HIDROCARB** 1,07E+00

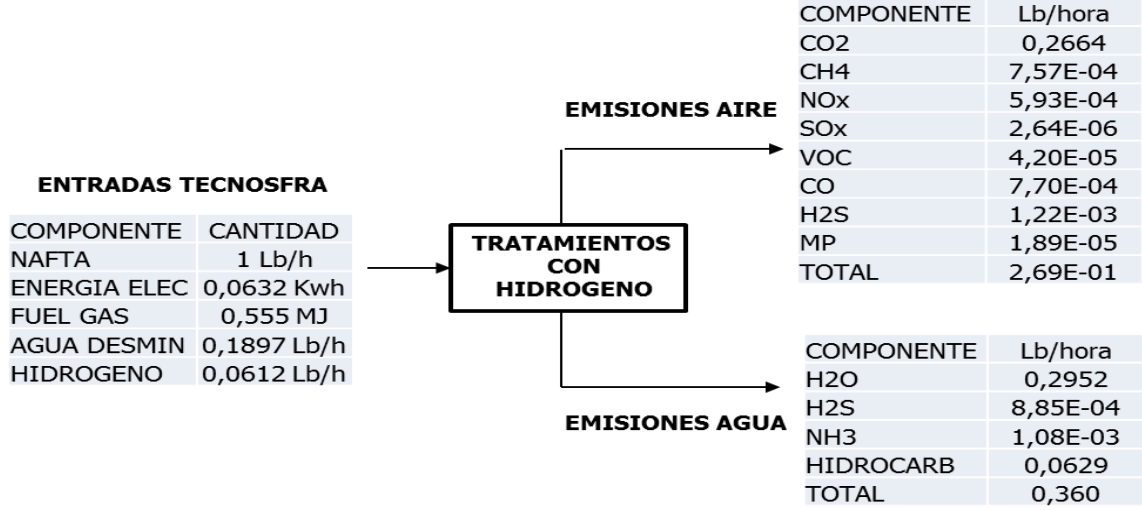
Figura 16. Entradas y salidas de la tecnosfera para el caso actual

ALTERNATIVA 1

Figura 17. Entradas y salidas de la tecnosfera-Alternativa 1

TOTAL

6,10E+00



ALTERNATIVA 2

COMPONENTE Lb/hora CO₂ 0,2664 CH4 7,57E-04 NOx 5,93E-04 **EMISIONES AIRE** SOx 2,64E-06 VOC 4,20E-05 **ENTRADAS TECNOSFRA** CO 7,70E-04 H2S 1,22E-03 COMPONENTE CANTIDAD **TRATAMIENTOS** MP 1,89E-05 NAFTA 1 Lb/h CON **TOTAL** 2,69E-01 ENERGIA ELEC 0,0632 Kwh **HIDROGENO FUEL GAS** 0,555 MJ AGUA DESMIN 0,0808 Lb/h COMPONENTE Lb/hora HIDROGENO 0,0612 Lb/h H20 0,2060 H2S 6,19E-04 **EMISIONES AGUA** NH3 7,56E-04

Figura 18. Entradas y salidas de la tecnosfera-Alternativa 2

ALTERNATIVA 3

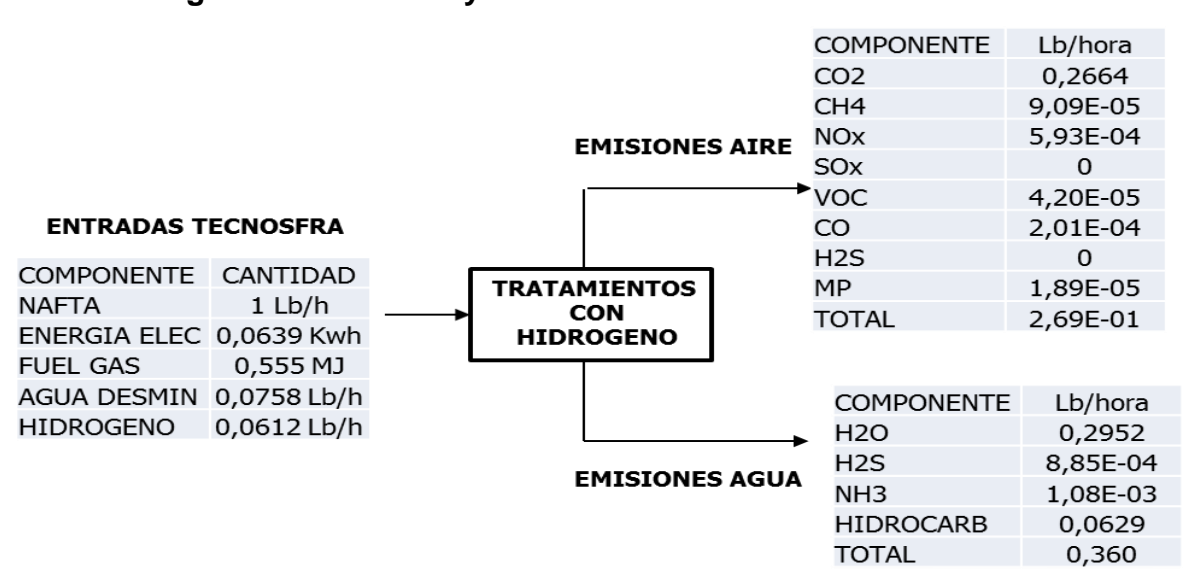
Figura 19. Entradas y salidas de la tecnosfera-Alternativa 3

HIDROCARB

TOTAL

0,0438

0,2520



Las tres alternativas y el caso actual se integran a un ensamblaje para evaluar y comparar cuál de ellas representa un mayor porcentaje de aporte en los impactos ambientales generados en el proceso de tratamientos con hidrógeno; el método escogido de evaluación de impactos es el IMPAC 2000+ el cual combina los métodos Eco-indicador 99, CML e IPCC.

El árbol de impactos en la Figura 20, permite identificar que las tres alternativas generan una reducción del **0,2**% en el nivel de los impactos, siendo el proceso de refinación y producción de la nafta el que más aporta con un 88%.

No se aprecia una clara diferenciación en los impactos que induce cualquiera de las tres propuestas. Lo anterior es explicable en razón a que los componentes de las tecnologías son de similares características técnicas y en cantidad (eyectores, intercambiadores, tambores acumuladores y un sistema de bombeo extrapolable a la condición actual); por otro lado el aporte de gases no condensables y efluentes líquidos provenientes del sistema de vacío son alrededor del 1,2% del total de carga (nafta) procesada, un valor bajo considerando que el mayor aporte de impactos lo genera precisamente la nafta.

Por otro lado, la estimación de la huella de carbono de las plantas permite identificar el aporte en gases contaminantes y efecto invernadero que inducen los tres hornos de combustión los cuales representan el 99% de las toneladas equivalentes de CO2, siendo el aporte de los no condensables del sistema de vacío inferior al 1 %, lo cual podría considerarse un nivel despreciable con relación al contexto global de impactos que generan las plantas de tratamientos con hidrógeno.

Figura 20. Diagrama de red de impactos globales en las plantas vs caso actual

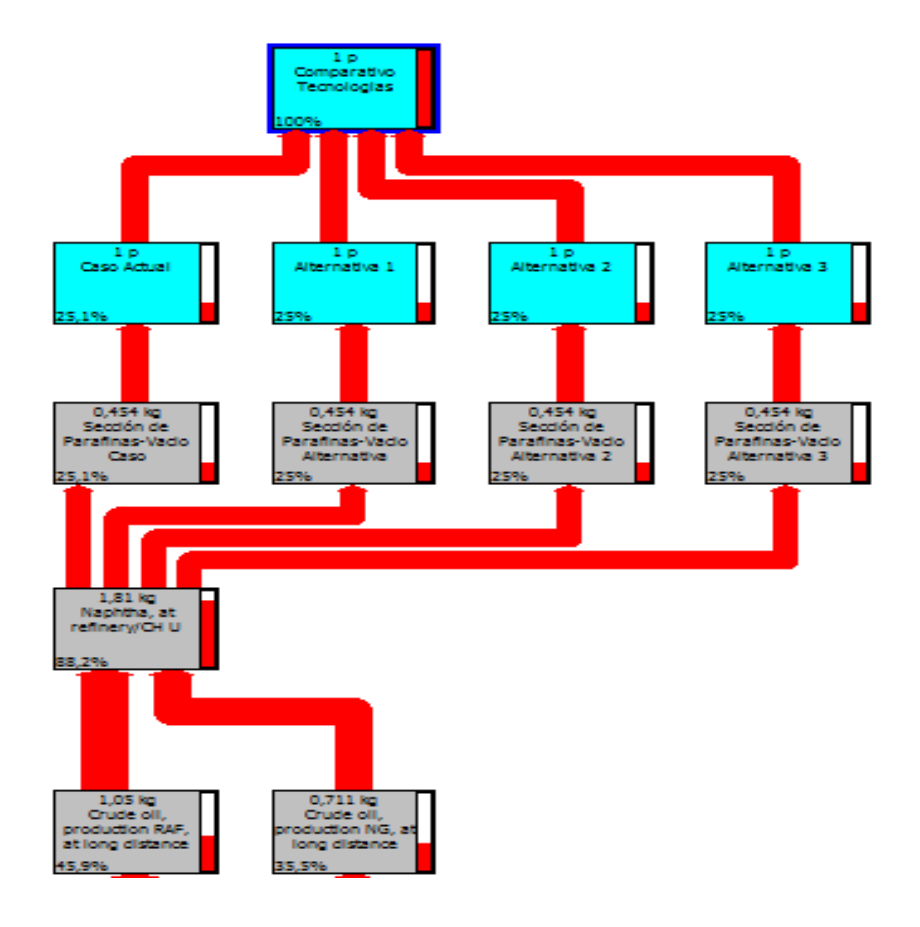
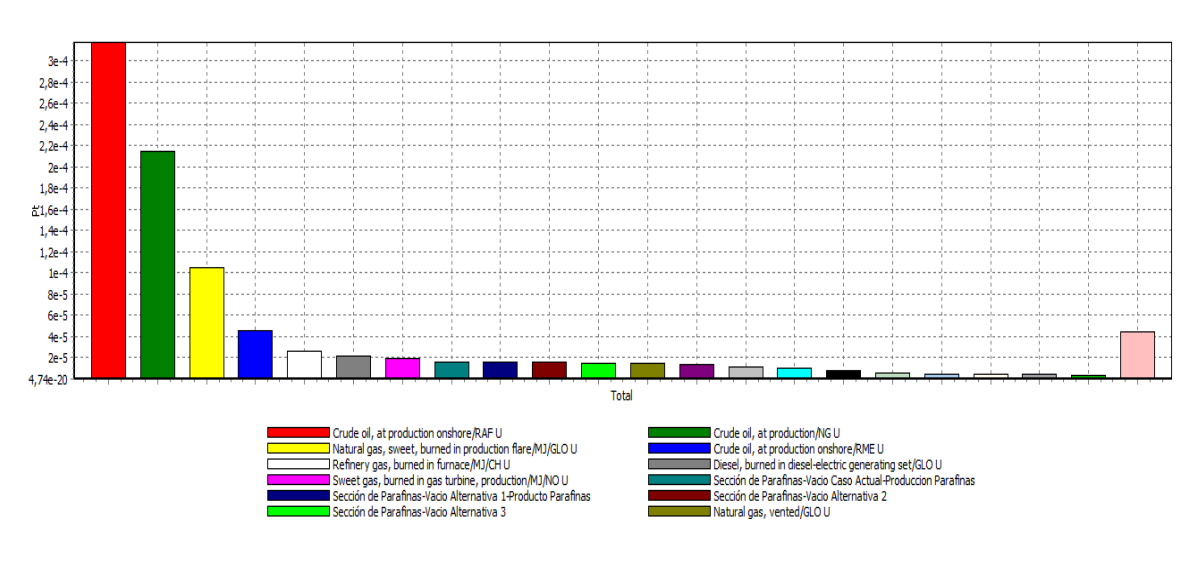


Figura 21. Diagrama de contribución del proceso para la producción de bases lubricantes



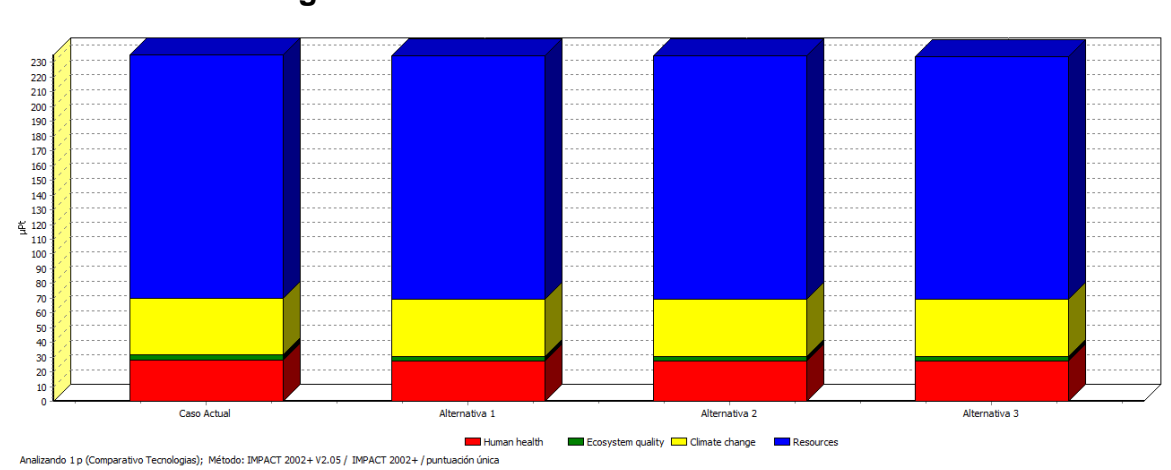


Figura 22. Indicadores de daño ambiental

Con el objetivo de observar un mayor detalle o efectos de cada alternativa sobre el modelo generado se hace un análisis retirando el aporte de la nafta como entrada a la tecnosfera, con el objetivo o minimizar el daño por" agotamiento de recursos no renovables" (color azul) y observar de esta manera una mayor sensibilidad de los resultados de cada alternativa.

Los resultados observados (Anexo 13) y presentados en la Tabla 39 como resumen, permiten identificar a la Alternativa 2 como aquella que menor impacto genera en las categorías de no carcinógenos, eco toxicidad acuática y acidificación acuática.

Tabla 39. Efecto de cada alternativa sobre las categorías de impacto

CATEGORÍA DE IMPACTO	UNIDAD	ALTERNATIV A 1	ALTERNATIV A 2	ALTERNATIV A 3
No carcinógenos	kg C2H3Cl eq	0,0012	0,000978	0,00102
Eco toxicidad acuática	kg TEG water	51,3	51	51,2
Acidificación acuática	kg SO2 eq	0,00432	0,0016	0,0028
Calentamiento global	kg CO2 eq	0,314	0,312	0,312

7.6. PLANTEAMIENTO DE UN DISEÑO CONCEPTUAL PARA LA ALTERNATIVA SELECCIONADA

7.6.1 Sistema propuesto. La alternativa 2 seleccionada ofrece un sistema que elimina el consumo (y/o vertimiento) de 305 gpm de agua cruda Miramar y disminuye el consumo de 2.869 lb/h de vapor, evitando así la producción de 311 gpm de aguas contaminadas como vertimiento al sistema de aguas aceitosas.

Se propone continuar operando con un Sistema de Vacío en dos etapas, con eyectores a vapor que realice la condensación intermedia con condensadores de superficie que empleen agua de enfriamiento. En cada etapa se instalara un condensador de superficie y dos eyectores a vapor de los cuales uno estará en operación y otro en stand by.

Las corrientes de cima de las torres de despojo T-1101A y T-1111A pasan primero al pre-condensador SE-1118 (actualizado-nuevo), donde el vapor de agua en la carga es condensado antes de entrar a las etapas de eyección, el condensado de vacío es enviado al tambor separador nuevo SD-1117 y los gases pasan a la primera etapa de eyectores SJ-1102A (actualizado nuevo), en esta etapa los gases son comprimidos con vapor motriz de 400#, la mezcla de vapor y gases es enviada al inter-condensador de superficie (nuevos) SE-1119A que condensan el vapor y condensables con agua de enfriamiento, los gases no condesados pasan a la segunda etapa de eyectores SJ-1102B (actualizado nuevo) y los condensados son enviados al tambor separador nuevo SD-1117.

En la segunda etapa los gases son comprimidos por encima de la presión atmosférica y la mezcla de vapor y gases es enviada al after-condensador de superficie SE-1119B (nuevos), los condensados son enviados al tambor nuevo

SD-1117 y los gases no condensables pasan a un sistema de secado para ser enviados al horno H-1001.

La unidad U-1120 realiza despojo al vacío en la torre T-1121A con un sistema de vacío de dos etapas, los gases de cima pasan al pre-condensador SE-1128 (actualizado nuevo), los condensados son enviados al tambor separador nuevo SD-1117 y los gases pasan a la primera etapa de eyectores SJ-1122A, la mezcla de vapor y gases es enviada al inter-condensador de superficie SE-1129A donde el condensado va al tambor separador nuevo SD-1117 y los gases a la segunda etapa de eyectores SJ-1122A, la mezcla de vapor y gases va al after-condensador de superficie SE-1129B donde los condensados van al tambor separador nuevo SD-1117 y los gases no condensables pasan a un sistema de secado para ser enviados al horno H-1001.

El agua condensada que se recibe en el tambor nuevo es enviada al tambor separador de aguas agrias D-1170 por las bombas SP-1117 A/B y el hidrocarburo es enviado por las bombas SP-1118 A/B al sistema de gasóleo en las unidades cracking.

Los gases no condensables del tambor separador al igual que los gases de los post-condensadores del sistema de vacío son enviados a un sistema de secado compuesto el tambor SD-1118 que tiene un lecho de agua clarificada, este lecho permite retirar el H2S y los hidrocarburos, ya que la corriente de gases entra en contacto directo con el lecho a través del tambor y después pasan al tambor SD-1119 el cual esta acondicionado con una malla Demixter que permite retirar la humedad arrastrada en los gases y estos puedan ser enviados al horno H-1001. (Ver figura 23).

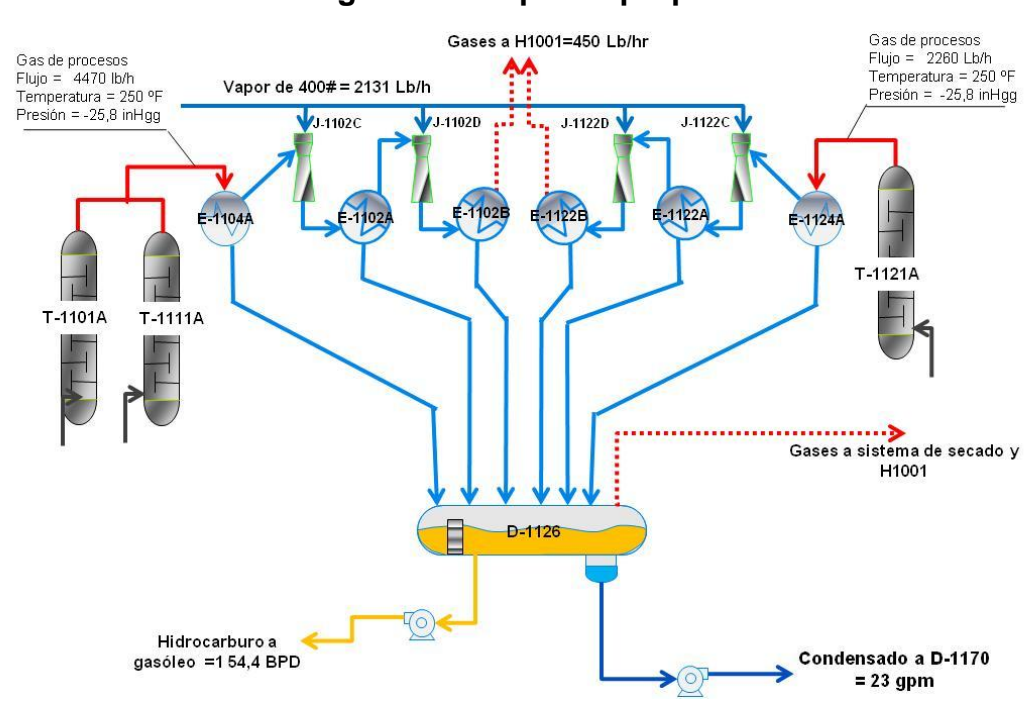


Figura 23. Esquema propuesto

El lecho de agua clarificada debe ser cambiado cuando se sature de H2S e hidrocarburos, por lo cual los tambores SD-1119 y SD-1118 tienen facilidades para enviarla hacia el tambor SD-1117, la cual finalmente será enviada con las demás aguas agrias hacia el tambor D-1170. Estas aguas pueden ser reutilizadas para sistemas de lavado en torres o desalado en unidades de destilación primaria.

7.6.2. Alcance general de los trabajos. Esta ingeniería conceptual suministra la información y los lineamientos básicos necesarios para la elaboración de la ingeniería básica, en este sentido los documentos anexos como listados, hojas de datos, P&ID's y demás, constituyen el punto de partida para el desarrollo de esta ingeniería, pero no se deben considerar como definitivos.

Actividades generales requeridas:

Desmantelamiento del sistema existente:

- Pre-condensadores de cima E-1104 y E-1124.
- Eyectores J-1102 A/B y J-1122 A/B.
- Inter-condensadores de contacto barométrico E-1104 A/B y E-1124 A/B.
- Tambores separadores D-1105 y D-1124.
- Líneas asociadas.
- Adecuación de plataforma para montaje de equipos.
- Trabajos civiles para adecuación del área del pozo caliente para el montaje del tambor separador nuevo.
- Montaje del conjunto del sistema de vacío conformado por pre-condensador, eyectores, inter- condensadores y after-condensadores de superficie.
- Montaje del tambor separador nuevo SD-1117.
- Montaje de tubería y filtros necesarios.
- Trabajos eléctricos y civiles para la instalación de las bombas.
- Sistema de control e instrumentación.
- **7.6.3.** Preparación de las bases de diseño y normas aplicables. Para la elaboración de la ingeniería básica se deberán tener en cuenta los siguientes lineamientos:
- **7.6.3.1.** Idioma. Toda la documentación de este proyecto se ha elaborado en español, excepto las requisiciones que necesiten cotización en el exterior, las cuales se elaborarán en inglés.
- **7.6.3.2 Sistema de medidas**. El sistema de unidades a utilizar es el sistema inglés como principal y el sistema internacional como complementario.

En el diseño se utilizará el sistema de medidas usual en la Refinería, que es parte en Unidades Métricas y parte en Unidades Inglesas. Tabla 39. Ejemplos:

Tabla 40. Unidades a emplear

Diámetro	mm (Dula)
Diametro	mm (Pulg)
Espesor	mm (Pulg), schedule
Temperatura	°C (°F)
Volumen	m ³ (Pie ³)
Longitud	m (Pie)
Caudal	GPM, BPD
Densidad	kg/m ³ , Gr. Sp., (lb/Pie ³)
Masa	kg (lb)
Superficie	m ² , (Pie ²)
Potencia	HP

7.6.3.3. Condiciones ambientales de la refinería

Tabla 41. Condiciones ambientales en Barrancabermeja

VARIABLE	NORMAL	MÁXIMO
Elevación sobre el nivel del mar, msnm	75,9	
Presión Barométrica, mmHg	739	746
Temperatura agua de enfriamiento, °C (°F)	30.5 (87)	32.7 (91)
Temperatura mínima agua de enfriamiento, °C (°F)	30 (86)	
Temperatura bulbo seco, °C (°F)	28 (82.4)	36 (96.8)
Temperatura bulbo seco mínima, °C (°F)	22 (71.6)	
Temperatura ambiente °C (°F)	28 (82.4)	36 (96.8)
Temperatura bulbo húmedo, °C (°F)	82	
Humedad relativa (%)	85	96,7
Voltaje, V	480	
Altura sobre el nivel del mar, mts	75,94	
Velocidad máxima del viento a 10m de altura, m/s	2	
Dirección prevalente del viento	Norte	
Caída pluviométrica 1 hora, mm		77
Caída pluviométrica 24 horas, mm		158
Sismicidad	Region Zona interme	
Permisibilidad de ruido en el área a 1 mt, dB		85

7.6.3.4. Criterios de diseño. A continuación se presentan los criterios de diseño que se deben tener en cuenta para definir la capacidad del nuevo sistema de vacío, garantizando que no afecte el grado de despojo requerido en los procesos. Estos datos de diseño fueron entregados por el departamento de Apoyo Técnico a

la Producción mediante el memorando 1000305-279.

• Especificaciones sistema de vacío U-1100 y U-1110:

Tabla 42. Especificaciones de diseño

Variable	Diseño	
Presión de succión, mm Hg		100
Temperatura de succión, °F		238
	Total	4470
Fluid do cima I h/h	No condensables	300
Flujo de cima, Lb/h	Condensables	
	Vapor de agua	4170
Peso molecular de los gases n	30	
Temperatura de agua de enfria	90	
Delta de temperatura de agua	20	
Presión del vapor motriz, Psig		400
Temperatura del vapor motriz,	720	
Presión de descarga, mm Hg	880	
Velocidad de vapor MPS en tul	pería, ft/s	60-150
Velocidad de condensado y LV	GO en tubería, ft/s	5-10

• Especificaciones sistema de vacío U-1120:

Tabla 43. Especificaciones de diseño U-1120

Variable	Diseño	
Presión de succión, mm Hg		98,1
Temperatura de succión, °F		250
	Total	2260
	No	
Flujo de cima, Lb/h	condensables	150
	Condensables	
	Vapor de agua	2110
Peso molecular de los gases n	30	
Temperatura de agua de enfria	90	
Delta de temperatura de agua	20	
°F	400	
Presión del vapor motriz, Psig		400
Temperatura del vapor motriz,	°F	720

Variable	Diseño
Presión de descarga, mmHg	880
Velocidad de vapor MPS en tubería, ft/s	60-150
Velocidad de condensado y LVGO en tubería,	5-10
ft/s	

7.6.3.5. Normas aplicables. El desarrollo de la Ingeniería Básica y Detallada deberá efectuarse de acuerdo con las últimas ediciones de los Códigos y Normas establecidos por cada especialidad, así mismo se deberán usar los estándares acordados.

La fabricación del sistema de vacío con eyectores a vapor debe seguir la norma:

HEI Standards for steam jet vacuum Systems 10TH edition.

La fabricación de bombas centrifugas debe cumplir con las siguientes normas:

- API STANDARD 610, 10TH EDITION (Centrifugal pumps for petroleum petrochemical and natural gas industries).
- ANSI STANDARD B73.1 (horizontal end suction centrifugal pumps for chemical process).

El diseño de fundaciones e instalación de equipos se deben regir por la norma:

 API STANDARD RP 686, 1TH EDITION (Recommended practice for machinery installation and installation design).

Los tipos de tuberías más comunes a utilizar en ECOPETROL S.A. son los siguientes:

• API 5L Gr A y B: Tubería A. C. sin costura y soldada.

- ASTM A53 Gr A y B: Tubería A. C. sin costura, tipo 5 y soldada tipo E.
- ASTM A106 Gr A y B: Tubería A. C. sin costura, para alta temperatura.
- ASTM A312: Tubería S.S. austenítica, sin costura y soldada.
- ASTM A333: Tubería A. C. sin costura y soldada, para baja temperatura.
- ASTM A335: Tubería de acero aleado, ferrítico, sin costura, para alta temperatura.
- ASTM A358: Tubería S.S. soldada para alta temperatura ($\phi > 8$ ").
- ASTM A671: Tubería soldada A. C. para baja presión y temperatura (φ≥16").

- ASTM A333: Monel.

Las construcciones civiles deben asegurar el cumplimiento de las siguientes normas:

 Normas Colombianas de Diseño y Construcción Sismo Resistente (NSR-98), ley 400 de 1997 – decreto 33 de 1998, Asociación Colombiana de Ingeniería Sísmica (AIS).

- American Concrete Institute (ACI).
- ACI 318 Building Code Requirements for Concrete Reinforced.
- American Society for Testing Materials (ASTM).
- Steel Structures Painting Council (SSPC).
- Structural Steel Detailing.
- Manual of Steel Construction.
- Code of Standard Practice.
- ANSI (American National Standard Institute)
- Instituto Colombiano de Normas Técnicas ICONTEC

Las instalaciones eléctricas deben aseguran el cumplimiento de las siguientes normas:

- NFPA (National Fire Protection Association)
- API (American Petroleum Institute)
- ANSI (American National Standards Institute)
- NEMA (National Electrical Manufacturers Association)

- IEEE (Institute Of Electrical And Electronics Engineers)
- UL (Underwriters Laboratories Inc)
- ICEA (Insulated Cable Engineers Association)
- IES (Iluminating Engineering Society)
- ISA (Instrument Society Of America)
- OSHA (Ocupational Safety And Health Administration).

El diseño de la tubería será conforme a los criterios e instructivos definidos por ECOPETROL para la especialidad de instrumentación y control.

7.6.4. Alcances por especialidad. A continuación se presenta el alcance de cada especialidad para este proyecto.

7.6.4.1. Especialidad proceso

7.6.4.1.1. Requerimiento de equipos, definición de capacidades y facilidades complementarias

Equipos nuevos: El diseño de estos equipos debe cumplir las normas establecidas en el numeral 7.6.3.5. En la ingeniería básica es necesario realizar un estudio de la concentración de H2S y posible arrastre de hidrocarburos en los gases no condensables que van al sistema de secado, para determinar el lecho de agua y las dimensiones de los tambores SD-1118 y SD-1119 que componen el sistema.

Tabla 44. Equipos del nuevo sistema

Cantidad	Nombre del equipo	Servicio	Capacidad
2	Eyector gas- gas SJ- 1102 A	Dispositivo generador de vacío U-1100 y U- 1110 primera etapa	Flujo vapor motriz = 618 Lb/h Presión de succión = 92 mmHg Temperatura succión = 105 °F Longitud = 3,46 ft Diámetro = 7 in
2	Eyector gas- gas SJ- 1102 B	Dispositivo generador de vacío U-1100 y U- 1110 segunda etapa	Flujo vapor motriz = 792 Lb/h Presión de succión = 248 mmHg Temperatura succión = 117 °F Longitud = 2,22 ft Diámetro = 7 in
2	Eyector gas- gas SJ- 1122 A	Dispositivo generador de vacío U-1120 primera etapa	Flujo vapor motriz = 351 Lb/h Presión de succión = 92 mmHg Temperatura succión = 105 °F Longitud = 2,72 ft Diámetro = 7 in
2	Eyector gas- gas SJ- 1122 B	Dispositivo generador de vacío U-1120 segunda etapa	Flujo vapor motriz = 370 Lb/h Presión de succión = 263 mmHg Temperatura succión = 117 °F Longitud = 1,34 ft Diámetro = 4 in
1	SE-1118	Pre-condensador U-1100 y U-1110	Tipo AXS Área = 1470 ft2 Duty = 4,62 MMBtu/h
1	SE-1119 A	Inter- condensador primera etapa U-1100 y U-1110	Tipo AES Área = 327 ft2 Duty = 0,87 MMBtu/h
1	SE-1119 B	Inter- condensador segunda etapa U-1100 y U-1110	Tipo AES Área = 161 ft2 Duty = 0,93 MMBtu/h
1	SE-1128	Pre-condensador U-1120	Tipo AXS Área = 760 ft2 Duty = 2,17 MMBtu/h
1	SE-1129 A	Inter- condensador primera etapa U-1120	Tipo AES Área = 170 ft2 Duty = 0,49 MMBtu/h

Cantidad	Nombre del equipo	Servicio	Capacidad
1	SE-1129 B	Inter- condensador segunda etapa U-1120	Tipo AES Área = 81,3 ft2 Duty = 0,44 MMBtu/h
1	SD – 1117	Tambor de sello para el sistema de vacío	Longitud = 7,25 ft Diámetro = 2,5 in Presión = 5 Psig Temperatura = 120 °F
1	SD – 1118	Tambor para remoción del sistema de off- gas	Longitud = Diámetro = Presión = Temperatura =
1	SD – 1119	Tambor de secado del sistema de off- gas	Longitud = Diámetro = Presión = Temperatura =
2	Bomba centrifuga SP-1117 A/B	Bomba para retirar el hidrocarburo del tambor SD-1117	Flujo Intermitente ≈ 108 gpm Presión de descarga = 120 Psig 10,8 Hp
2	Bomba centrifuga SP-1118 A/B	Bomba para retirar el agua del tambor SD-1117	Flujo 23 gpm Presión de descarga =120 Psig 2,3 Hp

7.6.4.1.2. Definición de cantidades y especificaciones del proceso. Las especificaciones de operación y diseño que se listan a continuación hacen parte de las ofertas técnicas realizadas por compañías especializadas en este tipo de sistemas. Los cálculos se realizaron en base a la información suministrada por el departamento técnico de la Refinería. Ver Anexo de Proceso 1. Propuesta técnica.

El flujo de hidrocarburo que puede ser arrastrado al sistema de vacío se calculó mediante simulación de las condiciones de despojo en las torres con el simulador de procesos Pro II.

• U-1100 y U-1110

Tabla 45. Manejo de cargas en el sistema de vacío

Variable	Fluia	Presión (Psig)		Temperatura (°F)		
Variable	Flujo	Operac ión	Diseñ o	Operaci ón	Dise ño	
Corriente de gases de cima, lb/h	4470	100 m	mHg	238	238	
Carga a 1ra etapa de eyectores, lb/h	570.1	92 mmHg		105		
Carga a 2da etapa de eyectores, lb/h	384.7	248.8 mmHg		117		
Agua de enfriamiento a Pre-cond, gpm	450	120 - 150	185	90	120	
Agua de enfriamiento a 1ra Etapa, gpm	218.1	120 - 150	185	90	120	
Agua de enfriamiento a 2da Etapa, gpm	231.9	120 - 150	185	90	120	

• U-1120

Tabla 46. Manejo de cargas en el sistema de vacío U-11201

Variable	Fluia	Presión (Psig)		Temperatura (°F)	
Variable	Flujo	Operaci ón	Diseñ o	Operac ión	Dise ño
Corriente de gases de cima, lb/h	2110	100 m	mHg	250)
Carga a 1ra etapa de eyectores, lb/h	285	92 mr	nHg	Hg 105	
Carga a 2da etapa de eyectores, lb/h	189.1	263 mmHg		117	
Agua de enfriamiento a Pre-cond, gpm	225	120 - 150	185	90	120
Agua de enfriamiento a 1ra Etapa, gpm	122	120 - 150	185	90	120
Agua de enfriamiento a 2da Etapa, gpm	103	120 - 150	185	90	120

• Tambor separado SD-1117 (nuevo)

Tabla 47. Corrientes líquidas efluente del sistema

		Presión (Psig)	Temperatura (°F)	
Variable	Flujo	Operació	Dise	Operació	Diseñ
		n	ño	n	0
Aguas al D-1107, gpm	16,8	85	120	115	170
Hidrocarburo a Gasóleo, gpm	4.5	85	120	115	170

7.6.4.1.3. Dimensionamiento preliminar del área para distribución de equipos:

Se desmantelan los pre-condensadores E-1104 y E-1124 del sistema de vacío actual que se encuentran en el último nivel de la plataforma, en este nivel queda disponible un área de 40 x 37 ft, donde se instalarán en forma de paquetes los equipos de cada sistema de vacío como se muestra en el Anexo de Procesos 2 (Plano de distribución de equipos). Cada conjunto está compuesto por 1 precondensador, 4 eyectores y 2 inter-condensadores, este conjunto tiene un tamaño aproximado de 6 x 16 x 6 ft.

El tambor separador con un tamaño de 7.25 x 2.5 ft se instalará en un área de 9 x 4 ft donde se encuentra el pozo caliente actualmente.

7.6.4.1.4. Plano general de la distribución de equipos

Ver Anexo de Procesos 2. Plano de distribución de equipos.

7.6.4.1.5. Plano de localización del proyecto, vía de acceso, área geográfica.

• Ver Anexo de Proceso 3: Plot Plan lado sur Planta de Parafinas.

7.6.4.1.6. Análisis de servicios industriales y de los elementos externos: El sistema de vacío propuesto consumirá un total de 450 gpm de agua de enfriamiento provenientes de la torre de enfriamiento TAE-831 que tiene una capacidad de 35.000 gpm. El sistema actual consume un total de 454 gpm, por lo cual el flujo de agua de enfriamiento que actualmente se está abasteciendo al sistema es suficiente para el nuevo sistema, no requiriendo mayor consumo de agua de enfriamiento y la temperatura de retorno de 117°F se encuentra dentro de las especificaciones de diseño.

7.6.4.1.7. Recomendaciones de seguridad industrial: Es necesario cumplir con las normas de seguridad establecidas para el diseño de equipos y líneas a instalar, las cuales ya han sido descritas en el numeral 6.6.3.5 (Preparación de las bases de diseño y normas aplicables). Se deberán tener en cuenta las recomendaciones generales que se definan en el HAZOP anexo.

7.6.4.1.8. Esquema operacional

• U-1100 y U-1110

Las torres de despojo T-1101A y T-1111A operan con presión de vacío de 100 mmHg, para lograr este vacío los gases de cima con un flujo de 4470 Lb/h a 238 °F entran al pre-condensador SE-1118 donde 3899.9 lb/h de vapor de agua en la carga son condensados con 450 gpm de agua de enfriamiento antes de entrar a las etapas de eyección; 7.8 gpm de condensado es enviado al tambor separador SD-1117 y 570 Lb/h de gases a 92 mmHg y 105°F pasan a la primera etapa de eyectores SJ-1102A de los cuales opera un solo eyector con 618 Lb/h de vapor motriz de 400# a 720°F, la mezcla de vapor y gases es enviada al intercondensador de superficie SE-1119A que condensan 803 Lb/h de vapor con 218 gpm de agua de enfriamiento, enviando 1.6 gpm de condensados al tambor SD-1117 y 384.7 Lb/h de gases a 248.8 mmHg y 117°F a la segunda etapa de eyectores SJ-1102B donde opera un eyector con 792 Lb/h de vapor motriz de

400# a 720°F, la mezcla de vapor y gases es enviada al post-condensador de superficie SE-1118B donde 855 Lb/h de vapor son condensados con 231 gpm de agua de enfriamiento, enviando 1.7 gpm de condensados al tambor SD-1117 y 321 lb/h de no condensables pasan al sistema de secado para ser enviados al horno H-1001.

U-1120

La torre de despojo T-1121A opera con presión de vacío de 100 mmHg, para lograr este vacío los gases de cima con un flujo de 2260 Lb/h a 250 °F entran al pre-condensador SE-1128 donde 1975 lb/h de vapor de agua en la carga son condensados con 225 gpm de agua de enfriamiento antes de entrar a las etapas de eyección, 3.95 gpm de condensado es enviado al tambor separador SD-1117 y 285 Lb/h de gases a 92 mmHg y 105°F pasan a la primera etapa de eyectores SJ-1122A de los cuales opera un solo eyector con 351 Lb/h de vapor motriz de 400# a 720°F, la mezcla de vapor y gases es enviada al inter-condensador de superficie SE-1129A que condensan 447 Lb/h de vapor con 122 gpm de agua de enfriamiento, enviando 0.9 gpm de condensados al tambor SD-1117 y 189 Lb/h de gases a 263 mmHg y 117°F a la segunda etapa de eyectores SJ-1122B donde opera un eyector con 370 Lb/h de vapor motriz de 400# a 720°F, la mezcla de vapor y gases es enviada al after-condensador de superficie SE-1129B donde 398.4 Lb/h de vapor son condensados con 103 gpm de agua de enfriamiento, enviando 0.8 gpm de condensados al tambor SD-1117 y 160.6 lb/h de no condensables pasan al sistema de secado para ser enviados al horno H-1001.

Un flujo de 16.8 gpm de agua condensada que se recibe en el tambor SD-1117 es enviada al tambor separador de aguas agrias D-1170 por las bombas P-1110 A/B, un aproximado de 4.5 gpm de hidrocarburo que es arrastrado al sistema de vacío es enviado por las bombas P-1109 A/B al sistema de gasóleo en las unidades cracking y los gases que se acumulen en el tambor SD-1117 son enviados al sistema de secado para ser enviados al horno H-1001. Al sistema de secado

entran alrededor de 482 Lb/h de gases no condensables.

7.6.4.1.9. Requerimientos de medición: En el anexo de procesos 9, se realiza un listado de instrumentos que deben ser instalados para la adecuada operación del sistema de vacío a instalar.

7.6.4.1.10. Programa de constructibilidad inicial: La Unidad de tratamiento con Hidrógeno de la Planta de Parafinas se debe encontrar en parada general antes de iniciar cualquier trabajo para realizar el cambio de los sistemas de vacío en las secciones de despojo. El personal encargado de la planta deberá garantizar la realización de la despresurización, lavado de líneas y equipos, además de realizar una correcta aplicación del SAS.

- Las líneas de gases de cima de las torres de despojo T-1101A, T-1111A y T-1121A deben estar lavadas, despresurizadas y segadas antes de iniciar cualquier trabajo.
- Los sistemas de vacío se desmantelaran a partir de los pre-condensadores según P&ID de desmantelamiento (Anexo de Proceso 4. Desmantelamiento de líneas y equipos).
- Los equipos del sistema de vacío son acoplados por el proveedor y son entregados en conjunto o por paquete, por lo cual solo se requieren tuberías para asociarse con torres, bombas y agua de enfriamiento.
- El punto de conexión en el sistema de vacío de las unidades U-1100 y U-1110 será el final de la línea de 14" de gases de cima con un reductor a 12" para acoplar con la entrada de gases del SE-1118 TIE-IN 001.

- El punto de conexión del sistema de vacío de la unidad U-1120 será el final de la línea de 10" de gases de cima con una conexión de 10" a la entrada de gases del SE-1128 TIE-IN 002.
- En la salida de condensado en los inter-condensadores se deben instalar piernas barométricas de 1.5 pulgadas hasta el tambor SD-1117.
- En el pre-condensador SE-1118 se debe acoplar la línea existente para agua de enfriamiento de 6" a la entrada TIE-IN 003 y salida TIE-IN 004.
- En el pre-condensador SE-1128 se debe acoplar la línea existente para agua de enfriamiento de 4" a la entrada TIE-IN 005y salida TIE-IN 006.
- Instalar línea de 2" para enviar gases no condensables del SD-1117 al tambor de secado nuevo y finalmente enviarlos gases al H-1001 TIE-IN 007.
- Acople de la línea de 3" de gases no condensables a salida de gases del SE-1119B con la línea 3"-0-A01-1B-11097/2 TIE-IN 008.
- Acople de la línea de 2" de gases no condensables a salida de gases del SE-1129B con la línea 2"-0-A01-1B-11275/2 TIE-IN 009.
- Instalar línea 2" desde la bomba P-1110 A/B hasta el tambor SD-1117 TIE-IN 010.
- Instalar línea de 2" a la salida de las bombas SP-1117 A/B hasta la línea 2"-0-A01-1D-11278/1 para enviar el hidrocarburo a Cracking TIE-IN 011.
- Acople de la línea de vapor de 400# de 3" a los eyectores SJ-1102 A/B TIE-IN

012.

 Acople de la línea de vapor de 400# de 3" a los eyectores SJ-1122 A/B TIE-IN 013.

7.6.4.1.11. Distribución de áreas

No requiere.

7.6.4.1.12. Diagramas de bloques

Ver Anexo de Proceso 5: Diagrama de bloques sistema de vacío U-1100, U-1110 y U-1120.

7.6.4.1.13. Planos esquemáticos

No requiere.

7.6.4.1.14. Diagrama preliminar de instrumentación y proceso (P&ID) de la planta

Ver Anexo de Proceso 6. P&ID Sistema de Vacío U-1100, U1110 y U-1120

7.6.4.1.15. Hoja preliminar de balance de materiales

No requiere.

7.6.4.1.16. Hoja de datos del proceso

Tabla 48. Información de proceso del sistema

UNIDA	UNIDADES		U-1100 y U1110		U-1120	
Pre-condensador	Pre-condensador		E-1118		E-1128	
Tipo	Tipo		AXS		AXS	
Flujo de agua de er	friamiento, gpm	4:	50	22	25	
Temperatura de ent	trada AE, ⁰F	9	00	9	0	
Temperatura de sal	ida AE, ⁰F	10	9.1	10	9.4	
	Flujo total	44	70	22	60	
Flujo de carga a la siguiente etapa,	No-condensable	30	00	15	50	
Lb/hr	Condensables	41	70	21	10	
	Vapor	41	70	21	10	
Presión de entrada	, mmHgA	100		100		
Temperatura de ent	trada, ºF	238		250		
Presión de salida, r	nmHgA	95		95		
Temperatura de sal	ida, ⁰F	105		105		
Flujo condensado l	_b/hr	3899.9		1500		
No de Etapas del si →	stema de vacío	2		2		
		SJ-	SJ-	SJ-1122	SJ-1122	
Eyector		1102A	1102B	Α	В	
Presión de succión	, mmHgA	92	248.8	92	263	
Temperatura de su	cción, ºF	105	117	105	117	
Consumo de vapor motriz, Lb/hr		618	792	351	370	
Flujo de carga,	Flujo total	570.1	384.7	285	189.1	
Lb/hr	No- condensables	300	300	150	150	

UNIDADES		U-1100 y U1110		U-1120	
	Condensables				
	Vapor	270.1	84.7	135	39.1
Presión de descarga, mmHgA		268	910	283	910
Inter-condensadores		SE-	SE-	SE-	SE-
		1119A	1119B	1129A	1129B
Tipo		AES	AES	AES	AES
Flujo de agua de enfriamiento, gpm		218	231	122	103
Temperatura de entrada AE, ⁰F		109.1	109.1	109.4	109.4
Temperatura de salida AE, ⁰F		117.2	117.2	118.1	118.1
Flujo de carga, Lb/hr	Flujo total	1187.7	1176	636	559
	No- condensables	300	300	150	150
	Condensables				
	Vapor	887.7	876	486	409
Presión de entrada, mmHgA		265	905	280	905
Temperatura de entrada, ºF		418.1	515.2	436.2	509.7
Presión de salida, mmHgA		252.75	880	266	880
Temperatura de salida, ºF		117	122	117	122
Flujo condensado Lb/hr		803	855	446.9	398.4

7.6.4.1.17. Diagrama de banderas (flujos, presiones y temperaturas)

Anexo de Proceso 8. Diagrama de banderas Sistema de Vacío U-1100, U1110 y U-1120.

7.6.4.1.18. Diagramas de flujo simplificados

Anexo de Proceso 8. Diagrama de flujo simplificado Sistema de Vacío U-1100,

U1110 y U-1120.

7.6.4.1.19. Grado de automatización requerido

Ver alcance de especialidad de instrumentación y control; numeral 6.6.4.6.

7.6.4.1.20. Plan de transferencia tecnológica involucrada al proyecto. En las etapas posteriores (ingeniería básica, ingeniería de detalle, gestión de compras, contratación, montaje y puesta en marcha) se debe asegurar que las nuevas tecnologías, métodos, procedimientos de mantenimiento, entre otros, sean transmitidas al personal que acompañará la operación. Se debe programar un entrenamiento a los operadores y encargados del área en donde quedara instalado el sistema de vacío.

Igualmente, debe cumplirse el proceso de Gestión Documental y Gestión de Activos, garantizando que el conocimiento sea adecuadamente asegurado por la organización (actualización de planos, documentos técnicos, archivos, caracterización, catalogación, listado de líneas, listado de tien s y data sheet, entre otros.).

7.6.4.1.21. Justificación económica. Ahorros por la eliminación del consumo de 305 gpm de agua Miramar con un valor de 130 \$KUSD, 2131 Lb/h de vapor de 400# con un valor de 281 \$KUSD y degradación de productos a Slop con un valor de 1.167 \$KUSD, que junto con el ahorro por el tratamiento de los condensados de vacío en la PTAR (22 \$KUSD) dan un total de **1.802 \$KUSD** en ahorro anual.

La inversión realizada tiene un costo de **3.081 KUSD**, una evaluación del ciclo de vida de retorno de la inversión a 15 años permite obtener una relación beneficio/costo igual a **1.9**.(Ver detalle de la estimación Anexo 12).

7.6.4.1.22. Estudios preliminares del impacto ambiental

Tabla 49. Efectos preliminares ambientales sociales de la propuesta

Aspectos	Aspectos	Pagultadas		
considerados	evaluados	Resultados		
Ambientales	Impacto ambiental	Disminución del consumo de recursos naturales en la Refinería: El cambio de condensadores de contacto por condensadores de superficie eliminará el consumo de 305 gpm de agua cruda Miramar y 2131 Lb/h de vapor. Se reduce la generación de 315 gpm de aguas residuales con descarga de contaminantes (H ₂ S, HC, NH3 y Fenoles) a los sistemas de aguas aceitosas y a la atmósfera.		
		Se disminuye el envío de 18.845 Barriles/año de hidrocarburo a los sistemas de aguas aceitosas. El desmantelamiento del pozo caliente elimina las emisiones de H ₂ S y gases explosivos en el área.		
e Ambientales	Manejo de residuos y/o efluentes peligrosos	El manejo y disposición de residuos sólidos y/o efluentes peligrosos generados por parte del proyecto en su construcción y operación serán controlados según lo establecido en el Plan de Manejo Ambiental del Complejo.		
Sociale	Mano de obra	Generación de expectativas de trabajo por la construcción del proyecto.		

Aspectos considerados	Aspectos evaluados	Resultados	
Considerados	evaluados		
		Existencia en la zona de mano de obra	
		calificada y no calificada para la ejecución del	
		proyecto.	
		Disponibilidad de mano de obra dependiendo	
		de los aspectos salariales del proyecto	
		(convencional o no convencional).	
		Existen tres sindicatos de influencia en la	
	Aspectos	Refinería.	
	gremiales	La influencia de los sindicatos en el complejo	
		industrial ya no es tan marcada.	
	Aspectos	Pocos problemas de orden público en la zon	
	socio-políticos	Pocos problemas de orden público en la zona.	

7.6.4.1.23. Bases para la definición de las filosofías de operación, mantenimiento y confiabilidad

• Filosofía de operación

Sistemas de operación continua, manteniendo una presión de vacío de 100 mmHg en las torres de despojo de H₂S. Suministro constante de vapor de 400# a 720°F como fluido motriz de los eyectores, así como agua de enfriamiento para realizar condensación intermedia en los condensadores de superficie. Los equipos de bombeo necesarios para desalojar el agua e hidrocarburo de los tambores separadores pueden ser de operación continua o intermitente dependiendo del flujo a bombear.

La calidad del vapor y temperatura del agua de enfriamiento son variables que se deben mantener fijas para la eficiente operación del sistema e vacío. El direccionamiento de los gases y H2S del sistema de vacío se dirige en operación normal a la planta de ácido de la Refinería y el vertimiento líquido cambia su destino original (PTAR), por el destino de agua de despojo en las unidades FCC o sistema de desalado de las unidades de destilación primaria.

• Filosofía de mantenimiento

Se debe poder realizar mantenimiento preventivo en caliente cada año y mantenimiento general en paradas de planta cada 5 años.

Los programas de mantenimiento para equipo rotativo no cambian en cuanto a lo establecido en Refinería, ya que estos equipos son del mismo tipo que operan en otras aplicaciones en la Refinería.

Los eyectores son de alta confiabilidad y bajo mantenimiento, por lo cual no se requieren programas de mantenimiento diferentes a los que ya la refinería maneja para este tipo de eyectores.

Los inter-condensadores de superficie deben tener haz de tubos removible, por lo demás son del mismo tipo a los que los que se encuentran operando en otras aplicaciones y no requieren un programa de mantenimiento diferente al ya establecido para estos equipos.

Los tambores separadores deben seguir el programa de mantenimiento ya establecido en la Refinería para estos equipos en aplicaciones de sistemas de vacío.

Filosofía de confiabilidad

La corriente de gases de cima tiene alto contenido de H₂S y es corrosiva por lo cual se plantea la aplicación de químicos inhibidores para este sistema y de esta forma proteger la integridad de líneas y equipos.

Los eyectores a vapor son equipos estáticos de alta confiabilidad, no se plantea que su confiabilidad pueda cambiar.

Los tambores deben tener la facilidad de drenar al piso en caso de falla u obstrucción de las bombas, además cada bomba debe tener su respectivo equipo stand-bye.

Los intercambiadores deben tener facilidades de limpieza en operación, en caso de que producto pueda ensuciar los tubos y desmejorar la operación.

7.6.4.1.24. Análisis de riesgos operativos HAZOP

Ver anexo. 10. Análisis de riesgos HAZOP

7.6.4.1.25. Requerimientos de control de calidad.

El diseño y montaje de los equipos debe cumplir las normas y estándares nombrados en el numeral 7.6.3.5.

7.6.4.2. Especialidad mecánica rotativa

7.6.4.2.1. Alcance de la especialidad: El alcance de equipo rotativo para este proyecto contempla la selección de equipos de bombeo y diseño de instalaciones para el montaje de equipos. La construcción de obras civiles e instalación de las bombas se llevará a cabo en el espacio disponible en el área del pozo caliente junto al tambor separador nuevo SD-1117. Se plantea la instalación de una bomba para desalojar 4.5 gpm de hidrocarburo y una bomba para desalojar 16.8 gpm de agua condensada del tambor SD-1117. La operación de estas bombas puede ser intermitente y cada bomba debe contar con su respectivo equipo stand bye.

7.6.4.2.2. Programa de constructibilidad inicial: La instalación de las bombas se realizará en el espacio disponible en el área del pozo caliente y junto al tambor separador SD-1117, durante visitas realizadas al sitio de instalación de los equipos se contempla la disponibilidad de espacio para la instalación de los equipos, los demás análisis respectivos de la constructibilidad se realizarán durante el desarrollo de la ingeniería básica, después de definir el tipo de equipos a instalar, junto con sus dimensiones preliminares y requerimientos especiales de instalación.

7.6.4.2.3. Identificación de equipos principales (tamaño, precios, facilidad de **obtención):** Las posibles opciones para estos equipos se encuentran dentro de equipos estándar de los fabricantes inscritos dentro de las marcas aceptadas por la Refinería. Se presenta hoja de especificación preliminar para estos equipos (Anexo de Proceso 1. Propuesta técnica).

7.6.4.2.4. Bases para la definición de las filosofías de mantenimiento, operación y confiabilidad. Para el mantenimiento de estos equipos no se prevén consideraciones especiales de mantenimiento, en cuanto a la operación de los equipos se prevé la utilización de dos bombas que operarían una como stanby del otro equipo, procedimientos en caso de falla y disponibilidad de repuestos críticos necesarios. Mediante el esquema de operación planteado no se prevé la falla de los dos equipos de bombeo simultáneamente.

7.6.4.2.5. Análisis de Causa Raíz - RCA del Equipo Rotativo a cambiar

No aplica.

7.6.4.2.6. Requerimientos de control de calidad: El diseño y montaje de los equipos de bombeo debe cumplir las normas y estándares nombrados en el numeral 7.6.3.5.

7.6.4.3. Especialidad mecánica estática y tubería

7.6.4.3.1. Alcance de la especialidad: En esta parte del documento se describen las especificaciones preliminares para los trabajos de las obras metalmecánicas tales como, instalación de equipo estático, bombas, válvulas y demás accesorios que son necesarios para el proyecto, que hacen parte de la presente ingeniería conceptual. Estas especificaciones constituyen una referencia para quien ejecute las actividades aquí descritas. Se tiene en cuenta en este documento el desmantelamiento del sistema existente.

Las obras de desmantelamiento deben seguir el P&ID de desmantelamiento. Ver Anexo de Proceso 4. Desmantelamiento de líneas y equipos.

Equipo estático mayor:

- El proveedor del sistema de vacío entregara un paquete con los equipos del sistema listo para el montaje, por lo cual se deberá construir una sola bases el montaje de pre-condensador, eyectores e inter-condensadores.
- Montaje del tambor separado SD-1117 sobre en área del pozo caliente.
 Tubería:
- Reducción de 14"x10" para enviar los gases de cima de las torres T-1101A y T-1111A al pre-condensador SE-1118.
- Unión de 10" para enviar los gases de cima de la T-1121A al pre-condensador SE-1128.
- Piernas barométricas de 1.5" para enviar los condensados de los precondensadores SE-1118 y SE-1128 e inter-condensadores E-1119 A/B y E-

1129 A/B al tambor SD-1117.

 Línea de 2" del SD-1117 a la succión de la bomba P-1109 A/B y línea de 2" de la descarga de la bomba hasta el D-1170.

 Línea de 2" del SD-1117 a la succión de la bomba P-1110 A/B y línea de 2" de la descarga de la bomba.

• Línea de 2" para enviar gases no condensables del SD-1117 hasta el D-1107.

En el anexo de proceso 11, se presenta la lista de líneas y equipos nuevos requeridos por el proyecto. Se solicita para la ingeniería básica revisión hidráulica de líneas existentes.

7.6.4.3.2. Bases para la definición de las filosofías de mantenimiento, operación y confiabilidad.

Ver numeral 7.6.4.1.23.

7.6.4.3.3. Plot Plan

Anexo de Proceso 3. Plot Plan lado sur Planta de Parafinas.

7.6.4.3.4. Requerimientos de control de calidad: El diseño y montaje del equipo estático y tubería debe cumplir las normas y estándares mencionados en el numeral 6.6.3.5.

7.6.4.4. Especialidad civil

7.6.4.4.1. Plano de localización del proyecto, vía de acceso, área geográfica

Anexo de Proceso 3. Plot Plan lado sur Planta de Parafinas.

7.6.4.4.2.Programa de constructibilidad inicial: Se deberá realizar la fundación de Bases de Concreto, losas y zapatas de fundación para las Bombas y líneas del proyecto en mención. (Bombas Centrífugas, Equipo Principal, Equipo secundario, etc.).

Adecuación del área donde se encuentra el pozo caliente para instalar el tambor separador SD-1117, realizando todas las obras necesarias como: rellenos, colocación de placas de soporte y demás.

Base para el montaje del paquete de equipos que conforman el sistema de vacío y soportes para tuberías nuevas.

Se deberán realizar todos los trabajos civiles con base en el documento Job instruction Civil 16-2.

Se deberá realizar el Análisis de Constructibilidad y elaboración del correspondiente Panorama de Riesgos, considerando que los trabajos se desarrollarán con el área de almacenamiento en operación y deberá contar con el personal y los equipos requeridos para realizar sus labores con la condición mencionada.

7.6.4.4.3. Distribución de áreas

No aplica.

7.6.4.4.4. Condiciones del lugar

Ver numeral 7.6.3.3.

7.6.4.4.5. Requerimientos de control de calidad: Las obras civiles que se deban llevar a cabo para el montaje del equipo rotativo, estático y tubería deben cumplir las normas y estándares mencionados en el numeral 6.6.3.5.

7.6.4.5. Especialidad eléctrica

7.6.4.5.1. Alcance de la especialidad: El alcance eléctrico del presente proyecto debe contemplar el diseño, especificación, suministro, instalación, pruebas y puesta en servicio de cuatro motores eléctricos junto a su respectivo banco de ductos y acometidas eléctricas de fuerza y control, además de las adecuaciones mecánicas y eléctricas a realizar en el MCC de la subestación principal de Parafinas para el montaje de los arrancadores correspondientes a cada motor; éstos motores corresponden a los requeridos para la operación de los sistemas de bombeo del nuevo sistema de vacío en la planta de Parafinas.

7.6.4.5.2. Capacidades y características de los sistemas operacionales: Los equipos, materiales y trabajos dentro del alcance eléctrico del presente proyecto cumplirán con los requerimientos del documento VRP-DPY-E-311 "Criterios generales de diseño eléctrico".

Motores eléctricos

La capacidad (potencia) y revoluciones de cada uno de los motores eléctricos será la definida por la curva característica de cada bomba. El suministro de energía eléctrica para estos motores será a una tensión de 480 [V] trifásico-trifilar, 60 [Hz].

Los motores así como sus accesorios y conexiones eléctricas deben ser certificados para operación en área peligrosa o clasificada según el plano GCB-5202166-2118-ES-EI-PL-002-R0 "Clasificación de áreas lado sur Planta Parafinas", así como lo exige la norma NFPA 70.

La especificación y compra de los motores eléctricos se debe realizar de acuerdo al documento VRP-DPY-E-303 "Especificación técnica de motores de inducción jaula de ardilla de baja y media tensión" según aplique. El montaje de los motores y sus estaciones pulsadoras se deben realizar de acuerdo a los documentos Estándar Eléctrico EP025 "Montaje de motores de baja tensión menor de 75HP", EP028 "Montaje de estación de control de arranque y parada" y ET004 "Montaje de sistema de puesta a tierra para motores".

Banco de ductos

Se debe elaborar un banco de ductos totalmente subterráneo para las acometidas de fuerza y control, desde el sótano de la subestación principal hasta la ubicación exacta de cada motor. La ruta del banco de ductos debe ser la más corta posible, de trazo sencillo, evitando manholes y cajas de halado innecesarias. Debe considerarse el mínimo de desviaciones y cambios de nivel en el recorrido.

La construcción y montaje del banco de ductos se debe realizar de acuerdo a los documentos VRP-DPY-E-310, "Especificación general de montaje eléctrico" según aplique, VRP-DPY-E-316 "Especificación tubería conduit" y del Estándar Eléctrico EP018 "Banco de ductos subterráneos".

• Acometidas eléctricas

La especificación y compra de los cables eléctricos se debe realizar de acuerdo al documento VRP-DPY-E-302, "Especificación de cables de potencia y control". Los cables de potencia deben cumplir, como mínimo, con los siguientes parámetros básicos de construcción:

Tabla 50. Parámetros mínimos de cableado eléctrico

Conductor	Cobre suave
Numero de hilos	7 hilos para calibres 18 al 2 AWG 19 hilos para calibres 1 al 4/0 AWG
Configuración	Monopolar
Aislamiento	THHN/THWN
Temperatura de operación	Lugares secos o húmedos: 90°C
Voltaje de operación	600 V
Fabricante	Según Vendor List Ecopetrol

Los calibres de los cables de fuerza de cada motor se deben calcular teniendo en cuenta una caída de tensión máxima de 3% en operación normal y del 15% durante el arranque del motor.

Los cables de control deben cumplir, como mínimo, con los siguientes parámetros básicos de construcción:

Tabla 51. Parámetros mínimos de cableado del sistema de control

Conductor	Cobre suave
Numero de hilos	7 hilos
Configuración	Multiconductor
Aislamiento	THHN/THWN
Temperatura de operación	Lugares secos o húmedos: 90°C
Voltaje de operación	600 V
Fabricante	Según Vendor List Ecopetrol

El calibre de los cables de control será #12 AWG.

La distancia de cada acometida será tomada cuando se defina el lugar exacto de

cada arrancador y cada motor.

Arrancadores

Es parte del alcance del presente proyecto realizar las adecuaciones mecánicas y eléctricas que sean requeridas para la óptima operación de los arrancadores de los motores eléctricos dentro del MCC existente en la Subestación eléctrica principal de la planta de Parafinas.

7.6.4.5.3. Requerimientos de medición

N/A

7.6.4.5.4. Programa de constructibilidad inicial: Se deberá realizar el Análisis de Constructibilidad y elaboración del correspondiente Panorama de Riesgos, considerando que los trabajos se desarrollarán con la planta en operación y deberá contar con el personal y los equipos requeridos para realizar sus labores con la condición mencionada.

7.6.4.5.5. Identificación de equipos principales (tamaño, precios, facilidad de obtención)

N/A

7.6.4.5.6. Diagramas Unifilares

N/A

7.6.4.5.7. Requerimientos de control de calidad: Los diseños, especificaciones y montajes eléctricos se deben ejecutar de acuerdo a los siguientes documentos:

- VRP-DPY-E-311 "Criterios generales de diseño eléctrico".
- VRP-DPY-E-310 "Especificación general de montaje eléctrico"
- VRP-DPY-E-303 "Especificación técnica de motores de inducción jaula de ardilla de baja y media tensión"
- VRP-DPY-E-316 "Especificación tubería conduit"
- VRP-DPY-E-302 "Especificación de cables de potencia y control"
- VRP-DPY-E-312 "Especificación técnica típicos de montaje"
- EP025 "Montaje de motores de baja tensión menor de 75HP"
- EP028 "Montaje de estación de control de arranque y parada"
- ET004 "Montaje de sistema de puesta a tierra para motores"
- EP018 "Banco de ductos subterráneos"

7.6.4.6. Especialidad instrumentos

7.6.4.6.1. Alcance de la especialidad y requerimientos de Instrumentación, Control y/o Medición: El alcance de instrumentación contempla el diseño, especificación, suministro, instalación y puesta en servicio de la instrumentación definida por proceso para la operación adecuada del nuevo sistema de vacío en la planta de Parafinas. La ubicación de la instrumentación está definida en los P&ID de proceso. Este sistema requiere lazos de control que le permitan evacuar los

condensados de vacío y el hidrocarburo arrastrado de forma que se controlen los niveles de estos en el tambor separador SD-1117 sin que se pierda el sello del sistema. Los nuevos lazos de control serán cableados al DCS Foxboro ubicados en el cuarto de control de la planta de parafinas; y deben permitir la supervisión y control del sistema de vacío de la sección de despojo de la planta de parafinas de acuerdo al alcance señalado.

En general el alcance incluye los siguientes aspectos:

- Se deben seguir los estándares definidos por la Refinería para el suministro y montaje de la instrumentación de presión, flujo y nivel, bandejas, cajas de interconexión de campo, cableado y sistemas de control.

Los transmisores, en general, serán electrónicos con salida de 4-20mA, HART compatibles con el sistema de control Foxboro I/A de la planta. El encerramiento de requerirse, deberá ser NEMA 4X y 7. Todos los transmisores serán especificados con LCD.

- Todos los cables de interconexión deben estar marcados en ambas terminaciones con número de cable/conector. Las conexiones deben estar en ambas extremos con sus números de tags (en donde aplique) utilizando marcadores del tipo cubrimiento elástico o equivalente.
- Todos los equipos, cajas de conexión, paneles y bandejas deben ser conectados al sistema general de tierra. Los cables apantallados se conectarán al sistema general de tierra en un solo extremo cuando se trate de cables de instrumentación. Cuando se trate de cables de potencia, las pantallas estarán conectadas en sus dos extremos y todos los empalmes. Además Se incluye la conexión de las señales en las cajas de interconexión de campo y en el concentrador del cuarto de control de parafinas.

- Las señales provenientes de campo serán cableadas al tablero concentrador de señales actual en el cuarto de control de parafinas a través de barreras tipo insolator para garantizar seguridad intrínseca de la instrumentación en campo, para manejo de señales de entrada y salida tipo 4-20 mA a 24 VDC.

Se deben realizar todas las pruebas finales de los instrumentos, incluyendo las pruebas de lazo, desde el campo y hasta el último elemento de la sala de control o sistema de control, bajo la supervisión de la Refinería y previa autorización de estos trabajos.

El desarrollo de la ingeniería y montaje será controlado y supervisado por especialistas de Ecopetrol. Los equipos y materiales a suministrar deberán estar aprobados en el listado de proveedores de la Refinería.

7.6.4.6.2. Filosofía de control: El control de la operación de los equipos del sistema de vacío (Intercambiadores y eyectores) están bajo responsabilidad del operador de la planta siguiendo las condiciones de diseño establecidas.

El sistema a implementar debe ser compatible con el sistema de control DCS FOXBORO I/A, de tal manera que la interconexión a las plataformas de control sea directa e inmediata con el mínimo de modificaciones para su instalación. Las nuevas señales deben ser configuradas en el DCS actual de parafinas. Previa validación de disponibilidad de puntos de conexión para las nuevas señales del sistema de vacío.

El nivel de hidrocarburo en el tambor SD-1117 se manejará con el controlador de nivel que estará configurado por alto y bajo nivel accionando las bombas de evacuación P-1118, de tal manera que cuando el nivel llegue al 90% la bomba se encienda y cuando llegue a 20% se apague.

El nivel de agua se controlara con una válvula de control ya que este flujo será continuo, el nivel se controlará mínimo 30% y máximo 90%.

La Ingeniería Detallada debe contemplar la configuración en el DCS, de la nueva base de datos, elaboración de gráficos de proceso asociados a la nueva aplicación, control automático esquema de interlock asociados de requerirse y monitoreo de las señales instrumentadas de campo (presión, temperatura, nivel, flujo). Debe garantizar la supervisión y control del sistema de vacío de la sección de despojo de la planta. Igualmente en la Ingeniería de Detalle se deberán definir las configuraciones necesarias para el óptimo funcionamiento del sistema de vacío configuración de históricos, alarmas y eventos, de forma tal que sea de fácil consulta por parte del personal autorizado. Las señales que se requieren configurar corresponden al anexo 9 de este documento.

Se debe realizar pruebas de lazo, puesta en servicio y sintonía del lazo para operación en automático desde el DCS Foxboro instalado en planta de parafinas.

7.6.4.6.3. Filosofía de protección

No aplica para este Proyecto.

7.6.4.6.4. Grado de automatización

No aplica para este Proyecto.

7.6.4.6.5. Capacidades y características de los sistemas de control operacional (nuevos y existentes): El sistema de control de las plantas de tratamientos con hidrogeno es un sistema marca comercial Honeywell.

7.6.4.6.6. Programa de constructibilidad inicial: Como constructibilidad inicial la instrumentación en general requiere instalarse una vez terminen los trabajos de montaje de equipos y tubería. Los trabajos de cableado y configuración de equipos de control pueden realizarse con planta en operación.

7.6.4.6.7. Identificación de equipos e instrumentación principales (tecnología, tamaño, precios, facilidad de obtención): Los transmisores y medidores de presión, flujo y temperatura que se deben implementar en el nuevo sistema de vacío se encuentran dentro de los equipos estándar inscritos dentro de las marcas aceptadas por la Refinería.

7.6.4.6.8. Listado de instrumentos con asignación de TAGs (formato estándar)

Ver listado de instrumentos.

7.6.4.6.9. Plan de transferencia tecnológica involucrada al proyecto: En las etapas posteriores (ingeniería básica, ingeniería de detalle, gestión de compras, contratación, montaje y puesta en marcha) se debe asegurar que las nuevas tecnologías, métodos, procedimientos de mantenimiento, etc., sean transmitidos al personal que acompañará la operación y el soporte de las facilidades propuestas (mantenimiento, técnica y operaciones).

Igualmente, debe cumplirse el proceso de Gestión Documental y Gestión de Activos, garantizando que dicho conocimiento sea adecuadamente asegurado por la organización (actualización de planos, documentos técnicos, archivos, caracterización, catalogación, listado de partes y repuestos, inventarios mínimos para mantenimiento, hojas de especificación, etc.).

7.6.4.6.10. Descripción de interfaces o comunicaciones con otros sistemas y especialidades

No aplica para este proyecto.

7.6.4.6.11. Alcance y requerimientos Sistemas Telecomunicaciones

No aplica para este proyecto.

7.6.4.6.12. Evaluación de alternativas

Se describen en el numeral 7.6.7.

7.6.4.6.13. Requerimientos de control de calidad

No aplica para este Proyecto.

7.6.5. Anexos

Anexo de Proceso 1. Propuesta técnica de Proveedor (GRAHAM).

Anexo de Proceso 2. Plano de distribución de equipos.

Anexo de Proceso 3. Plot Plan lado sur Planta de Parafinas.

Anexo de Proceso 4. Desmantelamiento de líneas y equipos.

Anexo de Proceso 5. Diagrama de bloques.

Anexo de Proceso 6. P&ID Sistema de Vacío U-1100, U1110 y U-1120.

Anexo de Proceso 7. Diagrama de banderas.

Anexo de Proceso 8. Diagrama de flujo simplificado.

Anexo de Proceso 9. Listado de instrumentos.

Anexo de Proceso 10. Análisis de riesgos HAZOP.

Anexo de Proceso 11. Listado de líneas y equipos.

Anexo de Proceso 12. Análisis financiero de las alternativas (factor J).

Anexo de Proceso 13. Esquemas y tablas del ACV-SIMA PRO 7.1

Anexo de Proceso 14. Simulaciones HYSYS 7.3

7.7 DETERMINACIÓN DE INDICADORES DE SOSTENIBILIDAD PARA LA OPCIÓN SELECCIONADA

En esta sección se analizan para la opción seleccionada algunos de los denominados criterios o dimensiones de sostenibilidad (Singhirunnusorn, 2009), los cuales se enfocan principalmente en 3 aspectos:

- Técnico
- Socio-Económica
- Ambiental

En el enfoque <u>técnico</u>, el principio clave es la confiabilidad del nuevo sistema, estimándose criterios de confiabilidad mecánica (costos de mantenimiento) o estabilidad operacional del nuevo sistema.

El segundo enfoque <u>socio-económico</u>, involucra los principios del requerimiento del terreno, cuyos criterios de evaluación pueden ser del área requerida para la alternativa y las mismas condiciones del terreno disponible y por otro lado la denominada aceptación social, es decir la percepción general y ambiental de la alternativa propuesta. En el presente trabajo no se analiza el enfoque socio-económico por no estar definido dentro del alcance de este trabajo.

Por último, el enfoque <u>ambiental</u> involucra dos principios: El de eficiencia y recuperación de recursos. En el término eficiencia se revisan criterios de remoción

de contaminantes, emisiones atmosféricas o cantidad de vertimientos y en el principio de recuperación de recursos se plantean alternativas de recuperación.

7.7.1 Enfoque técnico. A continuación se presentan en las Tablas 51 y 52 los valores de costos asociados de mantenimiento y consumos de energéticos para el caso actual comparado con los valores esperados de la alternativa seleccionada.

Tabla 52. Base de cálculo para caso base

	Base de	cálculo
ITEM	VALOR	OBSERVACIONES
TRM promedio año	\$ 1.780	FUENTE: Bases del Portafolio 2013
Consumo de vapor actual Lb/h	\$ 5.000	FUENTE: Bases de diseño de operación de los equipos
Consumo de agua actual (gpm)	\$ 305	FUENTE: Mapa de agua ICP-2009
Perdidas de HC, Barriles/año	\$ 18.845	FUENTE: Simulación de pérdidas de HC (Ver hoja de cálculo "Perdidas de HC")
Costo del vapor \$/klb	\$ 12.818	
Costo del agua cruda \$/kgal	\$ 1.618	
Costo de la energía \$/KW-H	\$ 206	FUENTE: GRB-Coordinación de Economía Y Gestión
Costo de Tratamiento de aguas en PTAR \$/kgalón	\$ 307	Location 1 Coolion

Tabla 53. Costos y pérdidas anuales con el sistema actual instalado1

	Costos y P	érdidas anuales		
ITEM	VALOR (\$KUSD)	OBSERVACIONES		
Mantenimiento sistema de vacío actual \$USD/año	\$ 225	Información obtenida de maduración de proyecto para reducción de fuentes de emisión de H2S		
Perdidas por consumo de vapor	\$ 315	(Consumo de vapor anual * Costo de vapor)/TRM		
Perdidas por consumo de agua	\$ 146	(Consumo de agua anual * Costo de agua)/ TRM		
Perdidas por degradación de HC a Slop, USD/Barril	\$1.167	FUENTE: Simulación de pérdidas de HC (Ver hoja de cálculo "Perdidas de HC") & Precios de Bases del portafolio 2010		
Costos ambientales	\$ 28	(Flujo de agua anual a PTAR * Costo de TTO PTAR) / TRM		
TOTAL	\$ 1.880			

Tabla 54. Base de cálculo para la alternativa seleccionada

	Base de	cálculo
ITEM	VALOR	OBSERVACIONES
TRM promedio año	\$ 1.780	FUENTE: Bases del Portafolio 2013
Consumo de vapor futuro Lb/h	\$ 2.131	FUENTE: Bases de diseño de operación de los equipos
Capacidad de los equipos rotativos a instalar (KW-H)	\$ 50	FUENTE: Mapa de agua ICP-2009
Costo del vapor \$/klb	\$ 12.818	
Costo del agua cruda \$/kgal	\$ 1.618	
Costo de la energía \$/KW-H	\$ 206	FUENTE: GRB-Coordinación de Economía Y Gestión (Precios 2012)
Costo de Tratamiento de aguas en PTAR \$/kgalón	\$ 307	

En la Tabla 55 se resume la reducción del costo por efecto de la alternativa propuesta, la información de las anteriores tablas fue tomada para el análisis

financiero de las alternativas (Anexo 11), lo cual permitió evidenciar el respectivo costo/beneficio de la propuesta.

Tabla 55. Costos y pérdidas anuales con la alternativa

Costo	Costos y Pérdidas anuales con Proyecto					
ITEM	VALOR (\$KUSD)	OBSERVACIONES				
Mantenimiento sistema de vacío con proyecto \$USD/año Costo de operación	\$ 171	5% de la inversión Inicial (2.466.600*5%) (Consumo de vapor anual * Costo de				
(Vapor)	\$ 134	vapor)/ TRM				
Costo de operación (Energía Eléctrica)	\$ 51	(Consumo de agua anual * Costo de agua)/ TRM				
Perdidas por degradación de HC a Slop, USD/Barril	\$ 37	FUENTE: Simulación de pérdidas de HC (Ver hoja de cálculo "Perdidas de HC") & Precios de Bases del portafolio 2010				
Costos ambientales	\$ 0	(Flujo de agua anual a PTAR * Costo de TTO PTAR) / TRM				

Tabla 56. Reducción de costos de la alternativa seleccionada

REDUCCION DE COSTOS OPERATIVOS			
ANUALES DE LA ALTERNATIVA			
Costo de Mantenimiento Anual	\$54		
Costo de consumo de vapor	\$181		
Costo de consumo de agua	\$146		
Costo ambiental	\$28		

En resumen, y como se discutió en las anteriores secciones el potencial desde el punto de vista técnico se enfoca en reducir los costos de mantenimiento lo cual se traduce en una mayor confiabilidad del sistema y los costos de servicios industriales (vapor y Agua) por la implementación de un sistema técnicamente más eficiente.

7.7.2 Enfoque ambiental. Para el presente enfoque, los aspectos claves de la propuesta se resumen en los siguientes aspectos, Tabla 56.

Tabla 57. Reducción de vertimientos y emisiones en las Plantas de tratamiento con hidrógeno

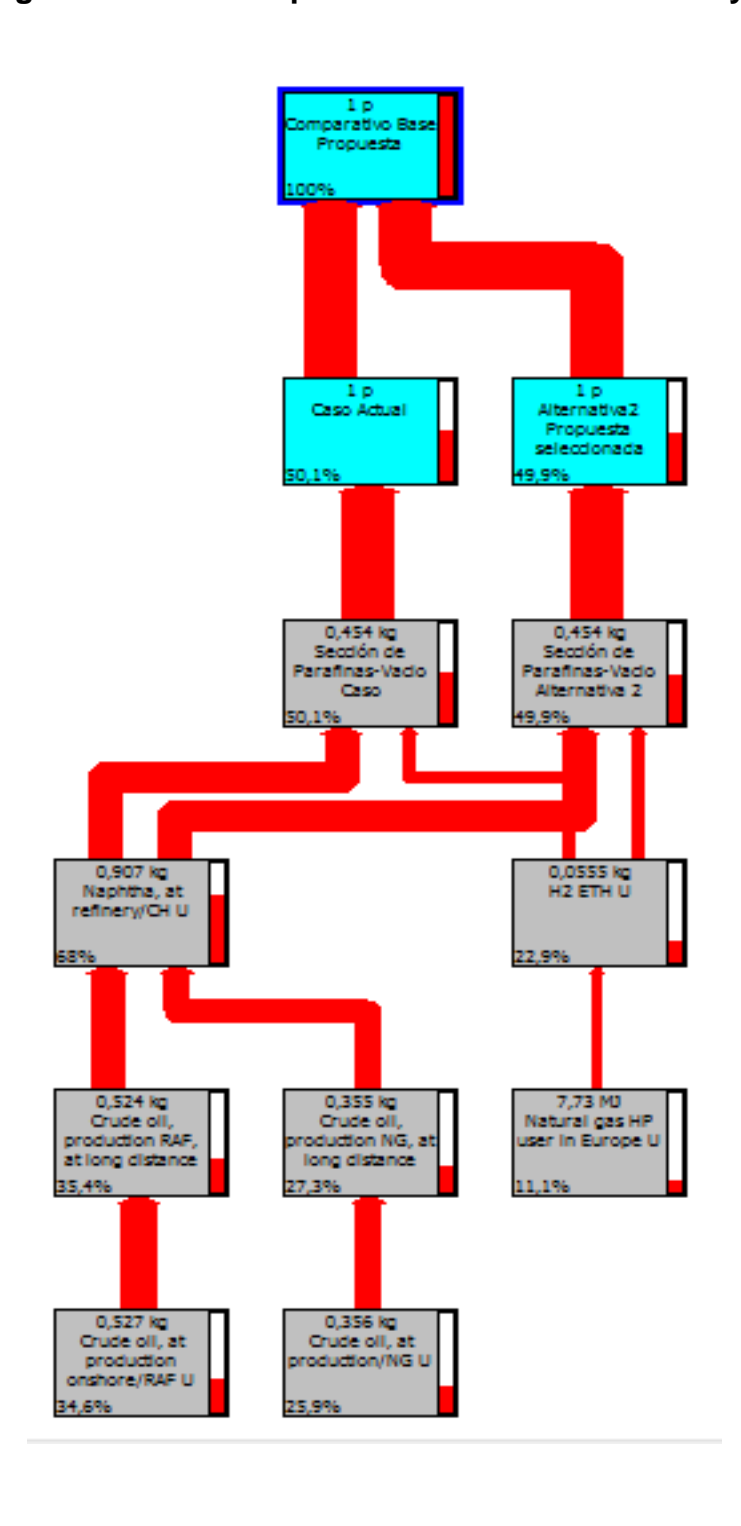
REDUCCIÓN DE CONSUMO DE RECURSOS Y				
EMISIONES POR HORA				
Reducción de Vertimiento Líquido /lb de producto	5,84 lb			
Reducción de Gases a la atmósfera /lb de				
producto	0,0122lb			

Lo cual representa fundamentalmente para las plantas de tratamiento con hidrógeno: una reducción en el volumen de efluente líquido (agua agria) con contaminantes a la PTAR y la eliminación de gases no condensables (con presencia de H2S) en el sitio. Los dos enfoques permiten evidenciar los beneficios que desde el punto de vista técnico y ambiental induce la propuesta.

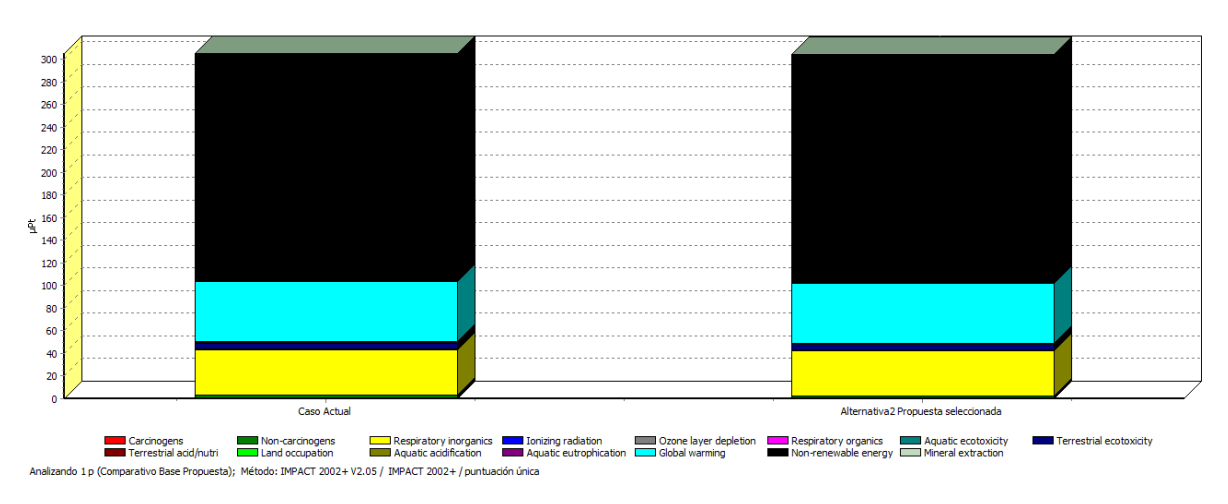
En la evaluación de los impactos ambientales que generan las plantas de tratamiento con hidrógeno, incluyendo la alternativa N°2 propuesta (incluye los beneficios relacionados en la tabla 45), se puede obtener mediante un análisis de ciclo de vida (ACV), la visualización de impactos y daños ambientales producidos.

Tomando como referencia el modelo implementado en SIMAPRO 7.1 de la sección 6.5 (Figura 18), se tiene:

Figura 24. Diagrama de red comparativo entre el caso actual y la propuesta



De acuerdo con la Grafica 1, la propuesta tiene una reducción del **0,2%** (50.1% vs 49.9%) en el nivel de los impactos ambientales globales generados.



Gráfica 1. Categorías de impacto generado

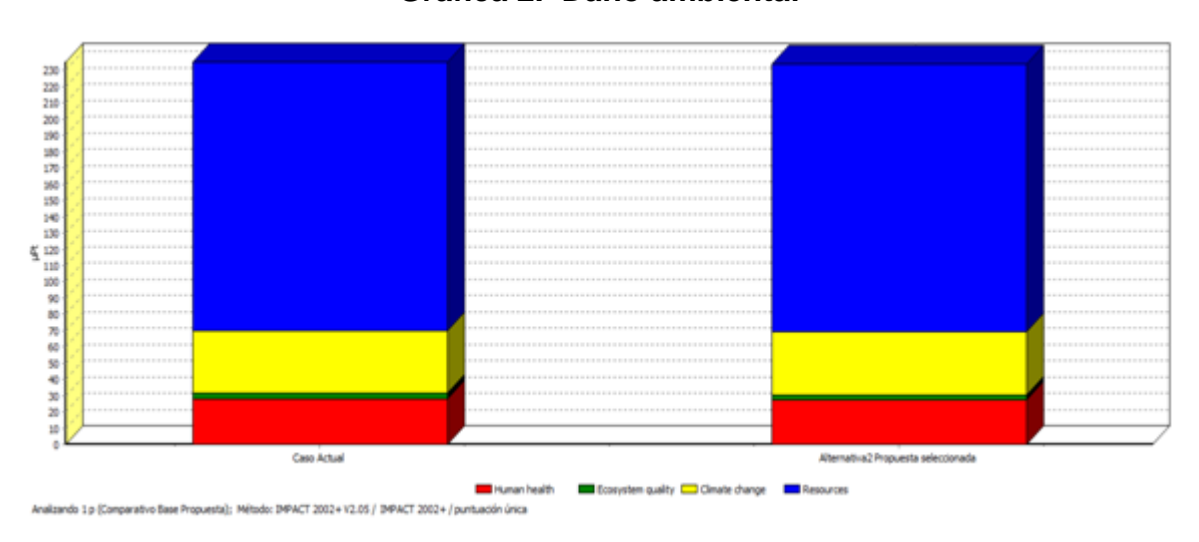
La Grafica 2 permite identificar como los mayores impactos que genera la planta con la alternativa propuesta, se enfoca en impacto en energías no renovables (color negro) entendible en razón a ser un proceso proveniente del crudo y la refinación de la nafta. En segundo término (azul claro) de importancia el efecto sobre el calentamiento global fundamentado principalmente por la emisión de CO2 generada en los tres hornos de las plantas y en tercer término en orden de importancia (color amarillo) efectos de tipo respiratorio inorgánicos.

En el detalle de las categorías de impacto definidas para la presente evaluación, se puede apreciar que hay tres impactos en los cuales la propuesta genera unas reducciones importantes (Ver Anexo 13 y Tabla 57). En la eco toxicidad acuática en la cual hay una reducción del 7%, en los no-carcinógenos (componentes tóxicos no necesariamente carcinógenos) con una reducción del 42% y en la acidificación acuática con un 94%.

En cuanto a calentamiento global la reducción es de solo el 1%.

A nivel de daño ambiental final en la Figura 24, se puede apreciar como las plantas de tratamiento con hidrógeno generan un daño notable a nivel de recursos (azul), seguido en amarillo por un efecto en el cambio climático, en tercer lugar (rojo) daños a la salud humana y por último a nivel de daños al ecosistema.

La propuesta presentada permite evidenciar una mejora del 1,9% en salud humana, del 0,35% en calidad del ecosistema, 0,57% en cambio climático y sin cambios a nivel de recursos.



Gráfica 2. Daño ambiental

Tabla 58. Reducción en las categorías de impacto

CATEGORÍA DE IMPACTO	UNIDAD	CASO ACTUAL	ALTERNATIVA	%REDUCCIÓN
No carcinógenos	Kg C2H3Cl eq	0,00499	0,00288	42%
Eco toxicidad acuática	Kg TEG water	82,8	77	7%
Acidificación acuática	Kg SO2 eq	0,0507	0,00285	94%
Calentamiento global	Kg CO2 eq	0,526	0,523	0,57%

Tabla 59. Reducción en las categorías de daño

CATEGORÍA DE IMPACTO	UNIDAD	CASO ACTUAL	ALTERNATIVA	%REDUCCIÓN
Salud humana	DALY	3,12E-7	3,06E-7	1,9%
Calidad eco sistemas	PDF*m ² *año	0,0846	0,0843	0,35%
Cambio climático	Kg SO2 eq	0,526	0,523	0,57%
Recursos	MJ primario	30,6	30,6	-

En resumen, los resultados del presente trabajo de aplicación permitieron identificar aspectos fundamentales que permiten obtener la mejor alternativa a implementar en los sistemas de vacío desde el punto de vista, técnico, económico y ambiental:

• Caracterización de las corrientes (gaseosas-vertimientos líquidos) del sistema de vacío de las unidades de tratamientos con hidrógeno.

La simulación de procesos mediante el software HYSYS determinó que para las cargas promedio representativas de las unidades, la emisión de gases no condensables son del orden de **324 lb/h** (Ver Tablas 27-28).

De igual forma, el vertimiento líquido una vez implementada la mejor alternativa serán del orden de **663 lb/h** (162,000lb/h actual) con una composición típica de 81% Agua, 0,24% H2S, 0,3%NH3 y 17% Hidrocarburo (Ver Figuras 16 y 18).

Alternativa a implementar

En el análisis beneficio/costo (factor J) de cada una de las tres alternativas planteadas en resumen se obtuvieron los siguientes resultados (Ver el detalle en Anexo 12):

Tabla 60. Evaluación Financiera

EVAL	LUACIÓN ECONÓMIC	A DE ALTERNATIVA	IS
	ALTERNATIVA 1	ALTERNATIVA 2	ALTERNATIVA
			3
	Reemplazo de	Reemplazo de	
Resultados	condensadores	condensadores	Sistema de
Financieros	Barométricos sin	Barométricos con	vacío con
	cambio de	cambio de	bombas secas
	eyectores y	eyectores y	Booster (anillo
	precondensadores	precondensadores	líquido)
VPN Riesgo Base	14,663	14,663	14,663
(KUSD)	14,000	14,000	14,000
VPN Riesgo			
Alternativa	7,500	8,957	8,404
(KUSD)			
VPN Inversión			
Alternativa	2,107	3,081	3,442
(KUSD)			
Relación	3,4	1,9	1,8
Beneficio/Costo	5,7	1,0	1,0

De acuerdo a los resultados de la Tabla 60, la mejor alternativa desde el punto de vista financiero seria la alternativa 1 con factor J de 3,4, seguida de las alternativas dos y tres respectivamente (con 1,9 y 1,8). Desde el punto de vista técnico interno y de acuerdo a recomendación de firma experta en especificación de este tipo de sistemas (GRAHAM Ver Anexo 1) se estima que los nuevos condensadores de superficie y eyectores requieren de un óptimo desempeño del sistema de pre condensación (E1104-E1124 Diseño original para sistema barométrico) motivo por el cual los licenciadores de estas tecnologías solo ofrecerán garantía de óptimo funcionamiento en la medida que los condensadores estén adaptados con un

sistema de pre condensación diseño al nuevo requerimiento, de ahí que se escoge la alternativa 2 con un **factor J de 1,9.**

Con relación a los aspectos ambientales de las alternativas y el efecto que podría inducir el sistema de vacío sobre los impactos generados por el conjunto de plantas de tratamiento con hidrógeno de la Refinería se observa que a nivel de contaminantes y gases efecto invernadero (Huella de carbono) en recurso aire (Tablas 37-38), los gases aportan un nivel casi despreciable en comparación con el aporte que inducen los sistemas de combustión (Hornos de proceso) de las plantas (en un 99%), luego no es representativo como criterio de decisión evaluar el impacto de la alternativa sobre el recurso aire.

La aplicación del análisis de ciclo de vida (ACV) mediante el software SIMAPRO 7.1 permite identificar basados en el criterio de reducción de vertimiento líquido de las alternativas planteadas (Tabla 56), que cualquiera de las alternativas propuestas genera una leve reducción (del 0,2%) en el nivel de impactos por parte de las plantas de tratamiento con hidrógeno. El análisis realizado en la sección 7.5 en el cual se retira el flujo de nafta del modelo en SIMAPRO, para minimizar el efecto de la categoría de "fuentes no renovables" y mejorar la sensibilidad, permitió identificar a la alternativa 2 (Tabla 39) como aquella que genera los menores impactos ambientales en las categorías no carcinógenos, eco toxicidad acuática y acidificación acuática; lo anterior, se complementa con los mejores criterios de tipo técnico y económico que brinda esta alternativa.

La sección 7.7.8 presenta efectos positivos a nivel de reducción en el daño ambiental final (salud, ecosistemas y cambio climático) por efectos del cambio de tecnología en el balance global sobre las plantas de tratamientos con hidrógeno.

Se resalta a nivel industrial la aplicación que tiene el ACV como una herramienta complementaria de justificación de propuestas o alternativas de inversión,

adicionales a las formas convencionales y económicas de costo-beneficio. Lo anterior sin duda permite evidenciar que tan coherente es una organización en el plano sostenible y el equilibrio que debe tener en las 3 dimensiones, social, económica y ambiental.

Finalmente el trabajo presenta un esquema de estimaciones y documentos técnicos útiles (por especialidades técnicas) como parte de la ingeniería conceptual, la cual es base para la maduración de la alternativa seleccionada dentro de los procesos posteriores de ingeniería básica y de detalle.

CONCLUSIONES

- Del total de gases emitidos por las plantas, la generación de gases y H2S del sistema de vacío que aportan al calentamiento global y contaminación, no llegan a ser el 1.2%, lo cual quiere decir que el sistema de vacío actual o cualquiera de las propuestas que se implementen no aportan de manera significativa al impacto causado por la planta.
- La utilización de la metodología de análisis de ciclo de vida (ACV) genera un balance de recursos (entradas) y productos (salidas) en la denominada tecnosfera del sistema. La metodología permitió identificar los impactos ambientales generados en las plantas y el efecto de la instalación de una nueva tecnología en el proceso, si bien el resultado es consistente con lo observado en la estimación de huella de carbono, el hecho de que la alternativa seleccionada reduzca notablemente la salida de vertimiento líquido genera una reducción del 0.2% en los puntos ambientales comparado con la planta bajo tecnología actual.
- Un aspecto relevante es que la propuesta reduce en 1,9 % los efectos de daño sobre la salud humana y en 0,57% los daños a nivel de cambio climático, 0,35% impacto a los ecosistemas.
- Este trabajo genera una estimación general del desarrollo a nivel de Ingeniería conceptual (sección 7.6) para la alternativa seleccionada, lo cual permite aplicar no solo los conceptos de ingeniería química y de simulación, sino sentar las bases para una etapa posterior de implementación consistente en la ingeniería básica y de detalle.

BIBLIOGRAFÍA

- AENOR. (2006). UNE-EN ISO 14040: Gestión ambiental. Análisis del ciclo de vida: Principios y marco de referencia.
- AENOR. (2006). UNE-EN ISO 14044: Gestión ambiental. Análisis del ciclo de vida: Requisitos y directrices.
- Aguirre, K. (2010). Diseño de un condensador barométrico tipo bandeja perforada sencilla para un sistema de evaporación. Universidad de San Carlos de Guatemala.
- Aliasso, J. (2010). How to size liquid ring vacuum pump. Pumps and System Magazine. Graham Manufacturing.
- API STANDARD 610, 10TH EDITION (Centrifugal pumps for petroleum petrochemical and natural gas industries).
- ANSI STANDARD B73.1 (horizontal end suction centrifugal pumps for chemical process).
- API STANDARD RP 686, 1TH EDITION (Recommended practice for machinery installation and installation design).
- Berkeley, D. (1958). Ejectors have a wide range of uses. Petroleum Refiner.
- Berkeley, F. (1993). Ejectors. Graham Manufacturing Company. Batavia N.Y.

- Birgenheier, D. Butzbach, T. (1993). Designing steam jet vacuum systems.
 Chemical Engineering.
- Bolt, D. Butzbach, t. (July1993). Design Steam Jet vacuum Systems. Chemical Engineering.
- CAPP. (2003).Guide Calculating Greenhouse Gas Emissions. < extractado 28 de septiembre de: www.capp.ca>
- Clark, R. (2012). The barometric leg as defined for utilization on a direct contac condenser within an ejector vacuum system. Schutte and Koerting.
- CRANE. (1978). Flow of Fluids Through Valves, Fittings, and Pipe. Technical paper N°410
- Guía práctica para el cálculo de emisiones de gases efecto invernadero (GEI).
 (2011). Comisión Interdepartamental del cambio climático. Oficina catalana
- Grupo de excelencia operacional. (2011). Manual de operación de las plantas de Parafinas. Ecopetrol GRB.
- Herrera, M. (2010). Estimación de emisiones. Planta de Parafinas. Modelo de emisión V3.0. Ecopetrol-ICP. Piedecuesta-Santander
- HEI Standards for steam jet vacuum Systems 10TH edition.
- Exxon-Mobil. (1996). Compressors, Eyectors. Exxon Research and Engineering Company.

- ICONTEC. (2010).ISO 14064-1 Cuantificación y reporte de emisiones y remociones de GEI en organizaciones.
- IHOBE (2009). Análisis de Ciclo de Vida y Huella de Carbono: Dos maneras de medir el impacto ambiental de un producto.
- Kapooria, R. (2008). Technological investigations and efficiency analysis of a steam heat exchange condenser: conceptual design of a hybrid steam condenser. Journal of Energy in South Africa. Vol 19 N° 3.
- Kern, D.G. (1999). Process Heat Transfer, McGRaw- Hill.
- LINES, J.SMITH, R. (1997), Ejector system troubleshooting, Hydrocarbon Engineering, Part 1 January. 69 - 78, Part 2 March/April.35 – 40. Palladian Publications 1999.
- OSE. (2011). Enfoques metodológicos para el cálculo de la Huella de Carbono
- OSHA DATOS RÁPIDOS. SULFURO DE HIDRÓGENO (H2S). Extraído 10 de enero 2013 http://www.osha.gov/Publications/3300-10N-05-spanish-07-05-2007.html.
- NASH. (2010). Hybrid Vacuum system and steam ejectors. Gardner Denver.
- Singhrirunnusorn, J. Stenstrom, P. (2009). Sustainable Development Indicators. Wat. Sci. & Technol. 59 (9).
- SAPANG,N.SAPANG,R.(2008).Preparación y Evaluación de Proyectos. Mc Graw Hill. 5 Ed.

- Shell Global Solution. (2001). User manual corrected energy and loss (CEL) monitoring system.
- SUDOE. (2012). Guía para el cálculo de la huella de carbón en el sector del aceite de oliva.
- U.S. ENVIROMENTAL PROTECTION AGENCY.(October 1977).Control of refinery vacuum Producing systems, wastewater Separators and process unit turnarounds. Guideline series.EPA-450/2-77-025.

ANEXOS

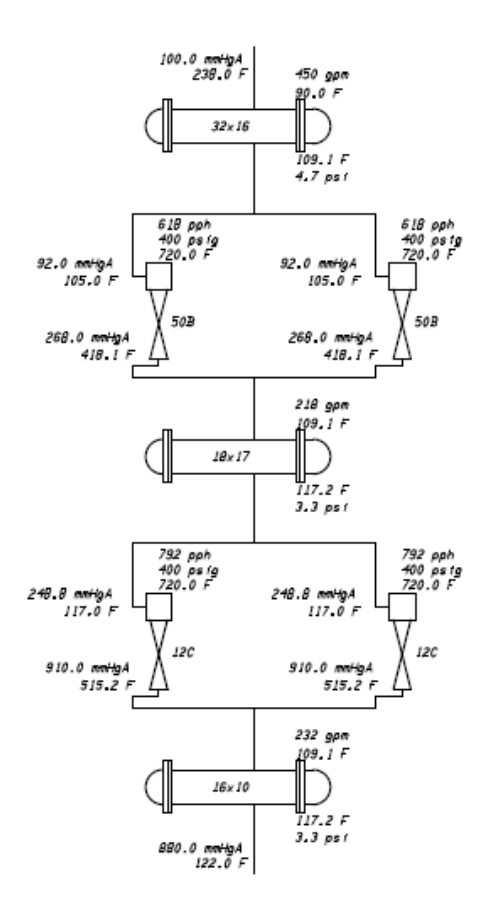
Anexo A. de proceso 1. Propuesta técnica de proveedor (GRAHAM)



STEAM JET EJECTOR SPECIFICATION SHEET

Customer:	1	Ecopetrol ICF	9				EG No:	119	COL09
Item:			4/J-1102A+B						28, 2009
			Stage Ejector Performance					PRO	_
riecondense	anu iw	ro stage Eje	otor renormano				Engineer	FRI	
Abcolute prov	ccure mai	intained at or	recond suction in	nlat			1/	0.00	mmHaA
Temp. at Suc			238.0 °F	iiies.		Steam Pressure	-	0.00	
Non-Condens			300.0 Lb/hr	MW = 30.0	C+	eam Temperature		20.0	°F
Condensible		_	Lb/hr	MW = 30.0		olant Temperature		90.0	°F
Steam	vapois	-	170.0 Lb/hr	IMIAA —		scharge Pressure			•
Steam		4	170.0 LUMI		U	scriarge Fressure	00	.v.	mmHgA
(1)-100% H									
Surface Pred			Size	32x16 AX	_	Surface			sq.ft
Coolant	450.0	gpm	Temp in/out	90.0/ 109.1	°F	Pressure Drop	4	1.72	psi
(2)-100% 1st	Stage E	jector				<u> </u>		Size	50B
(1)-100% HO	ORIZONT	ΓAL							
Surface Inter	rcondens	er	Size	18x17 AE		Surface	32	27.1	sq.ft
Coolant	218.1	gpm	Temp in/out	109.1 / 117.2	2°F	Pressure Drop	3	3.32	psi
<u> </u>							•		
(2)-100% 2nd	Stage	Ejector						Size	12C
(1)-100% HO	ODIZOM	ΓΛΙ							
Surface After			Size	16x10 AE	9	Surface	16	\$1.0	sq.ft
Coolant	231.9		Temp in/out	109.1 / 117.2	_	Pressure Drop		3.32	psi
Coolaire	201.0	gpiii	remp inout				,	J.U.E.	psi
				Condenser Mater	iais & Desig	yn	PROCES	e T	COOLANT
Process Side		STEEL		Dasies Descue	(nois)		FV& 15	•	100
Tube Sheets		STEEL		Design Pressure (psig) Test Pressure (psig)		19.5	\dashv	130	
		STEEL		Design Temperature (°F)			550.0	\rightarrow	170.0
Coolant Side		2205SS					550.0		170.0
Tubes(smls) Gasket Mater			tod	O.D. 0.75 in Bolting Material	IO BWG	avg wall			
Gasket Mater	ndi L	Double-jacke	iteu	i bolung material					
				_			Alloy Steel		
				Ejector Materia	ls & Design		,		
AC & Diffuser		STEEL		Ejector Materia			PROCES	s	STEAM
Steam Nozzle	e 3	316L SS		Ejector Material Design Pressure	(psig)	ı	PROCES FV& 450	S	450
Steam Nozzle Steam Chest	e :	316L SS STEEL		Design Pressure Test Pressure (p	(psig) sig)		PROCES FV& 450 585	s	450 585
Steam Nozzle Steam Chest Nozzle Plate	e (316L SS STEEL STEEL		Ejector Material Design Pressure Test Pressure (p Design Tempera	(psig) sig)		PROCES FV& 450 585 750.0	S	450
Steam Nozzle Steam Chest	e (316L SS STEEL	5	Ejector Material Design Pressure (p Test Pressure (p Design Tempera Bolting Material	(psig) sig) ture (°F)		PROCES FV& 450 585	S	450 585
Steam Nozzle Steam Chest Nozzle Plate	e (316L SS STEEL STEEL		Design Pressure Test Pressure (p Design Tempera Bolting Material Graham Des	(psig) sig) ture (°F)		PROCES FV& 450 585 750.0	S	450 585
Steam Nozzle Steam Chest Nozzle Plate Gasket Mater	e 3	316L SS STEEL STEEL non-asbestos	3:	Ejector Material Design Pressure (p Test Pressure (p Design Tempera Bolting Material	(psig) sig) ture (°F)	5x10	PROCES FV8 450 585 750.0 Alloy Steel		450 585 750.0
Steam Nozzle Steam Chest Nozzle Plate Gasket Mater Total S	e 3	316L SS STEEL STEEL non-asbestos 1409. Lb/hr (3:	Ejector Material Design Pressure (p Test Pressure (p Design Tempera Bolting Material Graham Dess 2x16-(2)50B-18x1	(psig) sig) ture (°F)		PROCES FV& 450 585 750.0		450 585 750.0
Steam Nozzle Steam Chest Nozzle Plate Gasket Mater	e 3	316L SS STEEL STEEL non-asbestos 1409. Lb/hr (3:	Ejector Material Design Pressure (p Test Pressure (p Design Tempera Bolting Material Graham Dess 2x16-(2)50B-18x1	(psig) sig) ture (°F)	5x10	PROCES FV8 450 585 750.0 Alloy Steel		450 585 750.0
Steam Nozzle Steam Chest Nozzle Plate Gasket Mater Total S	e 3 srial r	316L SS STEEL STEEL non-asbestos 1409. Lb/hr ('ectors	3:	Ejector Material Design Pressure (p Test Pressure (p Design Tempera Bolting Material Graham Des 2x16-(2)50B-18x11	(psig) sig) ture (°F)	5x10	PROCES FV8 450 585 750.0 Alloy Steel		450 585 750.0
Steam Nozzle Steam Chest Nozzle Plate Gasket Mater Total S Construction Construction	rial r Steam 1 Code Eje Code Co	316L SS STEEL STEEL non-asbestos 1409. Lb/hr ('ectors indensers	33 100%) ASME Sect. V ASME Sect. V	Ejector Material Design Pressure Test Pressure (p Design Tempera Bolting Material Graham Des 2x16-(2)50B-18x1: III, Div 1 III, Div 1 TEN	(psig) sig) ture (°F) signation 7-(2)12C-16	5x10 Total Coolant	PROCES FV& 450 585 750.0 Alloy Steel	(100%	450 585 750.0
Steam Nozzle Steam Chest Nozzle Plate Gasket Mater Total S Construction Construction Remarks: MI	rial r Steam 1 Code Eje Code Co	316L SS STEEL STEEL non-asbestos 1409. Lb/hr (ectors indensers PACKAGE -)	33 100%) ASME Sect. V ASME Sect. V All condensers in	Ejector Material Design Pressure Test Pressure (p Design Tempera Bolting Material Graham Des 2x16-(2)50B-18x1: III, Div 1 III, Div 1 TEN	(psig) sig) ture (°F) signation 7-(2)12C-16	5x10	PROCES FV& 450 585 750.0 Alloy Steel	(100%	450 585 750.0
Steam Nozzle Steam Chest Nozzle Plate Gasket Mater Total S Construction Construction Remarks: MI	rial r Steam 1 Code Eje Code Co	316L SS STEEL STEEL non-asbestos 1409. Lb/hr (ectors indensers PACKAGE -)	33 100%) ASME Sect. V ASME Sect. V All condensers in	Ejector Material Design Pressure Test Pressure (p Design Tempera Bolting Material Graham Des 2x16-(2)50B-18x1 IIII, Div 1 IIII, Div 1 TEN mounted on a skid,	(psig) sig) ture (°F) signation 7-(2)12C-16	5x10 Total Coolant	PROCES FV& 450 585 750.0 Alloy Steel	(100%	450 585 750.0
Steam Nozzle Steam Chest Nozzle Plate Gasket Mater Total S Construction Construction Remarks: MI	rial r Steam 1 Code Eje Code Co	316L SS STEEL STEEL non-asbestos 1409. Lb/hr (ectors indensers PACKAGE -)	33 100%) ASME Sect. V ASME Sect. V All condensers in	Ejector Material Design Pressure Test Pressure (p Design Tempera Bolting Material Graham Des 2x16-(2)50B-18x1 IIII, Div 1 IIII, Div 1 TEN mounted on a skid,	(psig) sig) ture (°F) signation 7-(2)12C-16	5x10 Total Coolant	PROCES FV& 450 585 750.0 Alloy Steel	(100%	450 585 750.0

Graham Corporation, 20 Florence Avenue, Balavia, New York 14020
Tel.: 585-343-2216 Fax: 585-343-1097 E-MAIL: equipment @ graham-mfg.com WEBSITE:http://www.graham-mfg.com





Customer:	Ecop	petrol ICP						EG No:		119COL09	
Service of Unit:	PRE	CONDENS	SER					Date:		Oct 28, 2009	
Size: 32x16		Type:	AXS	;	Position	:	Horiz	Item:			
Surf./Unit:	1470		sq.ft	t	Shells/U	nit:	1 @100%	Surf./She	ll:	1470.3 sq.ft	
No. of Units:			1		angement			Engineer		PRC	
					Performan						
			LL SID	,			SIDE)				
Fluid Allocation					Proc	ess Sid	e			nt Side	
Fluid Circulated:								1		TER	
Total Fluid Enterin	g:	Lb/hr (gr	om)			470.0		ļ	•	0.0)	
					IN	_	OUT	<u> </u>	N	OUT	
Vapor:		Lb/hr					2222.2				
Liquid:		Lb/hr (gr	_		70.0		3899.9		(45	0.0)	
Steam:		Lb/hr			70.0		270.1				
Non Condensibles		Lb/hr		30	0.00		300.0				
Vapor Condensed	$\overline{}$	Lb/hr									
Steam Condensed	i:	Lb/hr			3	899.9					
Molecular Weight	Vanore							1			
Molecular Weight						30.0		+			
Temperature:	Nonco	naensibles °F	-	2	38.0	30.0	105.0 *	or or	0.0	109.1	
Inlet Pressure:	-+		(a)	2.	30.0	100	103.0	90		-)	
No.Passes per Sh	ell:	torr (ps	9)			1) 4	
Velocity:	-74.	ft/sec		 		•		+		.1	
Pressure Drop -Ca	de :	mmHg(5		+		72)	
Fouling Resistance			J31/	 		0.002)		0.003		
Heat Exchanged:	102 111	. 10.0		4262609 Btu/hr				LMTD (wtd) 20.3 °F			
Transfer Rate Sen	vice:			721			D. Garrill		142.9 Btu/hr f		
					Construction	on of O	ne Shell				
					Proc	ess Sid	e		Coola	nt Side	
Design / HydroTes	it:	psig			FV &	15/ 19	.5			/ 130	
Design Temperatu	_	°F				550			1	70	
Corrosion Allowan		in									
Connections:	IN	in				12				6	
Size: &	OUT	in		VO:	6	CO	: 1.5			6	
Rating:		ASME			15	0# RF			150	# RF	
	68	OD: 0.75	in	Thk (avg) 0.065 in			1 4-	Length:	16 ft.		
Tube Material: (s		2205SS					Pitch: in		000	ROT SQR	
	EEL	ID:			DD:	in	Shell Cover:	ST	EEL	(REMOV)	
Channel				STEEL			annel Cover:		STEEL		
Tubesheet - Statio	_			STEEL		_	esheet - Floating				
Floating Head Cov	/er:			STEEL	TEE:	_	ingement Protec	tion:	R	ODS (STEEL)	
Baffles :	01 "	Lon			TEEL		e Supports:		L	STEEL	
	Shell:	Double-jac			Floating	tead:	Double Jackete			Double-jacketed	
Bolting (External):		Alloy Stee		D: 4			Bolting (Interna	i): SA-1	93-B7M/19	4-2HM	
	ts:	ASME Sec	_	, Div 1			TEMA R				
Code Requiremen					Lbs.	1	Flooded:	1		Lbs.	
Weights: Remarks:		Shipping:		tlet temper			i locaca.				

Graham Corporation, 20 Florence Avenue, Batavia, New York 14020 Tel.: 585-343-2216 Fax: 585-343-1097 E-MAIL: equipment @ graham-mfg.com WEBSITE:http://www.graham-mfg.com



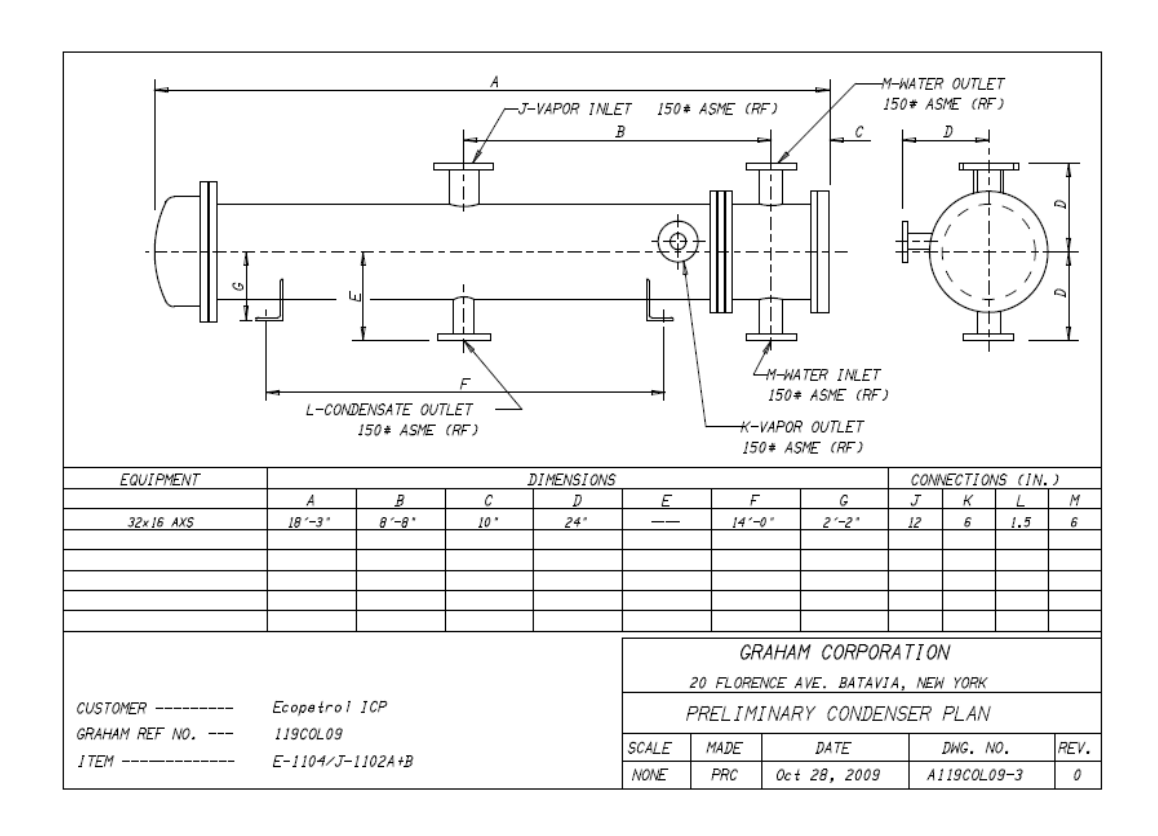
Customer:	Ecop	petrol ICP							EG No:		119COL09	
Service of Unit:	1st l	NTERCON	IDENS	ISER				Date:	ate:		2009	
Size: 18x17		Type:	AES	;		Position:		Horiz	Item:			
Surf./Unit:	327.		sq.ft			Shells/Unit	:	1 @100%	Surf./She	ll:	327.1	sq.ft
No. of Units:			1	Shell A	rran	gement			Engineer		PRC	
					_	,		CI				
					Pe	rformance (SHELL				/TUDE	E SIDE)	
Fluid Allocation			Proces		-			nt Side				
						Proces	s Side	2			TER	
Fluid Circulated: Total Fluid Entering		11.7. /	١			118	77				8.1)	
l otal Fluid Entering	:	Lb/hr (g	pm)			110	1.1	OUT	ļ .	•		OUT
V		Lb/h			IN			OUT	-	N	· '	OUT
Vapor: Liquid:		Lb/hr (g						803.0		/21	8.1)	
Steam:	-+	Lb/hr (g			887.	7		84.7		(21	0.1)	
	-+				300.			300.0			-	
Non Condensibles:	\rightarrow	Lb/hi			300.	U		300.0			_	
Vapor Condensed:	\rightarrow	Lb/h				000						
Steam Condensed:		Lb/hi	г	<u> </u>		803	5.0					
Molecular Weight -	Vapors	:									Ι	
Molecular Weight -	_		5:			30	.0					
Temperature:		°F			418.			117.0 *	10	9.1	1	117.2
Inlet Pressure:	\neg	torr (ps	ia)			26	5		1)
No.Passes per She	II:	(50	-31			1				4	2	
Velocity:		ft/sec								4	.7	
Pressure Drop -Cal	c.:	mmHg(psi)	13.25						(3.32)		
Fouling Resistance							0.002			0.00	-	
Heat Exchanged:				877664 Btu/hr			Btu/hr	LI	LMTD (wtd) 30.8 °F			
	Transfer Rate Service:							•	87.1	Btu	/hr ft2°F	
					Со	nstruction						
						Proces					nt Side	
Design / HydroTest	:	psig				FV & 1	5/ 19.	5		100	/ 130	
Design Temperatur		°F				55	0			1	70	
Corrosion Allowand	e:	in										
Connections:	IN	in				6					4	
Size: &	OUT	in		VO:		3	CO:	1.5			4	
Rating:		ASME				150#	RF			150# RF		
Tube No.: 9	, T	OD: 0.75	<u>.</u>			This /-		065 in		Length:	41	7 ft.
Tube No.: 9		2205SS	m			ink (a	(avg) 0.065 in Pitch: in		1.0	000		/ π. TSQR
Shell: STE		ID:		in	OD		in	Shell Cover:		EEL		EMOV)
Channel	LL	IU:		TEEL	OD	-		nnel Cover:	511	I	STEEL	
	200			TEEL				anner Cover: besheet - Floating:		STEEL		
Floating Head Cove	,						ngement Protec					
Baffles :	1.	Cro		TEEL	STE	FI		ngement Protec e Supports:	etion: RODS (STEEL)			
	hell:	Double-ja			_			Double Jackete	d Char	nel·	Double-ja	
Bolting (External):	nen.	Alloy Stee		1		roduling file		Bolting (Interna		93-B7M/19		oneted
				Div 1				TEMA R	η. JA-1	55-57 PH 15	21114	
Code Requirements: ASME Sect. VII				, DIV I	\neg	Lbs.		Flooded:		Т	-	bs.
					- 1	LUS.		i looded:	1			US.
Weights: Remarks:	\rightarrow	* Vapor / c		let temp	erati	ire only			•			

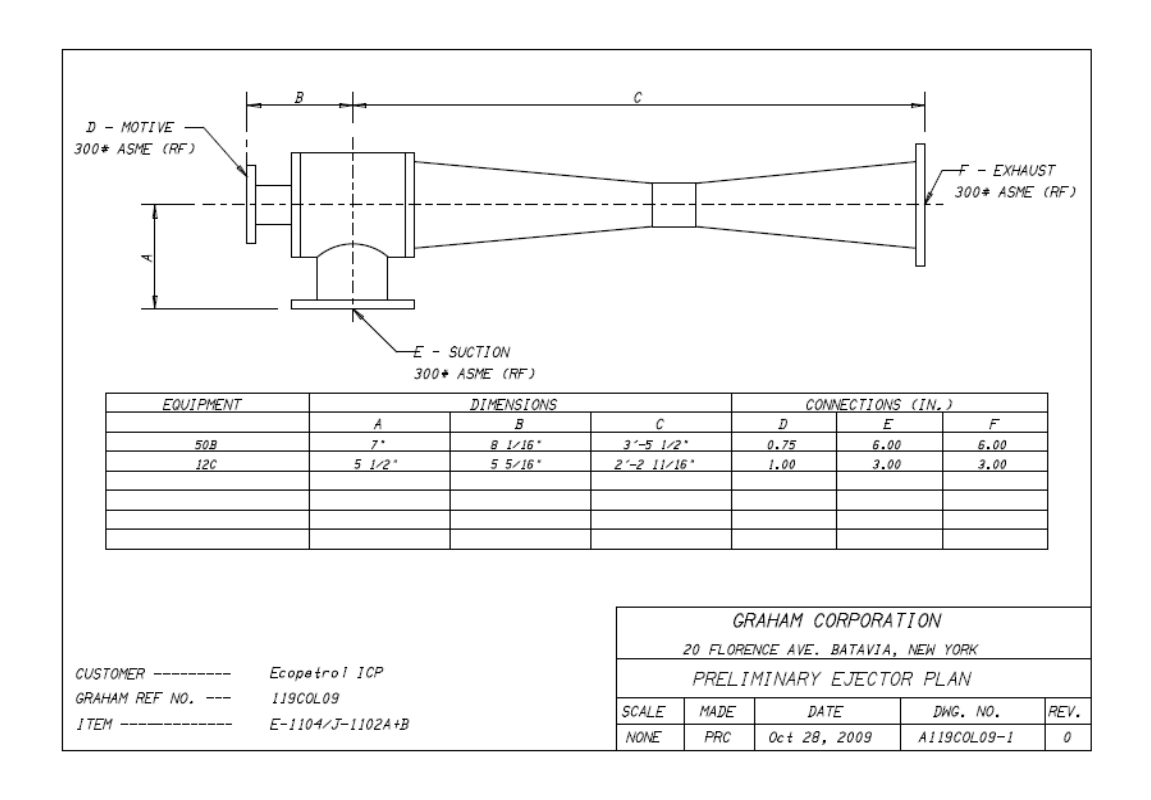
Graham Corporation, 20 Florence Avenue, Batavia, New York 14020 Tel.: 585-343-2216 Fax: 585-343-1097 E-MAIL: equipment @ graham-mfg.com WEBSITE:http://www.graham-mfg.com

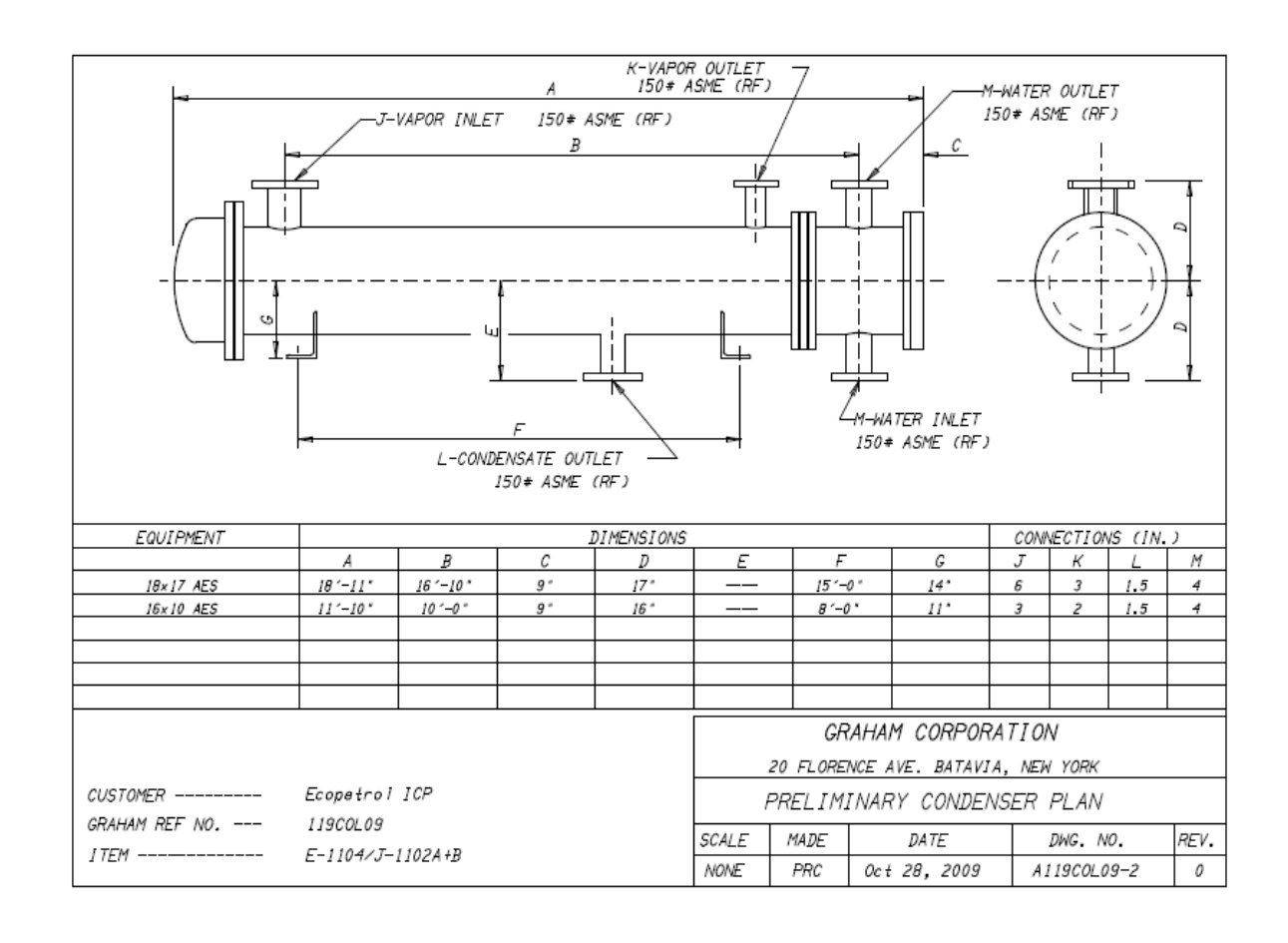


Customer:	Ecopetrol ICP						EG No:		119COL09		
Service of Unit:	AFTERCONDE	NSEP	?				Date:		Oct 28, 2009		
Size: 16x10	Type:	AES		Position:		Horiz	Item:		50(20, 2003		
Surf./Unit:	161.0	sq.ft		Shells/Uni	+-	1 @100%	Surf./Shel	I-	161.0 sq.ft		
No. of Units:	101.0	1	1	ingement		1 @100%	Engineer	1-	PRC		
NO. OF OTHES.			Offeli Affe	ingement			Liigineer		FRC		
			-	erformance	of O	ne Shell					
				(SHELL			I	(TURE	SIDE)		
Fluid Allocation				Proces		_,		Coolant Side			
Fluid Circulated:		11000	,,,	-	WATER						
Total Fluid Entering:	Lb/hr (gp	m)		117	6.4		(231.9)				
	(SF	,		N		OUT	1	*	OUT		
Vapor:	Lb/hr		<u> </u>								
Liquid:	Lb/hr (gp					855.2		(23	1.9)		
Steam:	Lb/hr		87	6.4	\vdash	21.2		120	,		
Non Condensibles:	Lb/hr			0.0		300.0					
Vapor Condensed:	Lb/hr		30			000.0					
Steam Condensed:	Lb/hr			85	5.2						
o acom condensed.	- LUIII			00	-				I.		
Molecular Weight - V	apors:										
Molecular Weight - N				30	0.0						
Temperature:			515.2 122.0 *		122.0 *	10	109.1				
Inlet Pressure:	torr (psi	a)	905				(-)		117.2		
No.Passes per Shell:		9/			1			\	2		
Velocity:	ft/sec							6.0			
Pressure Drop -Calc.: mmHg(psi)				2	5			(3.32)			
Fouling Resistance : ft2 hr°F/Btu					0.002	2		0.003			
Heat Exchanged:			934781 Btu/hr			1.0	LMTD (wtd) 77.9 °F				
	Transfer Rate Service:						74.5 Btu/hr ft2°F				
			(Construction	of O	ne Shell					
				Proces				Coola	nt Side		
Design / HydroTest:	psig		FV & 15/ 19.5				100 / 130				
Design Temperature:			550				170				
Corrosion Allowance											
Connections:	IN in				3				4		
Size: & O	UT in		VO: 2 CO: 1.5		1.5	4					
Rating:	ASME			150	# RF			150	# RF		
-											
Tube No.: 82	OD: 0.75	in		Thk (a	avg)	0.065 in		Length:	10 ft.		
Tube Material: (sml						Pitch: in	1.0	000	ROT SQR		
Shell: STEE	L ID:		in 0	D:	in	Shell Cover:	STE	EL	(REMOV)		
Channel	<u> </u>	STEEL		<u>'</u>	Channel Cover:			STEEL			
Tubesheet - Stationa	ry:	S	STEEL		Tub	esheet - Floating:	:				
•		S	STEEL	-							
Baffles :	Cros			TEEL		e Supports:			STEEL		
Gaskets Sh	ell: Double-jac	keted	<u> </u>	Floating He	_			nel: Double-iacketed			
Bolting (External):	Alloy Steel					Bolting (Internal)		93-B7M/19			
Code Requirements:	ASME Sec	t. VIII,	Div 1			TEMA R					
Weights:	Shipping:			Lbs.		Flooded:			Lbs.		
Remarks:			tlet tempera								
:\Scans\PRC\SPPRC2911.doc											

Graham Corporation, 20 Florence Avenue, Batavia, New York 14020
Tel.: 585-343-2216 Fax: 585-343-1097 E-MAIL: equipment @ graham-mfg.com WEBSITE:http://www.graham-mfg.com









STEAM JET EJECTOR SPECIFICATION SHEET

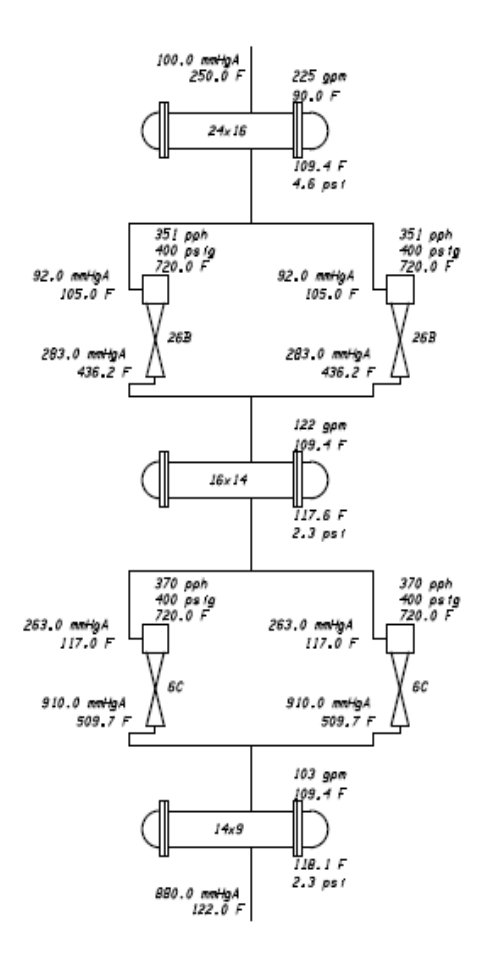
C							119COL09				
Customer:					Ecopetrol ICP EG No:						
Item:	E-1124/J-1122A+B Date: 0										
Precondenser and	TWO Stage Eje	ctor Performano	e			Engineer	PRC				
Absolute pressure r			nlet				0.0 mmHgA				
Temp. at Suction In	let	250.0 °F			Steam Pressure	400.0 psig					
Non-Condensibles		150.0 Lb/hr	MW = 30.0		team Temperature	720.0 °F					
Condensible Vapor		Lb/hr	MW =		olant Temperature	90.0 °F					
Steam	2	110.0 Lb/hr		D	ischarge Pressure	88	0.0 mmHgA				
	•		-			-					
(1)-100% HORIZO		Size									
			24×16 AX	_	Surface		0.3 sq.ft				
Coolant 225.0	gpm	Temp in/out	90.0/ 109.4	°F	Pressure Drop	4.64 psi					
(2)-100% 1st Stag	e Ejector					S	iize 26B				
(1)-100% HORIZO	NTAL										
Surface Interconde	nser	Size		16x14 AES Surface			0.4 sq.ft				
Coolant 122.0	gpm	Temp in/out	109.4 / 117.6	6°F	Pressure Drop	2.33 psi					
							•				
(2)-100% 2nd Stag	je Ejector					Size 6C					
(1)-100% HORIZO	NTAL										
Surface Afterconde	nser	Size	14x9 AES	6	Surface	8	1.3 sq.ft				
Coolant 103.0	Coolant 103.0 gpm Temp in/out			l°F	Pressure Drop	2.34 psi					
		-	Condenser Mater	ials & Des	ian						
			Congenser Mater								
			Condenser Mater		'9''	PROCES	S COOLAN				
Process Side	STEEL				·9··	PROCESS FV& 15	S COOLAN				
Process Side Tube Sheets	STEEL		Design Pressure	(psig)	·9··						
Tube Sheets			Design Pressure Test Pressure (p	(psig) sig)	igi.	FV& 15	100				
Tube Sheets Coolant Side	STEEL		Design Pressure Test Pressure (p Design Tempera	(psig) sig) ture (°F)		FV& 15 19.5	100 130				
Process Side Tube Sheets Coolant Side Tubes(smls) Gasket Material	STEEL STEEL 2205SS	eted	Design Pressure Test Pressure (p Design Tempera O.D. 0.75 in	(psig) sig) ture (°F)	avg wall	FV& 15 19.5 550.0	100 130				
Tube Sheets Coolant Side Tubes(smls)	STEEL STEEL	eted	Design Pressure Test Pressure (p Design Tempera O.D. 0.75 in Bolting Material	(psig) sig) ture (°F) 16 BWG	avg wall	FV& 15 19.5	100 130				
Tube Sheets Coolant Side Tubes(smls) Gasket Material	STEEL STEEL 2205SS Double-jacke	eted	Design Pressure Test Pressure (p Design Tempera O.D. 0.75 in	(psig) sig) ture (°F) 16 BWG	avg wall	FV& 15 19.5 550.0 Alloy Steel	100 130 170.0				
Tube Sheets Coolant Side Tubes(smls) Gasket Material AC & Diffuser	STEEL STEEL 2205SS	eted	Design Pressure Test Pressure (p Design Tempera O.D. 0.75 in Bolting Material	(psig) sig) ture (°F) 16 BWG	avg wall	FV& 15 19.5 550.0	100 130 170.0				
Tube Sheets Coolant Side Tubes(smls) Gasket Material AC & Diffuser Steam Nozzle	STEEL STEEL 2205SS Double-jacke	eted	Design Pressure Test Pressure (p Design Tempera O.D. 0.75 in Bolting Material Ejector Material	(psig) sig) ture (°F) 16 BWG s & Design	avg wall	FV& 15 19.5 550.0 Alloy Steel PROCESS FV& 450	100 130 170.0 S STEAM 450				
Tube Sheets Coolant Side Tubes(smls) Gasket Material AC & Diffuser Steam Nozzle Steam Chest	STEEL 2205SS Double-jacke STEEL 316L SS STEEL	eted	Design Pressure Test Pressure (p Design Tempera O.D. 0.75 in Bolting Material Ejector Material Design Pressure Test Pressure (p	(psig) sig) ture (°F) 16 BWG s & Design (psig) sig)	avg wall	FV& 15 19.5 550.0 Alloy Steel PROCESS FV& 450 585	100 130 170.0 S STEAM 450 585				
Tube Sheets Coolant Side Tubes(smls) Gasket Material AC & Diffuser Steam Nozzle	STEEL STEEL 2205SS Double-jacke STEEL 316L SS STEEL STEEL STEEL		Design Pressure Test Pressure (p Design Tempera O.D. 0.75 in Bolting Material Ejector Material Design Pressure Test Pressure (p Design Tempera	(psig) sig) ture (°F) 16 BWG s & Design (psig) sig)	avg wall	FV& 15 19.5 550.0 Alloy Steel PROCESS FV& 450 585 750.0	100 130 170.0 S STEAM 450				
Tube Sheets Coolant Side Tubes(smls) Gasket Material AC & Diffuser Steam Nozzle Steam Chest Nozzle Plate	STEEL 2205SS Double-jacke STEEL 316L SS STEEL		Design Pressure Test Pressure (p Design Tempera O.D. 0.75 in Bolting Material Ejector Material Design Pressure Test Pressure (p Design Tempera Bolting Material	(psig) sig) ture (°F) 16 BWG Is & Design (psig) sig) ture (°F)	avg wall	FV& 15 19.5 550.0 Alloy Steel PROCESS FV& 450 585	100 130 170.0 S STEAM 450 585				
Tube Sheets Coolant Side Tubes(smls) Gasket Material AC & Diffuser Steam Nozzle Steam Chest Nozzle Plate	STEEL STEEL 2205SS Double-jacke STEEL 316L SS STEEL STEEL STEEL	5	Design Pressure Test Pressure (p Design Tempera O.D. 0.75 in Bolting Material Ejector Material Design Pressure Test Pressure (p Design Tempera Bolting Material Graham Des	(psig) sig) ture ("F) 16 BWG Is & Design (psig) sig) ture ("F)	avg wall	FV& 15 19.5 550.0 Alloy Steel PROCESS FV& 450 585 750.0	100 130 170.0 S STEAM 450 585				
Tube Sheets Coolant Side Tubes(smls) Gasket Material AC & Diffuser Steam Nozzle Steam Chest Nozzle Plate Gasket Material	STEEL STEEL 2205SS Double-jacke STEEL 316L SS STEEL STEEL STEEL non-asbesto	s	Design Pressure Test Pressure (p Design Tempera O.D. 0.75 in Bolting Material Ejector Material Design Pressure Test Pressure (p Design Tempera Bolting Material	(psig) sig) ture ("F) 16 BWG Is & Design (psig) sig) ture ("F)	avg wall	FV& 15 19.5 550.0 Alloy Steel PROCESS FV& 450 585 750.0 Alloy Steel	100 130 170.0 S STEAM 450 585 750.0				
Tube Sheets Coolant Side Tubes(smls) Gasket Material AC & Diffuser Steam Nozzle Steam Chest Nozzle Plate Gasket Material Total Steam	STEEL STEEL 2205SS Double-jacke STEEL 316L SS STEEL STEEL non-asbesto	s 00%)	Design Pressure Test Pressure (p Design Tempera O.D. 0.75 in Bolting Material Ejector Material Design Pressure Test Pressure (p Design Tempera Bolting Material Graham Des 24x16-(2)268-16x	(psig) sig) ture ("F) 16 BWG Is & Design (psig) sig) ture ("F)	avg wall	FV& 15 19.5 550.0 Alloy Steel PROCESS FV& 450 585 750.0 Alloy Steel	100 130 170.0 S STEAM 450 585 750.0				
Tube Sheets Coolant Side Tubes(smls) Gasket Material AC & Diffuser Steam Nozzle Steam Chest Nozzle Plate Gasket Material Total Steam Construction Code	STEEL STEEL 2205SS Double-jacke STEEL 316L SS STEEL STEEL non-asbesto	s 200%) ASME Sect. V	Design Pressure Test Pressure (p Design Tempera O.D. 0.75 in Bolting Material Ejector Material Design Pressure Test Pressure (p Design Tempera Bolting Material Graham Des 24x16-(2)26B-16x	(psig) sig) ture (°F) 16 BWG Is & Design (psig) sig) ture (°F) ignation 14-(2)6C-1	avg wall	FV& 15 19.5 550.0 Alloy Steel PROCESS FV& 450 585 750.0 Alloy Steel	100 130 170.0 S STEAM 450 585 750.0				
Tube Sheets Coolant Side Tubes(smls) Gasket Material AC & Diffuser Steam Nozzle Steam Chest Nozzle Plate Gasket Material Total Steam Construction Code Construction Code	STEEL STEEL 2205SS Double-jacke STEEL 316L SS STEEL STEEL non-asbesto 721. Lb/hr (1 Ejectors Condensers	s 00%) ASME Sect. V	Design Pressure Test Pressure (p Design Tempera O.D. 0.75 in Bolting Material Ejector Material Design Pressure Test Pressure (p Design Tempera Bolting Material Graham Des 24x16-(2)26B-16x	(psig) sig) ture (°F) 16 BWG Is & Design (psig) sig) ture (°F) ignation 14-(2)6C-1	avg wall n 4x9 Total Coolant	FV& 15 19.5 550.0 Alloy Steel PROCES: FV& 450 585 750.0 Alloy Steel	100 130 170.0 170.0 S STEAM 450 585 750.0				
Tube Sheets Coolant Side Tubes(smls) Gasket Material AC & Diffuser Steam Nozzle Steam Chest Nozzle Plate Gasket Material Total Steam Construction Code (Remarks: MINIMUI	STEEL STEEL 2205SS Double-jacke STEEL 316L SS STEEL STEEL non-asbesto 721. Lb/hr (1 Ejectors Condensers M PACKAGE	s 00%) ASME Sect. V ASME Sect. V All condensers r	Design Pressure Test Pressure (p Design Tempera O.D. 0.75 in Bolting Material Ejector Material Design Pressure Test Pressure (p Design Tempera Bolting Material Graham Des 24x16-(2)26B-16x III, Div 1 III, Div 1 TEM mounted on a skid	(psig) sig) ture (°F) 16 BWG Is & Design (psig) sig) ture (°F) ignation 14-(2)6C-1	avg wall	FV& 15 19.5 550.0 Alloy Steel PROCES: FV& 450 585 750.0 Alloy Steel	100 130 170.0 170.0 S STEAM 450 585 750.0				
Tube Sheets Coolant Side Tubes(smls) Gasket Material AC & Diffuser Steam Nozzle Steam Chest Nozzle Plate Gasket Material Total Steam Construction Code Construction Code	STEEL STEEL 2205SS Double-jacke STEEL 316L SS STEEL STEEL non-asbesto 721. Lb/hr (1 Ejectors Condensers M PACKAGE	s 00%) ASME Sect. V ASME Sect. V All condensers r	Design Pressure Test Pressure (p Design Tempera O.D. 0.75 in Bolting Material Ejector Material Design Pressure Test Pressure (p Design Tempera Bolting Material Graham Des 24x16-(2)26B-16x III, Div 1 III, Div 1 TEM mounted on a skid	(psig) sig) ture (°F) 16 BWG Is & Design (psig) sig) ture (°F) ignation 14-(2)6C-1	avg wall n 4x9 Total Coolant	FV& 15 19.5 550.0 Alloy Steel PROCES: FV& 450 585 750.0 Alloy Steel	100 130 170.0 170.0 S STEAM 450 585 750.0				
Tube Sheets Coolant Side Tubes(smls) Gasket Material AC & Diffuser Steam Nozzle Steam Chest Nozzle Plate Gasket Material Total Steam Construction Code (Construction Code (Remarks: MINIMU)	STEEL STEEL 2205SS Double-jacke STEEL 316L SS STEEL STEEL non-asbesto 721. Lb/hr (1 Ejectors Condensers M PACKAGE	s 00%) ASME Sect. V ASME Sect. V All condensers r	Design Pressure Test Pressure (p Design Tempera O.D. 0.75 in Bolting Material Ejector Material Design Pressure Test Pressure (p Design Tempera Bolting Material Graham Des 24x16-(2)26B-16x III, Div 1 III, Div 1 TEM mounted on a skid	(psig) sig) ture (°F) 16 BWG Is & Design (psig) sig) ture (°F) ignation 14-(2)6C-1	avg wall n 4x9 Total Coolant	FV& 15 19.5 550.0 Alloy Steel PROCES: FV& 450 585 750.0 Alloy Steel	100 130 170.0 170.0 S STEAM 450 585 750.0				

L:\Scans\PRC\jetspecE-1124.doc

Graham Corporation, 20 Florence Avenue, Batavia, New York 14020
Tel.: 585-343-2216 Fax: 585-343-1097 E-MAIL: equipment @ graham-mfg.com WEBSITE:http://www.graham-mfg.com

 Customer: Ecopetro I ICP
 Reference: 119COL09

 Item: E-1124/J-1122A+B
 Date: 10/28/09





Ecopetrol ICP PRECONDENS Type: 760.3	AXS					EG No:				
Type:	AXS							119COL09		
					Date:		Oct 28, 2009			
760.3			Position:		Horiz	Item:				
	sq.ft		Shells/Uni	t:	1 @100%	Surf./Shel	l:	760.3 sq.ft		
	1	Shell Arra	ingement			Engineer		PRC		
			erformance	~f O-	a Chall					
			SHELL				/TUDE	CIDE)		
Fluid Allocation			Proces				(TUBE SIDE) Coolant Side			
	\rightarrow		Proces	is Sid	e					
Fluid Circulated: Total Fluid Entering: Lb/hr (gpm)			220							
Lb/nr (gp	m)			0.0	OUT			OUT		
11.0	\rightarrow		IN		001	ll ll	V	001		
	,				1075.0		(22	F 0)		
121	m)						(22	5.0)		
	\rightarrow									
	\rightarrow	15	0.0		150.0					
	\rightarrow									
Lb/hr			197	5.0						
pors:	Т									
•			30	0.0						
°F					105.0 *	90	.0	109.4		
torr (psig)						(-)		-)		
Inlet Pressure: torr (psig) No.Passes per Shell:							4			
ft/sec	\rightarrow			_				•		
						(4.64)				
Fouling Resistance : ft2 hr°F/Btu								,		
Heat Exchanged:						11				
:		2172101			Danii		142.2 Btu/hr ft2°l			
			onstruction	of Or	a Shall			Diamine 1		
							Coola	nt Side		
prio	\rightarrow									
3 7						170				
	\rightarrow		3.	00			-	70		
	\rightarrow		-	0				4		
	\rightarrow	VO:		_	1.5			-		
	\rightarrow	VU:			1.5	4 150# RF				
ASME			1507	+ KF			150	# P(F		
OD: 0.75	in		Thk (a	avg) (0.065 in		Length:	16 ft.		
) 2205SS					Pitch: in	1.00		ROT SQR		
ID:		in O	D:	in	Shell Cover:	STE	EL	(REMOV)		
	S	TEEL		Cha	nnel Cover:			STEEL		
1	S	TEEL		Tub	esheet - Floating:			STEEL		
r:		TEEL		_	ngement Protect		R	ODS (STEEL)		
r-	S				e Supports:		STEEL			
		S	TEEL	I up	e Supports:			SIEEL		
Long	,	S.				Chan	nel:			
Long II: Double-jac	keted	S			Double Jacketed			Double-jacketed		
Long II: Double-jac Alloy Steel	keted				Double Jacketed Bolting (Internal)		nel: 1 93-B7M/19	Double-jacketed		
Long II: Double-jac Alloy Steel ASME Sec	keted		Floating He		Double Jacketed Bolting (Internal) TEMA R			Double-jacketed 4-2HM		
Long II: Double-jac Alloy Steel	keted	Div 1	Floating He		Double Jacketed Bolting (Internal)			Double-jacketed		
	Lb/hr rors: nCondensibles: "F torr (psi ft/sec mmHg(p 2 hr*F/Btu psig "F in N in T in ASME	Lb/hr (gpm) Lb/hr Lb/hr Lb/hr Lb/hr Lb/hr Lb/hr Lb/hr Condensibles: F torr (psig) ft/sec mmHg(psi) 2 hr*F/Btu psig F in N in T in ASME	Lb/hr Lb/hr Lb/hr Cp/hr Cp/h	Lb/hr (gpm) 226	Lb/hr (gpm) 2260.0 IN Lb/hr Lb/hr (gpm) 2110.0 Lb/hr 150.0 Lb/hr 150.0 Lb/hr 1975.0 Lb/hr 1975.	Lb/hr (gpm) 2260.0 IN OUT	Lb/hr (gpm) 2260.0 IN OUT IN	Lb/hr (gpm) 2260.0 (22 Lb/hr Lb/hr Lb/hr 1975.0 (22 Lb/hr 2110.0 135.0 Lb/hr 150.0 150.0 Lb/hr Lb/hr 1975.0		

L:\Scans\PRC\jetspecE-1124.doc

Graham Corporation, 20 Florence Avenue, Batavia, New York 14020
Tel.: 585-343-2216 Fax: 585-343-1097 E-MAIL: equipment @ graham-mfg.com WEBSITE:http://www.graham-mfg.com



CONDENSER SPECIFICATION SHEET

Customer:	Ecopetrol ICP						EG No:		119COL09
Service of Unit:	1st INTERCON	DENSE	ER.				Date:		Oct 28, 2009
Size: 16x14	Type:	AES		Position:		Horiz	Item:		00120, 2000
Surf./Unit:	170.4	sq.ft		Shells/Unit		1 @100%	Surf./She	dl-	170.4 sq.ft
No. of Units:	170.1	_	Shell Arra			1 @10070	Engineer		PRC
ito. or onics.		•	Official	ingement			Liigiileei		1110
			P	erformance	of O	ne Shell			
		Т		(SHELL				(TUBE	SIDE)
Fluid Allocation		\neg		Proces		,	Coolant Side		
Fluid Circulated:								WA	TER
Total Fluid Entering:	Lb/hr (gp	m)		636	6.0			(12	(2.0)
rotarrida Entering.	Estin (gp	,		N	<u> </u>	OUT		N (OUT
Vapor:	Lb/hr	\neg							
Liquid:	Lb/hr (gp	m)				446.9		(12	22.0)
Steam:	Lb/hr		48	6.0		39.1		(12	
Non Condensibles:	Lb/hr	$\overline{}$		0.0		150.0			
Vapor Condensibles:	Lb/hr	\rightarrow	13	0.0		130.0			
Steam Condensed:	Lb/hr	$\overline{}$		446	6.9				
oteam condensed:	LU/NF			440	U.U		<u> </u>		l
Molecular Weight - V	anors:								1
Molecular Weight - N		. +		30	10				
Molecular vveignt - IN Temperature:	onCondensibles: °F	-	42	6.2		117.0 *	10	9.4	117.6
Inlet Pressure:	<u> </u>	-)	43	0.2	2n	117.0	10	1	117.0
No.Passes per Shell:	torr (psi	9)						() 2
No.Passes per Snell: Velocity:	ft/sec	\rightarrow			_				.2
		-3\		4	4				
Pressure Drop -Calc.		ISI)			4 0.002)		0.00	.33)
Fouling Resistance :	nz nr r/btu	491589							
Heat Exchanged: Transfer Rate Servio			491	209		Btu/hr	L	MTD (wtd) 87.5	33.0 °F Btu/hr ft2°F
i ranster Kate Servio	2.					Ch. II		87.5	Dtu/hr ft2°F
			C	onstruction					. 611
D:/H ! T :	-			Proces					nt Side
Design / HydroTest:	psig	\rightarrow		FV & 1		.5			/ 130
Design Temperature		\rightarrow		55	00			1	70
Corrosion Allowance									•
Connections:	IN in	\rightarrow		- 4	_				3
	UT in		VO:	2	CO:	: 1.5			3
Rating:	ASME			150#	FRE			150	# RF
	00.0								
	OD: 0.75	ın		Thk (a	avg)	0.065 in		Length:	14 ft.
Tube No.: 62				_		Pitch: in		0000	ROT SQR
Tube Material: (sm	s) 2205SS				l in	Shell Cover:	ı ST	EEL	(REMOV)
Tube Material: (sml Shell: STEE	s) 2205SS		in O	D:				1	OTEEL
Tube Material: (sm Shell: STEE Channel	ls) 2205SS EL ID:		TEEL	D:	Cha	nnel Cover:			STEEL
Tube Material: (sml Shell: STEE Channel Tubesheet - Stationa	s) 2205SS EL ID:	S	TEEL TEEL	D:	Cha	nnel Cover: esheet - Floating:	:		STEEL
Tube Material: (sm Shell: STEE Channel Tubesheet - Stationa Floating Head Cover	s) 2205SS EL ID:	S'	TEEL TEEL TEEL		Cha Tub Imp	nnel Cover: esheet - Floating: ingement Protect	:	R	STEEL ODS (STEEL)
Tube Material: (sm Shell: STEE Channel Tubesheet - Stationa Floating Head Cover Baffles:	s) 2205SS EL ID: ry: Cros:	S ¹	TEEL TEEL TEEL	TEEL	Cha Tub Imp Tub	nnel Cover: esheet - Floating: ingement Protect e Supports:	ion:		STEEL ODS (STEEL) STEEL
Tube Material: (sm Shell: STEE Channel Tubesheet - Stationa Floating Head Cover Baffles : Gaskets Sh	s) 2205SS EL ID: ry: Cross ell: Double-jac	ST ST s keted	TEEL TEEL TEEL	TEEL	Cha Tub Imp Tub	ennel Cover: esheet - Floating: ingement Protect e Supports: Double Jacketed	ion:	nnel:	STEEL ODS (STEEL) STEEL Double-jacketed
Tube Material: (sm Shell: STEE Channel Tubesheet - Stationa Floating Head Cover Baffles: Gaskets Sh Bolting (External):	s) 2205SS L ID: ry: Cros: ell: Double-jac Alloy Steel	S' S' s keted	TEEL TEEL TEEL S1	TEEL	Cha Tub Imp Tub	ennel Cover: Desheet - Floating: Desheet - Floating: Desheet - Floating: Double Jacketed Bolting (Internal)	ion:		STEEL ODS (STEEL) STEEL Double-jacketed
Tube Material: (sm Shell: STEE Channel Tubesheet - Stationa Floating Head Cover Baffles : Gaskets Sh Bolting (External): Code Requirements:	s) 2205SS L ID: ry: Cros: ell: Double-jac Alloy Steel ASME Sec	S' S' s keted	TEEL TEEL TEEL S1	TEEL Floating He	Cha Tub Imp Tub	ennel Cover: esheet - Floating: ingement Protect e Supports: Double Jacketed Bolting (Internal) TEMA R	ion:	nnel:	STEEL ODS (STEEL) STEEL Double-jacketed 4-2HM
Tube Material: (sm Shell: STEE Channel Tubesheet - Stationa Floating Head Cover Baffles: Gaskets Sh Bolting (External):	s) 2205SS L ID: ry: Cros: ell: Double-jac Alloy Steel	ST Sketed	TEEL TEEL TEEL ST	TEEL Floating He	Cha Tub Imp Tub	ennel Cover: Desheet - Floating: Desheet - Floating: Desheet - Floating: Double Jacketed Bolting (Internal)	ion:	nnel:	STEEL ODS (STEEL) STEEL Double-jacketed

L:\Scans\PRC\jetspecE-1124.doc

Graham Corporation, 20 Florence Avenue, Batavia, New York 14020
Tel.: 585-343-2216 Fax: 585-343-1097 E-MAIL: equipment @ graham-mfg.com WEBSITE:http://www.graham-mfg.com

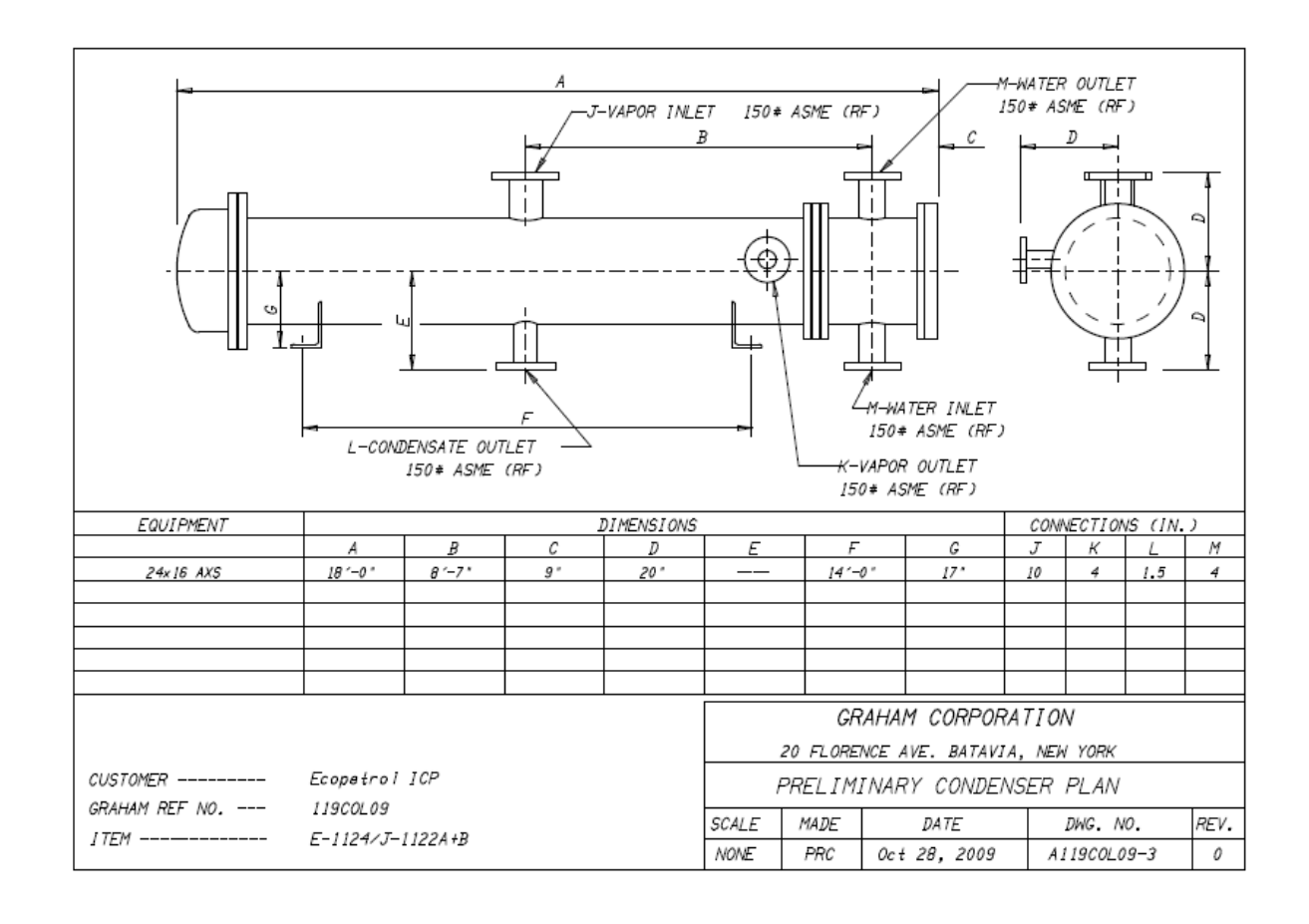


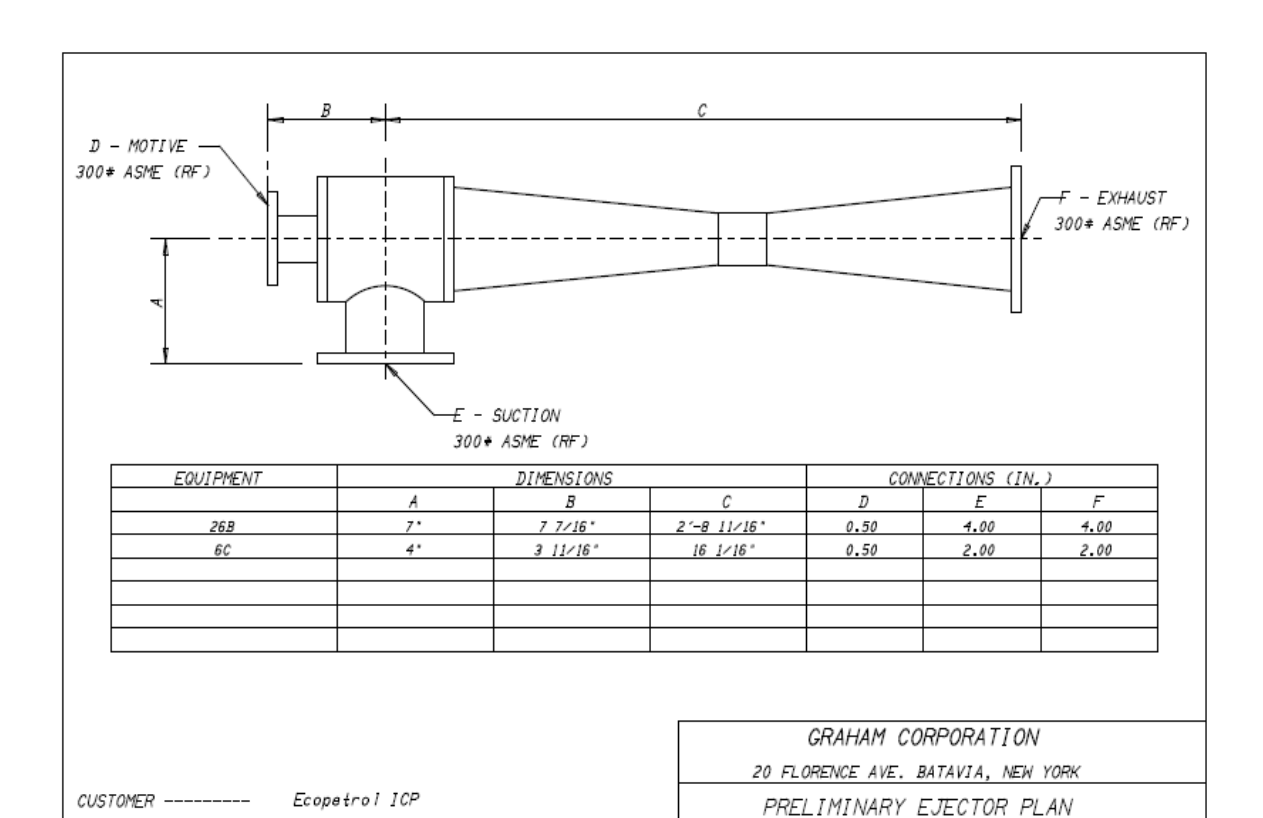
CONDENSER SPECIFICATION SHEET

0	F	CONDEN	OCK OPEL	/ITIC	ATION SHEE			44000100	
Customer:	Ecopetrol ICP					EG No:		119COL09	
Service of Unit:	AFTERCONDEN					Date:		Oct 28, 2009	
Size: 14x9		AES	Position:		Horiz	Item:			
Surf./Unit:	81.3	sq.ft	Shells/Uni	t:	1 @100%	Surf./She		81.3 sq.ft	
No. of Units:		1 Shell Ar	rangement			Engineer		PRC	
			5 /		01.11				
			Performance			ı	(TILID)	- 0.05	
			(SHELI		_,	(TUBE SIDE) Coolant Side			
Fluid Allocation			Proces	ss Sid	le				
Fluid Circulated:							WATER		
Total Fluid Entering:	Lb/hr (gpm	n)		9.0	OUT			03.0)	
.,			IN	_	OUT		IN	OUT	
Vapor:	Lb/hr				398.4		/4/	73.07	
Liquid:	Lb/hr (gpm	-	100.0	_			(10	03.0)	
Steam:	Lb/hr		109.0	-	10.6				
Non Condensibles:	Lb/hr		150.0		150.0				
Vapor Condensed: Steam Condensed:	Lb/hr Lb/hr		20	0 4					
Steam Condensed:	Lb/hr		39	8.4					
Molecular Weight - V	apors:			Г					
Molecular Weight - N			30	0.0					
Temperature:	°F	5	509.7		122.0 *	10	09.4	118.1	
Inlet Pressure:	torr (psig)	_		05			()	
No.Passes per Shell:				1			•	2	
Velocity:	ft/sec						4	4.8	
Pressure Drop -Calc.		si)	2	5			(2	.34)	
Fouling Resistance :			0.002		0.003				
Heat Exchanged:		43	438265 Btu/hr		L	MTD (wtd)	76.1 °F		
Transfer Rate Servio	e:	<u>'</u>		•			70.8	Btu/hr ft2°F	
	· · · · · · · · · · · · · · · · · · ·		Construction	of O	ne Shell				
			Proces	ss Sid	e		Coola	ınt Side	
Design / HydroTest:	psig		FV & 1	15/ 19	.5	100 / 130			
Design Temperature	°F		5	50			1	70	
Corrosion Allowance									
Connections:	IN in			2			- 2	2.5	
Size: & O	UT in	VO:	1.5	CO	: 1.5			2.5	
Rating:	ASME		150	#RF			150)# RF	
Tube No.: 46	OD: 0.75 ir	1	Thk (a	avg)	0.065 in		Length:	9 ft.	
Tube Material: (sm	*				Pitch: in		0000	ROT SQR	
Shell: STEE	L ID:		OD:	in	Shell Cover:	ST	EEL	(REMOV)	
Channel		STEEL		Cha	nnel Cover:			STEEL	
Tubesheet - Stationa		STEEL			esheet - Floating:			STEEL	
Floating Head Cover	:	STEEL	STEEL		mpingement Protection:		F	ODS (STEEL)	
Baffles :	Cross		STEEL	_	Tube Supports:			STEEL	
	ell: Double-jack	eted	Floating He	ad:	Double Jacketed		nnel:	Double-jacketed	
Bolting (External):	Alloy Steel				Bolting (Internal)	: SA-	193-B7M/19	94-2HM	
	ASME Sont	VIII, Div 1			TEMA R				
Code Requirements:	ASML Sect.								
	Shipping:	s outlet tempe	Lbs.		Flooded:			Lbs.	

L'\Scans\PRC\jetspecE-1124.doc

Graham Corporation, 20 Florence Avenue, Batavia, New York 14020
Tel.: 585-343-2216 Fax: 585-343-1097 E-MAIL: equipment @ graham-mfg.com WEBSITE:http://www.graham-mfg.com





SCALE

NONE

MADE

PRC

DATE

Oct 28, 2009

DWG. NO.

A119COL09-1

REV.

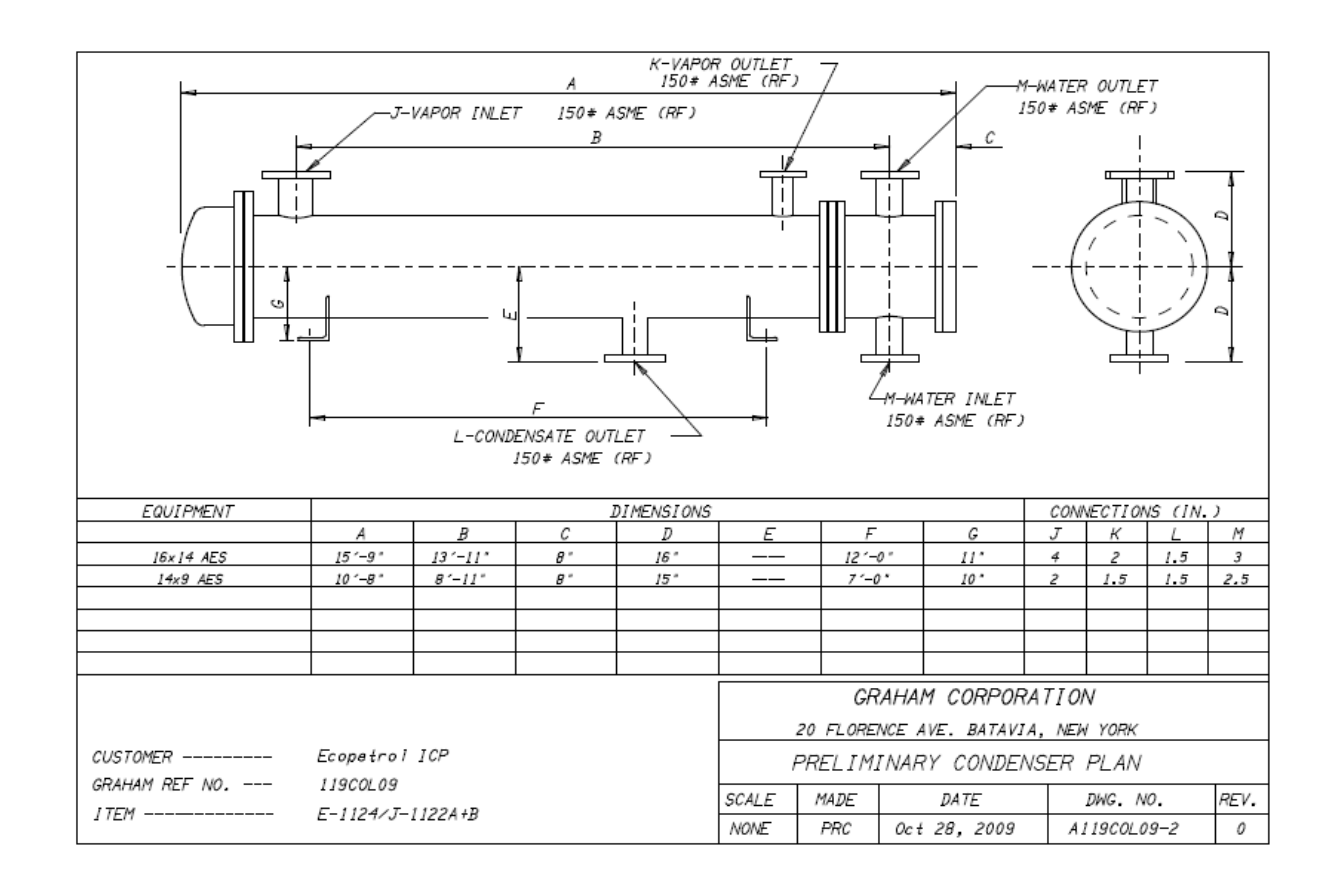
0

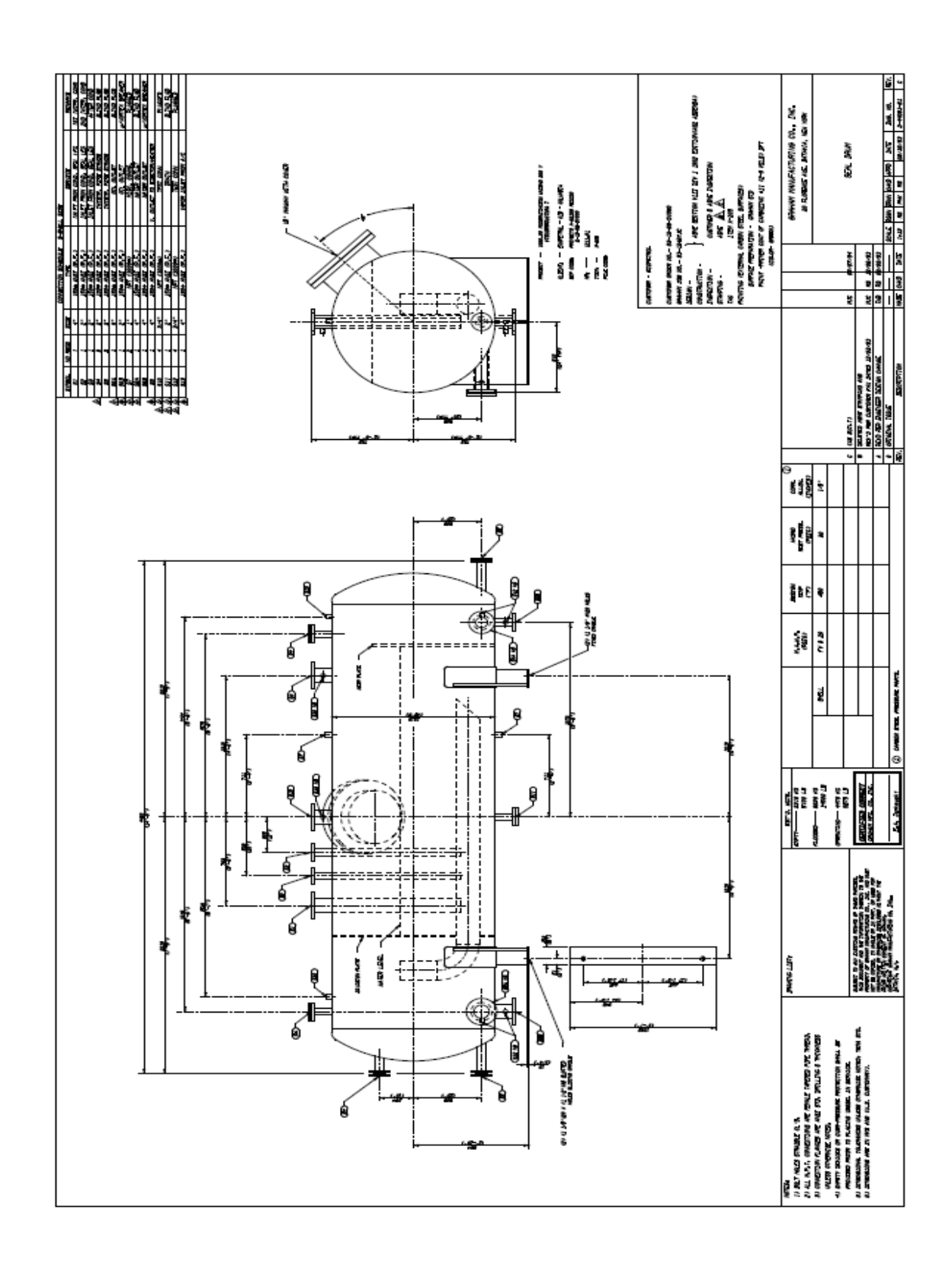
GRAHAM REF NO. ---

ITEM ----

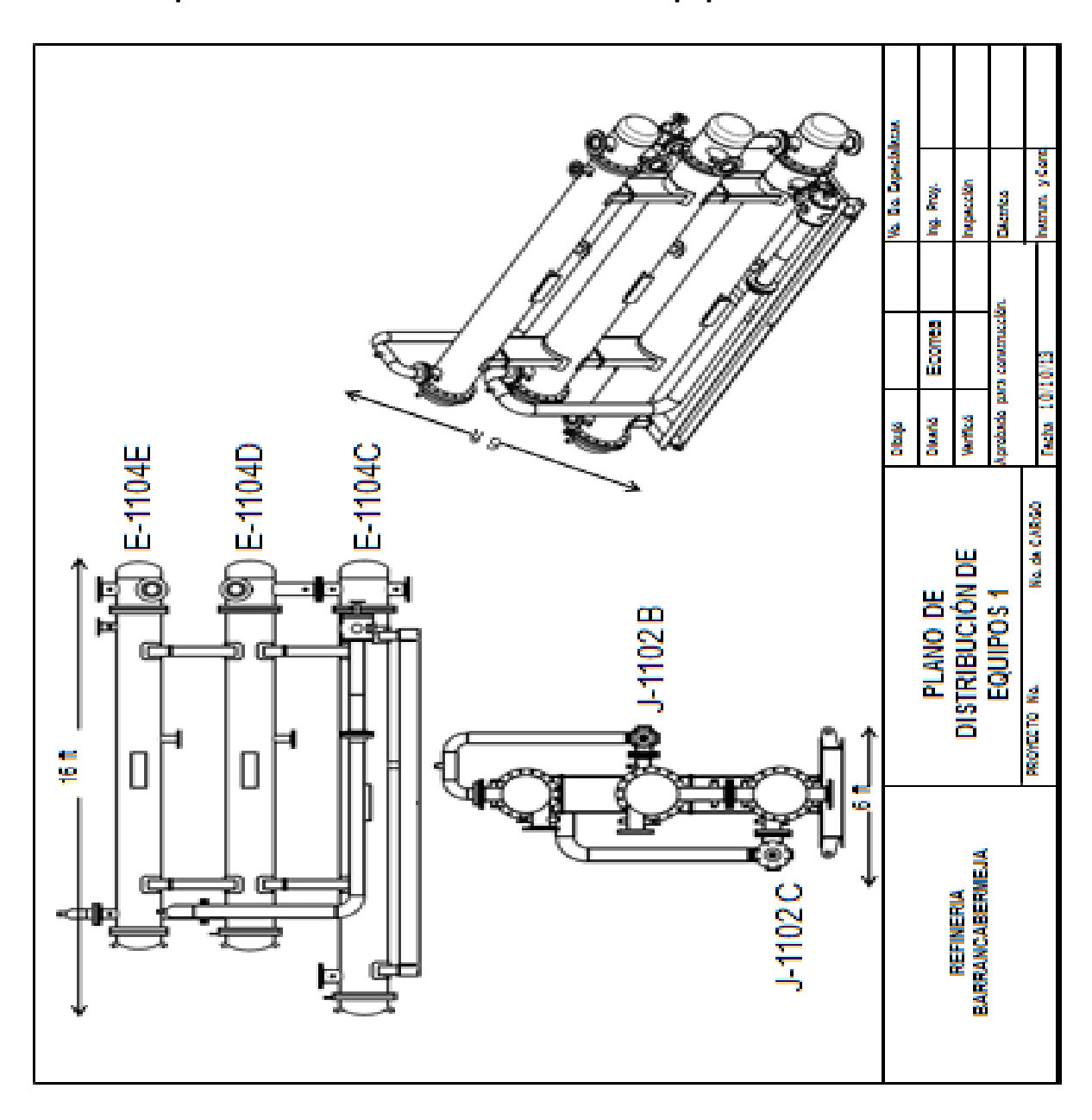
119COL09

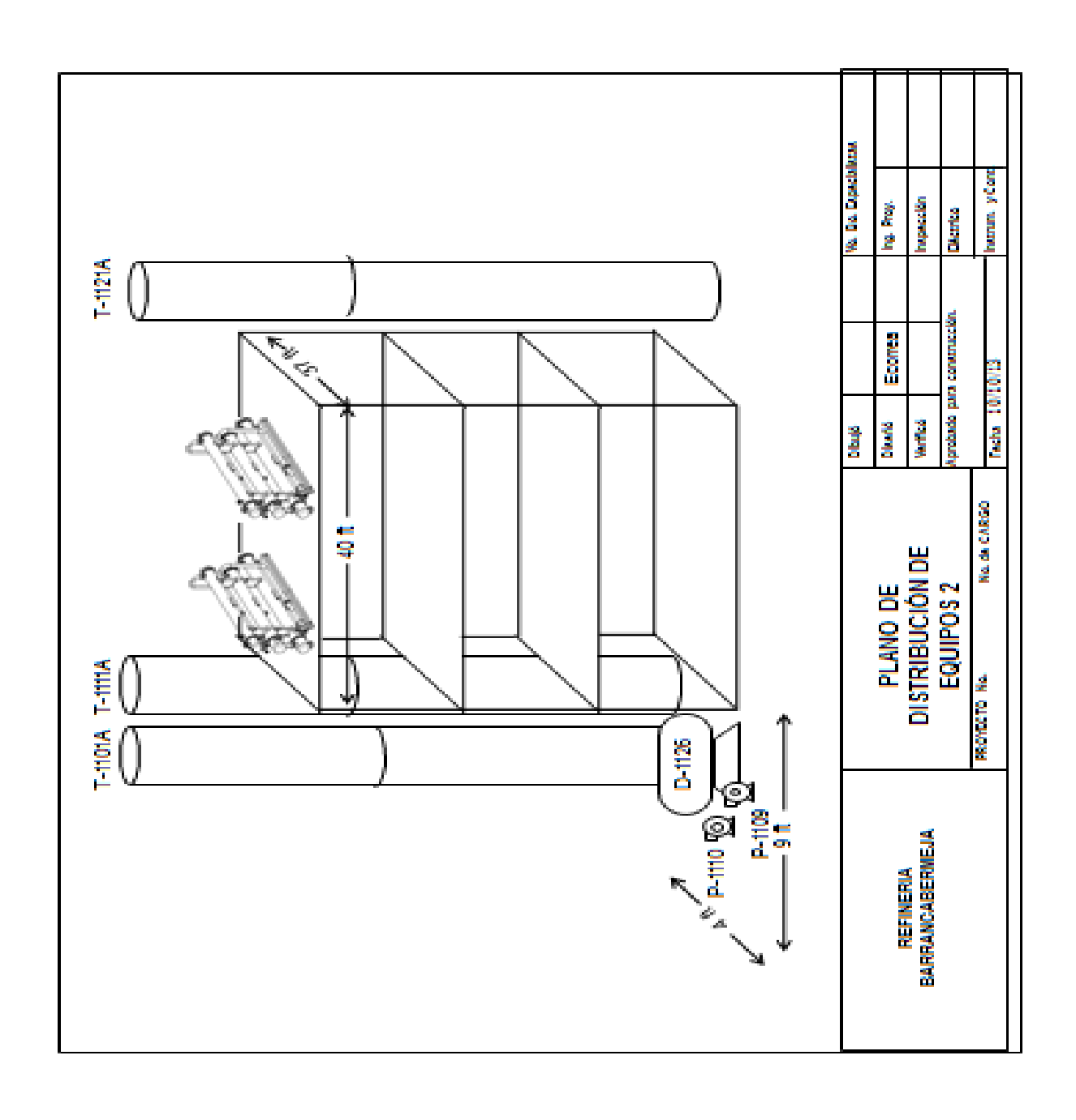
E-1124/J-1122A+B





Anexo B de proceso 2. Plano de distribución de equipos





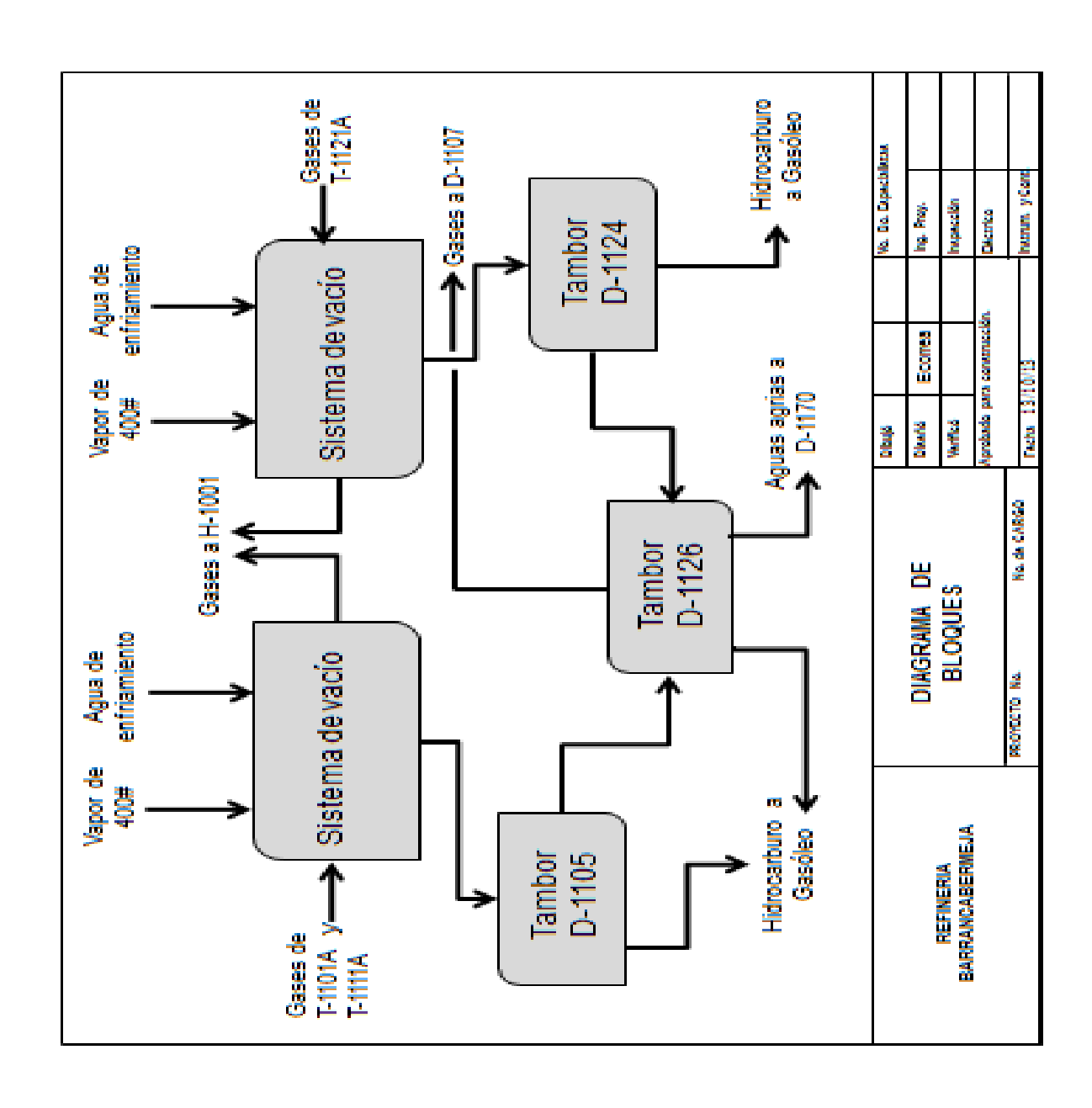
Anexo C. de proceso 3. Plot Plan lado sur



Anexo D. de proceso 4. Desmantelamiento de líneas y equipos



Anexo E. de proceso 5. Diagrama de bloques



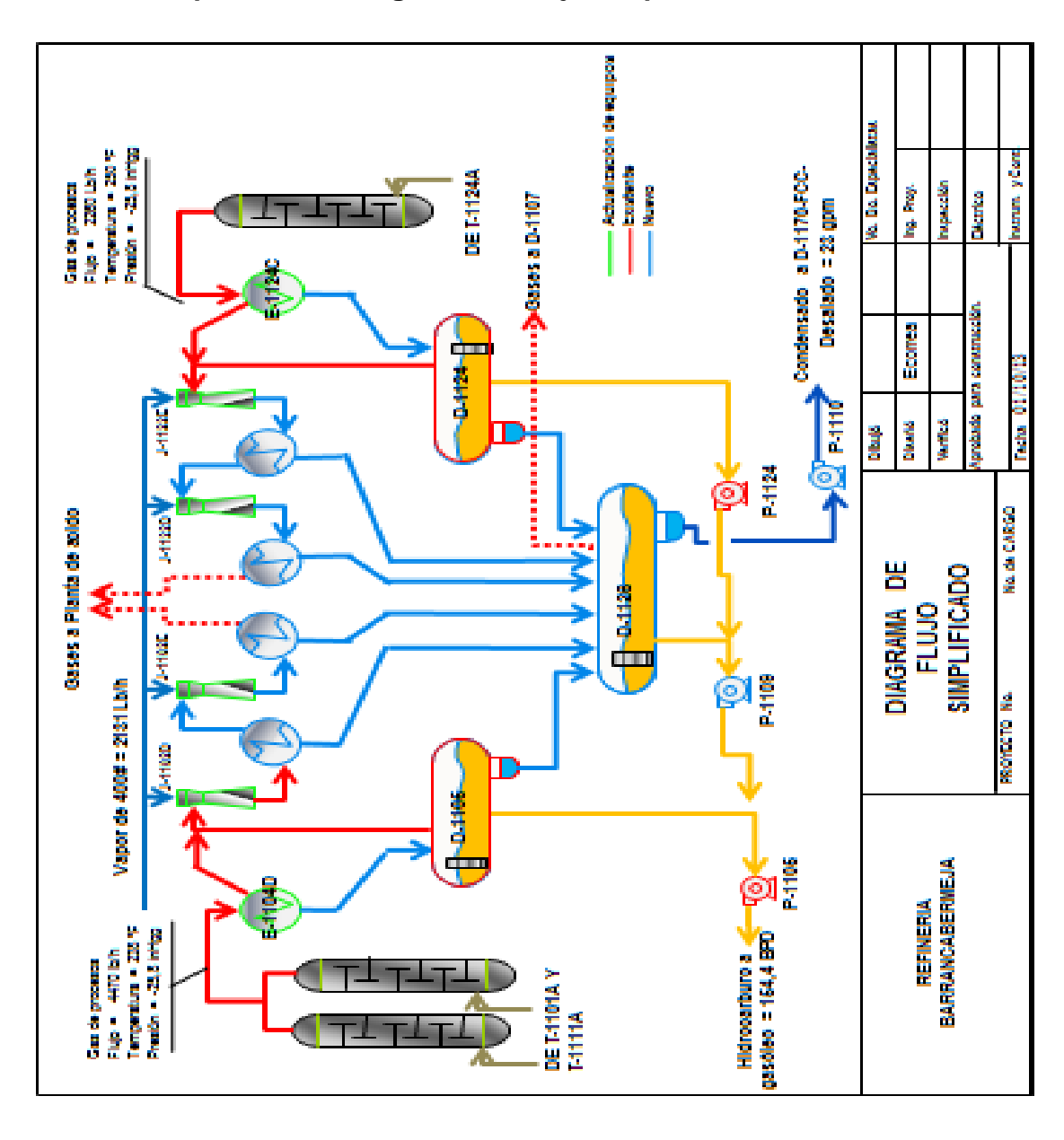
Anexo F de proceso 6. P&ID Sistema de vacío U-1100,U1110 y U-1120



Anexo G. de proceso 7. Diagrama de banderas



Anexo H. de proceso 8. Diagrama de flujo simplificado



Anexo I de proceso 9. Listado de instrumentos



Anexo J.de proceso 10. Análisis de riesgos HAZOP



Anexo K. de proceso 11. Listado de líneas y equipos



Anexo L. de proceso 12. Análisis financiero de las alternativas



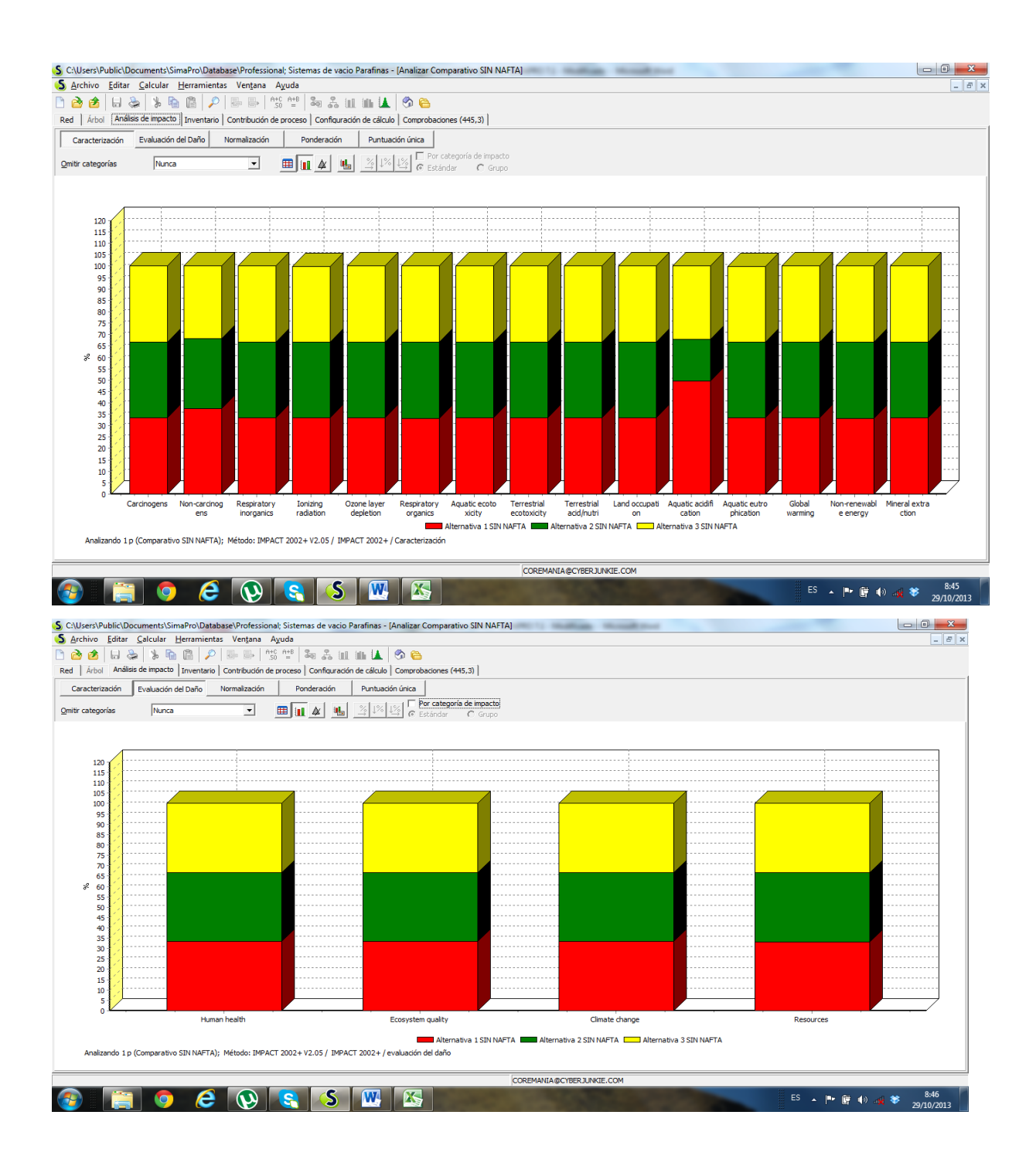
Anexo M. de proceso 13. Esquemas y tablas del ACV-SIMA PRO 7.1

RESULTADOS DE CORRER EL MODELO SIMAPRO

RESULTADOS COMPARATIVOS DE LAS 3 TECNOLOGÍAS PRESENTADAS-ELIMINANDO EL RECURSO NO RENOVABLE

CATEGORÍA DE	UNIDAD	ALTERNATIV	ALTERNATIV	ALTERNATIV	
IMPACTO	UNIDAD	A 1	A 2	A 3	
	Kg				
No carcinógenos	C2H3CI	0,0012	0,000978	0,00102	
	eq				
Eco toxicidad	Kg TEG	51,3	51	51,2	
acuática	water	31,3	31	31,2	
Acidificación acuática	Kg SO2	0,00432	0,0016	0,0028	
Acidinoacion acadica	eq	0,00402	0,0010	0,0020	
Calentamiento global	Kg CO2	0,314	0,312	0,312	
Calcillamiento giobai	eq	0,514	0,012	0,512	

DAÑO	UNIDAD	ALTERNATIV	ALTERNATIV	ALTERNATIV	
DANO	UNIDAD	A 1	A 2	A 3	
Salud humana	DALY	1,46E-07	1,45E-07	1,45E-07	
Calidad eco	PDF*m ² *añ	0,0396	0,0396	0,0396	
sistemas	0	5,555	-,	-,	
Cambio climático	Kg SO2 eq	0,314	0,312	0,312	
Recursos	MJ primario	6,38	6,380	6,38	



RESULTADOS COMPARATIVOS DE LA ALTERNATIVA SELECCIONADA VS CASO ACTUAL

CATEGORIZACIÓN DE IMPACTOS (MID POINT)

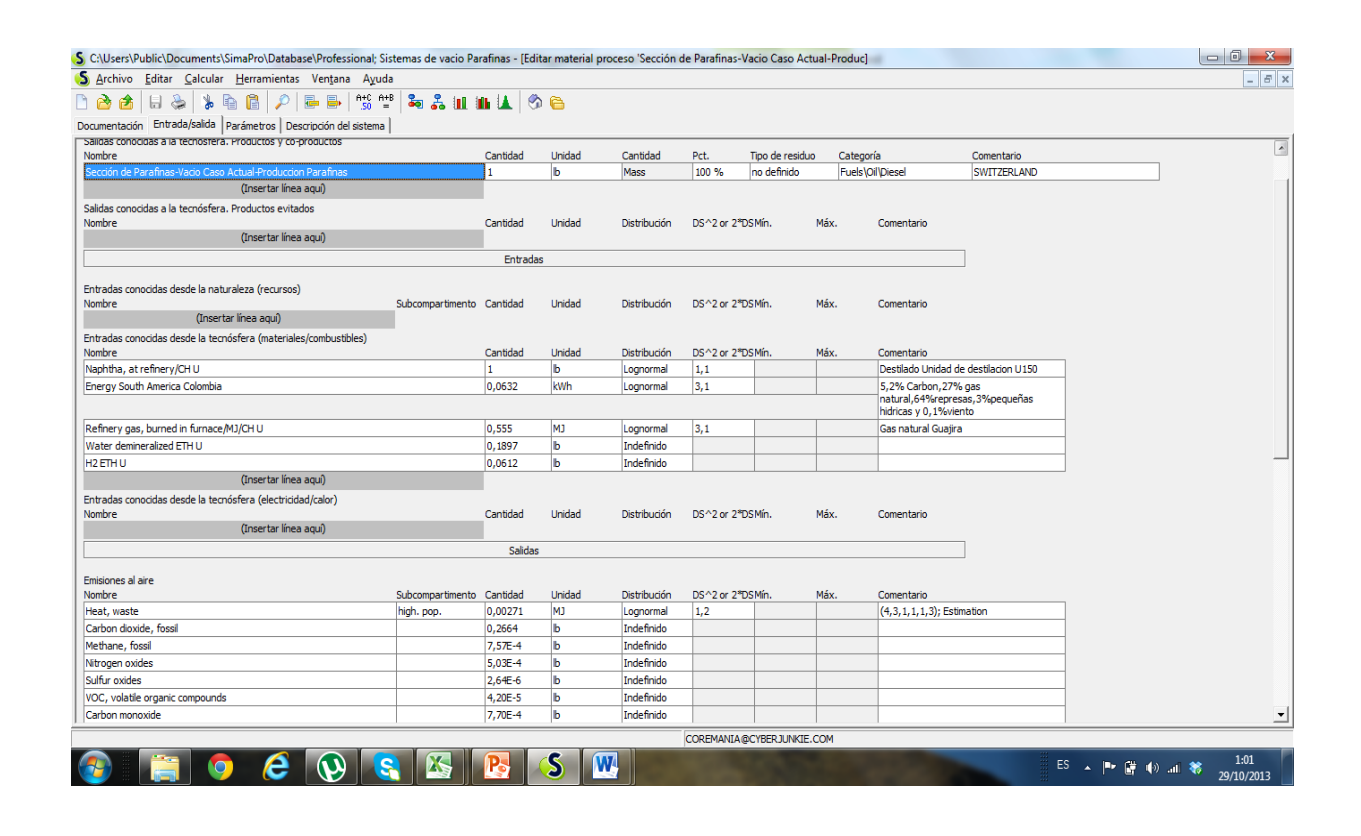
Los siguientes son los resultados de la categorización de los impactos de interés en el presente estudio, comparando el caso actual vs la alternativa seleccionada.

CATEGORÍA DE	UNIDAD	CASO	ALTERNATIV	%REDUCCIÓ
IMPACTO	UNIDAD	ACTUAL	A 2	N
	Kg C2H3Cl			
No carcinógenos	eq	0,00499	0,00288	42%
	Kg TEG			
Eco toxicidad acuática	water	82,8	77	7%
Acidificación acuática	Kg SO2 eq	0,0507	0,00285	94%
Calentamiento global	Kg CO2 eq	0,526	0,523	0,57%

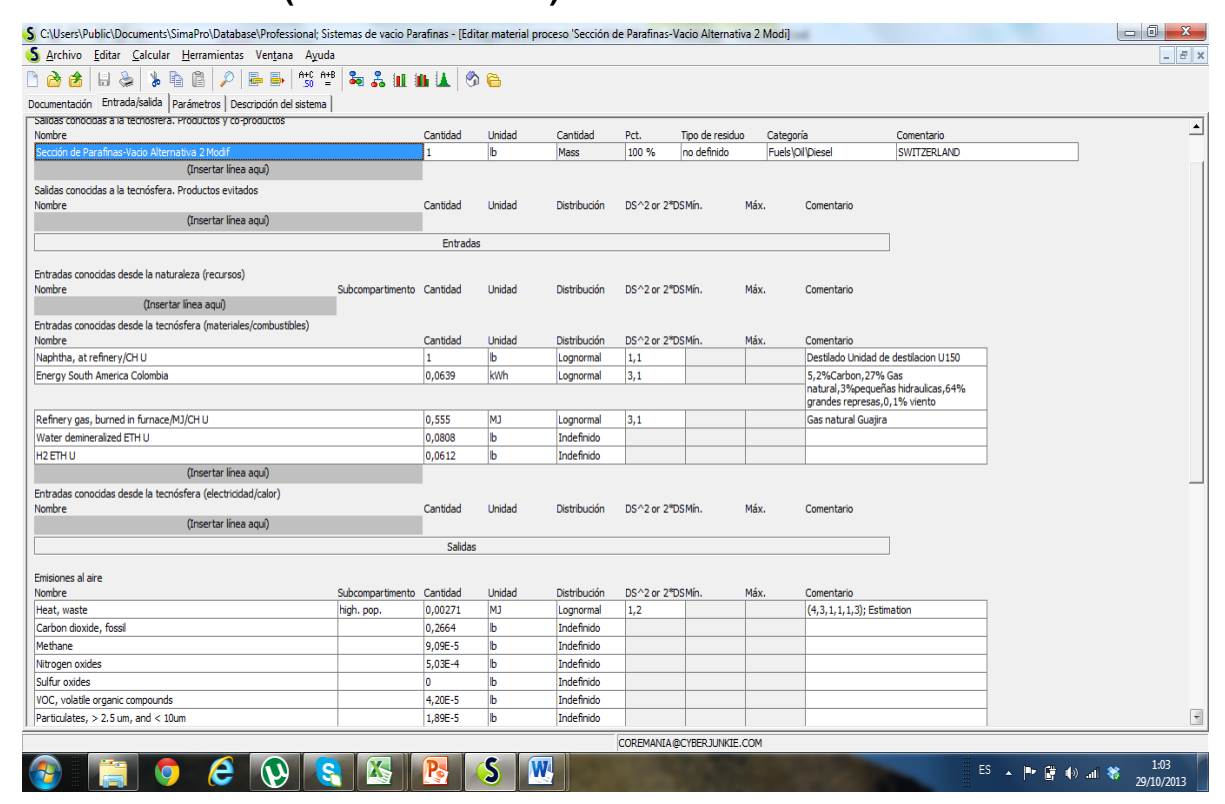
EVALUACIÓN DE DAÑOS (END POINT)

CATEGORÍA DE DAÑO	UNIDAD	CASO ACTUAL	ALTERNATIVA	%REDUCCIÓN
Salud humana	DALY	3,12E-7	3,06E-7	1,9%
Calidad eco sistemas	PDF*m ² *año	0,0846	0,0843	0,35%
Cambio climático	Kg SO2 eq	0,526	0,523	0,57%
Recursos	MJ primario	30,6	30,6	-

BALANCE EN TECNOSFERA- CONFIGURACIÓN DE ENTRADAS EN SIMAPRO CASO BASE (ACTUAL)



ALTERNATIVA 2 (SELECCIONADA)



CONFIGURACIÓN DEL RETIRO DE LA FUENTE DE RECURSO NO RENOVABLE

(APLICA PARA LA EVALUACIÓN DE LAS TRES ALTERNATIVAS)

Anexo N. de proceso 14. Simulaciones en HYSYS 7.3

U-1100 B-STOCK_abril.hsc
SISTEMA DE VACÍO T-1101A_T-1111A.HS
U-1100 B-STOCK_FEB.HSC
U-1100 B-STOCK_INSTAL.HS
U-1100 B-STOCK_UTILIZADA
U-1110-NAFT PESADA INSTAL.HSC
U-1110-NAFT PESADA JUN.HSC
U-1110-NAFT PESADA MAY.HSC
U-1110-NAFT PESADA SEP.hsc
U-1110-NAFT PESADA utilizada.hsc